



Jernbaneverket



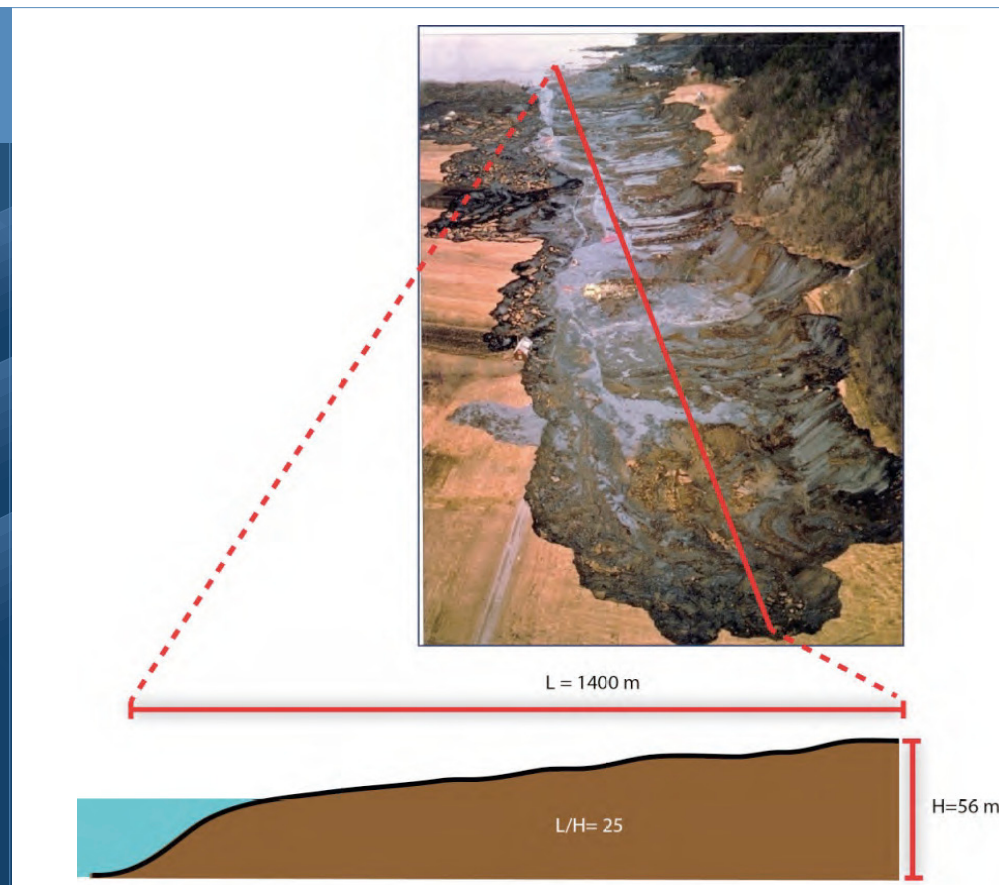
Statens vegvesen

Naturfareprosjektet: Delprosjekt 6 Kvikkleire

Utstrekning og utløpsdistanse for
kvikkleireskred basert på katalog
over skredhendelser i Norge

21
2013

R A P P O R T



Naturfareprosjektet: Delprosjekt 6 Kvikkleire

Utstrekning og utløpsdistanse for kvikkleireskred basert på katalog over skredhendelser i Norge

**Norges vassdrags- og energidirektorat i et samarbeid med Statens vegvesen og
Jernbaneverket**

2013

Rapport nr. 21/2013

Ustrekning og utløpsdistanse for kvikkleireskred basert på katalog over skredhendelser i Norge

Utgitt av: Norges vassdrags- og energidirektorat i et samarbeid med Statens vegvesen og Jernbaneverket

Utarbeidet av: Norges geologiske undersøkelse (NGU)

Forfatter: Jean-Sebastien L'Heureux og Inger-Lise Solberg

Dato: 21.11.2012

Opplag: P.O.D.

ISBN: 978-82-410-0889-4

Sammendrag: Etatene Statens vegvesen (SVV), Norges vassdrags- og energidirektorat (NVE) og Jernbaneverket (JBV) har, gjennom etatssatsningsprosjektet Naturfare - Infrastruktur, Flom og Skred (NIFS) et delprosjekt (DP6) som omhandler kvikkleire. Fra NGU er det bestilt en rapport med tittel «Ustrekning og utløpsdistanse for kvikkleireskred basert på katalog over skredhendelser i Norge».

Rapporten gir en totaloversikt over kvikkleireskred i Norge med hensyn til skredutbredelse og utløpsdistanse. Rapporten baserer seg på en detaljert morfologisk studie av over 40 skred i marine avsetninger i Norge og hvor det også finnes gode geotekniske data. Mye av dette er allerede publisert i artikkelform på engelsk, men den nåværende norske rapporten vil gi plass til en mer fullstendig oversikt med komplette kart og referanse materiale.

Emneord: Hav- og fjordavsetninger, Kvikkleire, Retrogresjon, Skred, Fagrapport, Utløpsdistanse, Geoteknikk

Forord

NIFS-prosjektet er et felles satsningsområde mellom Jernbaneverket, Norges vassdrags- og energidirektorat og Statens vegvesen.

Prosjektperioden er definert som 2012 – 2015. Planlagt budsjett på 42 millioner i perioden.

Stort fokus på intern kompetanse og faglig utvikling bidrar i tillegg med anslagsvis 30 årsverk fra etatene i samme periode. Prosjektet er allerede i leveransefasen, 7 delprosjekter er etablert, og opp i mot 100 medarbeidere i de tre etatene er involvert i større eller mindre grad.

NGU Rapport 2012.040
Utstrekning og utløpsdistanse
for kvikkleireskred basert på katalog over
skredhendelser i Norge

RAPPORT

Rapport nr.: 2012.040	ISSN 0800-3416	Gradering: Åpen		
Tittel: Utstrekning og utløpsdistanse for kvikkleireskred basert på katalog over skredhendelser i Norge				
Forfatter: Jean-Sebastien L'Heureux og Inger-Lise Solberg		Oppdragsgiver: NGU, ICG, NIFS		
Rapportdato: 21.11.2012	Sidetall: 121	Pris: 475 kr	Prosjektnr.: 348800	Ansvarlig: 

Sammendrag

Få studier har dokumentert den retrogressive oppførselen og mobiliteten til norske kvikkleireskred. Ved en rekke tilfeller har små initialskred utviklet seg til store retrogressive skred som har ført til tap av menneskeliv og store materielle skader. En bedre forståelse av denne type massebevegelse kan brukes til å forbedre aktsomhets- og farekartleggingen i Norge. Denne rapporten beskriver oppførselen til norske skred og er en katalog som gir en oversikt over 37 skred i marin leire i Norge. Katalogen er basert på geotekniske data og detaljerte morforlogiske analyser av hver skredhendelse. Resultatene sammenliknes med tidligere studier gjort i Canada.

Den teoretiske og tradisjonelle betraktingen er at et kvikkleireskred vil strekke seg innover fra skråningsfot i en avstand av maksimalt $13 \times$ høydeforskjellen ($L/H \leq 13$). Hovedresultatene fra dette studiet viser at en rekke historiske skred har $L/H > 15$. Dette kriteriet skulle derfor i framtiden bli brukt med forsiktighet i aktsomhets- og farekartlegging i Norge. Geotekniske og geofysiske data viser at stabilitetstallet N_s kan brukes for å forutsi omrentlig retrogresjonsdistanse for norske kvikkleireskred. Dataene viser også at mange av skredene stopper før de når nærliggende/bakenforliggende raviner eller ei gammel skreddrop. Videre ser man at store, retrogressive skredhendelser i Norge stemmer overens med den norske definisjonen av kvikkleire, dvs. at de kun kan oppstå når $S_t \geq 30$ og $s_r \leq 0,5$ kPa.

Utløpsdistanse for kvikkleireskred er avhengig av flere faktorer. Som for de kanadiske skredene viser dataene at det er en sammenheng mellom retrogresjonslengde og skredmassenes mobilitet, i tillegg til at mobiliteten til kvikkleireskred øker med mobilisert sedimentvolum i forhold til skredgropas bredde ($\text{Vol}/W_{\text{avg}}$).

Emneord:	Hav- og fjordavsetninger	Kvikkleire
Retrogradasjon	Skred	Fagrapport
Utløpsdistanse	Geoteknikk	

INNHOLD

1.	INNLEDNING	4
1.1	Bakgrunn	4
1.2	Målsetting	5
2.	KVIKKLEIRE.....	6
2.1	Geoteknisk definisjon.....	6
2.2	Dannelse av kvikkleire.....	7
3.	KVIKKLEIRESKRED	7
4.	TIDLIGERE STUDIER OM RETROGRESJON OG MOBILITET.....	9
5.	DATA OG METODER.....	10
6.	RESULTATER OG DISKUSJON.....	13
6.1	Retrogresjon	15
6.2	Mobilitet.....	19
7.	KONKLUSJONER	21
8.	REFERANSER	22
VEDLEGG 1	OVERSIKTSKART OVER LOKALITETER FOR SKREDEKSEMPLENE	29
VEDLEGG 2	SKREDKATALOG - TABELL.....	31
VEDLEGG 3	BESKRIVELSE AV SKREDENE.....	33

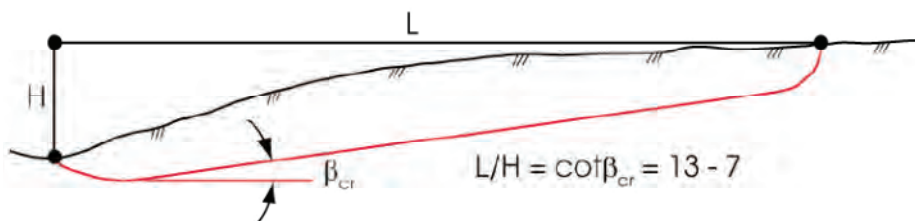
1. INNLEDNING

1.1 Bakgrunn

Skred i de sensitive marine leirene i Skandinavia og østlige Canada er ofte veldig ødeleggende siden selv et lite intialskred kan utløse en omfattende retrogressiv prosess. I Norge har minst 1150 personer omkommet i historisk tid på grunn av skred i marine avsetninger. De virkelig store skred har en hyppighet på 2-3 per hundre år (Furseth 2006) men mindre skred forekommer oftere. Det største kjente skredet gikk i 1345 i Gauldalen, hvor minst 500 personer omkom som følge av skredet og den påfølgende flodbølgen (Rokoengen et al. 2001). Verdalsraset i 1893 hvor 116 personer omkom, er også veldokumentert (f.eks. Walberg 1993).

Etter kvikkleireskredet i Rissa (1978) ble et statlig program for kvikkleirekartlegging igangsatt i Norge i 1980. NGI etablerte da en enkel og forholdsvis rask metodikk for avgrensing av kvikkleiresoner, med utgangspunkt i NGUs kvartærgeologiske kart. Siden 2000 er alle kvikkleiresoner blitt vurdert med hensyn til fare, konsekvens og risiko (www.skrednett.no). Dette resulterte i Faresonekart med tre faregrader (lav, middels, høy) og Risikokart med fem risikoklasser (1-5). Vurdering av faregrad i det statlige programmet for kvikkleirekartlegging, er basert på geologiske, geotekniske og topografiske kriterier (Gregersen 2008).

Metoden for avgrensning av kvikkleiresoner (dvs. både aktsomhet og fare), er utarbeidet på grunnlag av enkle teoretiske betraktninger med hensyn til skreds utstrekning generelt samt ut fra etterberegning/studie av noen få kjente kvikkleireskred (Aas 1979). Metoden er i hovedsak laget for å fange opp områder utsatt for store "flaskred" og fokuserer på intialskred. Den teoretiske betraktingen viser at et flaskred vil strekke seg innover fra skråningsfot i en avstand av maksimalt $13 \times$ høydeforskjellen ($L/H \leq 13$) (fig. 1). I praksis er det forholdet $L/H=15$ som benyttes (Gregersen 2008).

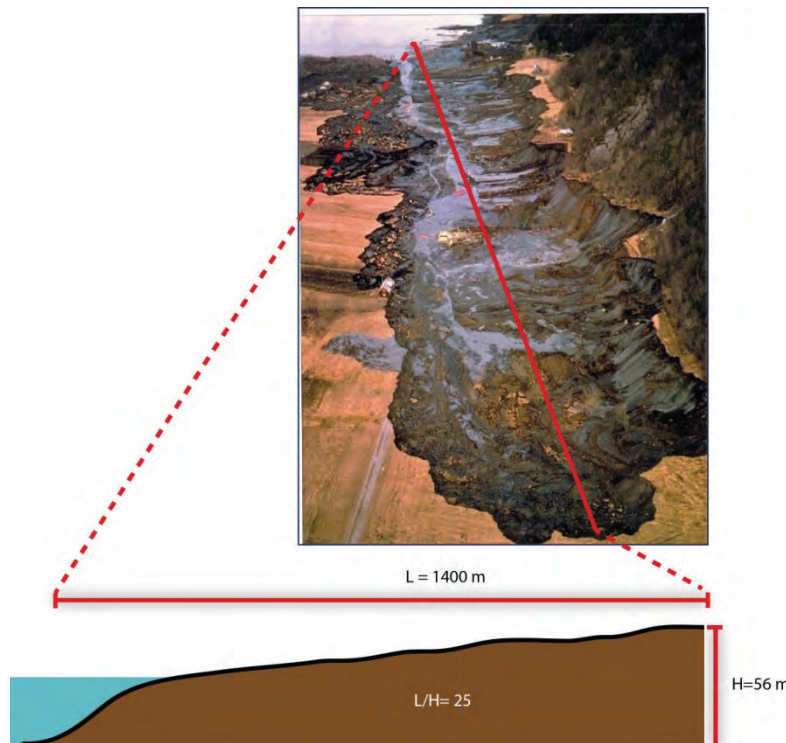


Figur 1. Kritisk lengde og høydeforhold for skråninger i kvikkleire. "L" definerer avstanden fra skråningsfot til bakkanten av et eventuelt skred. "H" definerer terrenghøydeforskjell fra skråningsfot til bakkanten av et eventuelt skred (Gregersen 2008).

I følge Aas (1979) varierer L/H fra 7 til 14 for en rekke kjente kvikkleireskred. En av begrensningene ved metoden er at den ikke tar hensyn til det som skjer etter at skredene er utløst, som for eksempel: 1) potensial for retrogresjon og 2) utløpsdistanse. Et eksempel av dette er Rissaraset i 1978 som forplantet seg opptil 1400 m fra strandkanten og inn på land (fig. 2). Skredmassene hadde fritt utløp i Botnen som i dette tilfelle ikke hadde noen direkte skadelig effekt. Imidlertid genererte skredmassene en svært ødeleggende flodbølge. Ved Rissaraset er forholdet mellom retrogresjon og høydeforskjell ca. 25. Dette viser at dagens

kartleggingsmetodikk kan undervurdere omfanget av et fareområde ut i fra de topografiske kriterier definert av Aas (1979).

Forutsetningene for å utvikle store retrogressive skred i sensitiv leire har blir studert nokså grundig i østlige deler av Canada (Mitchell & Markell 1974, Carson 1977, Lebuis et al. 1983). Bortsett fra arbeidet gjort av Trak & Lacasse (1996) er det få studier som dokumenterer den retrogressive oppførselen til norske kvikkleireskred.



Figur 2. Studie av skråningen ved Rissaraset (1978) viser et kritisk lengde-høyde-forhold på 25.

1.2 Målsetting

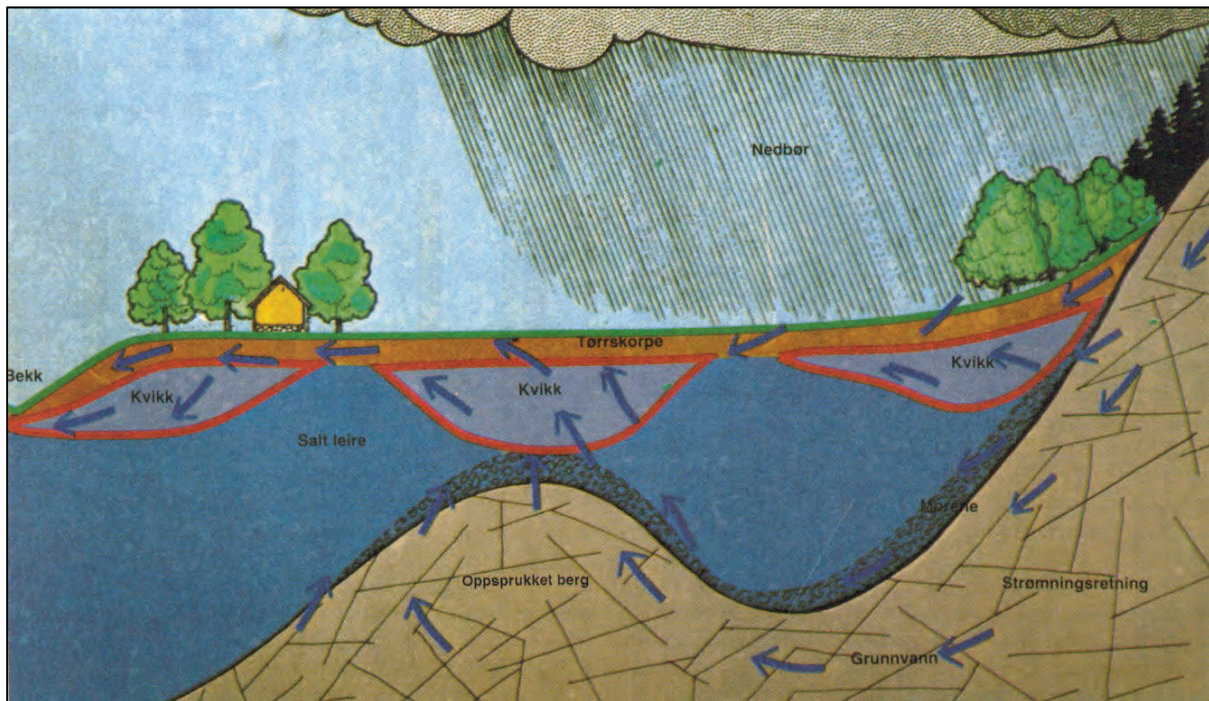
L'Heureux (2012) har samlet informasjon om 37 leirskred i Norge. Katalogen bygger delvis på en prosjektoppgave ved NTNU (Natterøy 2011), på geotekniske rapporter, annen litteratur, flyfotostudier, kvartærgeologiske kart og topografiske kart. De innsamlede dataene gir en unik oversikt over retrogradasjon og utløpsdistanser for 37 norske kvikkleireskred og bidrar dermed til økt kunnskap om kvikkleireskred i Norge. Datasettet kan brukes som bakgrunn for å vurdere sannsynlig retrogradasjon og utløp til potensielle kvikkleireskred. En sammenligning med kanadiske erfaringer er også relevant til belysning av dette.

Hensikten med rapporten er å sammenfatte dataene og resultatene fra Natterøy (2011) og L'Heureux (2012). Rapporten innledes med en kort oversikt over kvikkleire og ulike typer av kvikkleireskred og forklarer de parametre som er brukt for kartlegging/beskrivelse av de 37 skredhendelsene. Resultatene som summeres i rapporten kan brukes som innspil til en eventuell revurdering av de metoder som per i dag brukes i kvikkleirekartlegging, ved å inkludere faktorer som retrogradasjon og utløp.

2. KVIKKLEIRE

2.1 Geoteknisk definisjon

I henhold til norske standarder har jordarten leire minst 30 % leirinnhold. Leire kan derfor inneholde store mengder andre kornstørrelser som silt og sand. Generelt er naturlig saltinnhold i sjøvann ca. 35 g/l, og ionene i porevannet stabiliserer strukturen av leirkorn. Ved utvasking av marin leire vil det bli færre stabiliserende ioner i porevannet. Marin leire hvor saltinnholdet i porevannet er mindre enn 5 g/l kan være meget sensitiv/kvikk (Rosenqvist 1953; Bjerrum 1954). Når omrørt skjærstyrke (s_r) er mindre enn $0,5 \text{ kN/m}^2$ og sensitivitet (S_t) > 30 defineres leira som kvikk. Sensitivitet (S_t) er forholdet mellom udrenert, uforstyrret skjærstyrke (s_u) og omrørt skjærstyrke (s_r), og standard norsk klassifisering av sensitiv leire er som følger (NGF 1974): lav sensitivitet $S_t < 8$; middels sensitivitet: $8 < S_t < 30$; høy sensitivitet (kvikkleire): $S_t > 30$. NVE har utviklet retningslinjer som anbefaler å benytte $S_t \geq 15$ og $s_r < 2 \text{ kN/m}^2$ for leirmateriale som potensielt kan kollapse (dvs. leire som utviser sprøbruddegenskaper) (NVE 2009). I kvikkleire er vanninnholdet større enn flytegrensa til materialet. Disse geotekniske egenskapene til leire bestemmes i hovedsak ved testing av uforstyrrede prøver i laboratoriet.



Figur 3. Skisse over hvor kvikkleire ofte forekommer/dannes: inn mot fjellsida, over oppstikkende fjell og i skråning ned mot elv/bekk. Dette er i stor grad knyttet opp til tilgang på og gradienter til grunnvann, og pilene viser grunnvannets strømning gjennom oppsprukket berg og løsmasser (Løken 1983).

2.2 Dannelsen av kvikkleire

Under istidene ble store mengder løsmasser erodert fra berggrunnen, fraktet ut til brekanten og avsatt i sjøvann. Grovt materiale som sand, grus og morene ble avsatt nær eller under isen, mens finere sedimenter som silt og leir ble typisk avsatt lenger fra breen. Leirpartiklene i sjøvann flokkulerer, noe som gir en åpen struktur når de avsettes på sjøbunnen som marin leire (korthusstruktur). Etter hvert som isen trakk seg tilbake førte landhevningen til at sedimenter som var avsatt på sjøbunnen ble tørt land. Med tiden har grunnvannstrømningen gjennom leirsedimentene ført til at salt porevann har blitt byttet ut med ferskvann, og kvikkleire har blitt dannet. Siden leire er lite permeabel vil utvaskingen ta lang tid, noen steder vil det ta flere hundre/tusen år før leira blir kvikk. Likevel vil deler av en leiravsetning kunne utvikle kvikkleire i soner/lommer raskere enn andre på grunn av geologiske og topografisk forhold som øker grunnvannsgjennomstrømningen: nær berggrunnen, nær overflata hvor den hydrologiske grunnvannsgradienten er stor (f.eks. i skråninger), ved artesiske grunnvannsforhold og i soner hvor leira er gjennomsatt av silt-/sand-/gruslag (lagdelt) (fig. 3). Utvasking av saltinnholdet i flokkulert marin leire fører til en ”metastabil” struktur som kan kollapse som følge av ekstern påkjenning.

Kvikkleire er ikke et endelig stadium. Ved videre utvasking kan andre, mer stabilisende ioner tilføres kvikkleira gjennom grunnvannet, og igjen kunne gjøre leira mer stabil. Nær terrengeoverflata utvikles ofte en flere meter tykk tørrskorpeleire som ikke er kvikk, som oftest avgrenset ned til et nivå noe under normal grunnvannsstand.

3. KVIKKLEIRESKRED

Kvikkleire som ikke er påkjent er i utgangspunktet stabil. Dersom kvikkleira blir utsatt for hurtige spenningsendringer, kan imidlertid brudd oppstå langs en påkjent glideflate. I bruddsonen langs glideflata mister leira all styrke (blir flytende), og bruddet forplanter seg som en progressiv kollaps. Slik kan brudd over store områder oppstå plutselig, og føre til skred. Skredbevegelsen medfører ytterligere omrøring av kvikkleira omkring, som også blir flytende, og renner ut i skredet. Når kvikkleira er omrørt blir den metastabile strukturen ødelagt og det frigitte porevannet gjør leirmaterialet svært flytende (likvifiseres) (Rosenquist 1966). Denne egenskapen, til å kunne bli flytende ved belastning, er en av de viktigste mekanismene i kvikkleiras oppførsel etter brudd. Slike hurtige spenningsendringer kan oppstå ved at et lite initialskred – som ikke behøver å berøre kvikkleira direkte – utløses. Kvikkleireskred skjer ofte uten forvarsler, og skredmassene kan oppnå ganske høy hastighet. Det er generelt akseptert at store skred i sensitiv leire er bakovergripende (retrogressive). Det kjente kvikkleireskredet i Rissa i 1978 er trolig det best dokumenterte eksemplet på slik omfattende retrogresjon, siden det ble filmet på amatørvideoer (Gregersen 1981).

I den retrogressive modellen, som først ble introdusert av Bjerrum (1955), går det først et initialskred som etterlater en ustabil bakskråning. Den retrogressive prosessen fortsetter som en serie rotasjonsutglidninger inntil en stabil morfologi oppnås. Det vil si inntil skjærstyrken i skråninga er lavere enn den udrenerte skjærstyrken til leira. Initialskredet er ofte sett som en sammenhengende bevegelse, retrogressiv eller flak-lignende skred, og det er ofte utløst av elve-/bekkeerosjon, økt porevannstrykk eller menneskelig aktivitet. Økt poretrykk er ofte

knyttet til økt nedbør over en viss periode og/eller rask snøsmelting. Også menneskelig aktivitet kan føre til økt poretrykk i leira, så som pæling, fyllinger eller lekkasje fra nedgravde rør. I utgangspunktet er det nokså enkelt å beregne stabiliteten til en skråning med hensyn til initalskred i sensitiv leire. Usikkerheten ligger i evalueringen av potensialet for retrogressivt brudd.

Kvikkleireskred kan deles inn i ulike typer basert på prosesser/mekanismer og morfologi (se også Karlsrud et al. 1985). Skredtypene 2)-4) oppstår ofte raskt og kan inneholde elementer av progressivt brudd (fig. 4). Store skred kan inneholde elementer av flere skredtyper (se tabell 1 (kap. 6) og vedlegg 2).

1) Enkelt rotasjonsskred

Dette er ofte et initalskred som ikke nødvendigvis oppstår i kvikkleire. Bevegelsen er monolittisk og viser rotasjon. Bakkanten er ofte i skråningen eller rett bak skråningstoppen.

2) Retrogressive skred (Flow)

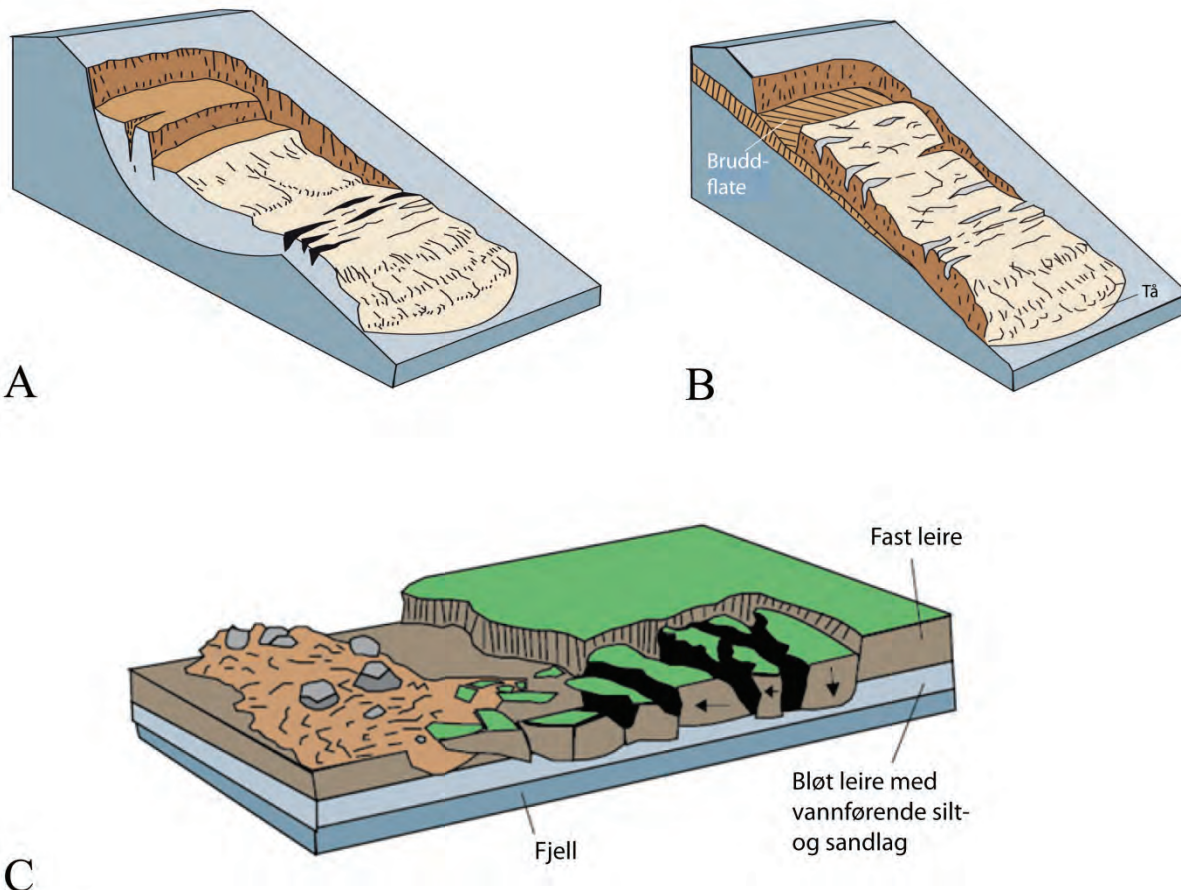
Dette er bakoverskridende utglidninger, som regel med rotasjon, og bruddflaten utvider seg motsatt bevegelsesretningen (fig. 4a). Skredet kan utløses av et initalskred hvis dette etterlater seg en tilstrekkelig ustabil bakkant. Hvis det er kvikkleire i skråningen kan skredet utvikle seg svært raskt, store områder kan skli ut, og det meste av leira blir flytende. I et retrogressivt skred fjernes støtten i bunnen. Skredgropa kan ha pæreform.

3) Monolittiske flakskred/Translasjonale skred (Flake)

Ved denne skredtypen sklir store områder ut som en stor monolittisk enhet/flak, og det kan skje veldig raskt og uten forvarsel (fig. 4b). Dette forutsetter at det finnes kontinuerlige lag/soner med kvikkleire under/bak skråningen. Bruddutviklingen kan foregå både motsatt bevegelsesretningen (bakover-progressivt, utløses av initalskred) eller i samme retning som bevegelsen (nedover-progressivt, utløses av økt belastning på eller forskyvning i skråningstopp). Denne mekanismen er ofte observert for kvikkleireskred i Skandinavia (Bernander 1978, 2000, 2008; Aas 1981, 1983; Bernander & Olofsson 1981; Karlsrud et al. 1985).

4) Vertikal innsynkning og sidelangs spredning (Spread)

Skredene skjer ofte i nokså flatt terreng, hvor en kvikkleiresone under et fastere lag blir omrørt. Terrenget får ofte et horst-graben-utseende (fig. 4c). Slike skred representerer ca. 42 % av de store skredene i den østlige delen av Canada (Locat 2012).



Figur 4. Skredtyper (etter Highland & Bobrowsky 2008). A) Rotasjonsskred/retrogressive skred. B) Flakskred/translasjonale skred. C) Spredning.

4. TIDLIGERE STUDIER OM RETROGRESJON OG MOBILITET

Mitchell & Markell (1974) presenterte en analytisk løsning for å estimere retrogresjonslengde basert på en analyse av 41 skred øst i Canada. De foreslo at retrogresjon kun kan oppstå når stabilitetstallet (N_s^1) er større enn 6 innenfor den potensielle bruddflata. Den samme studien viste at det var et generelt forhold mellom N_s og retrogresjonsdistansen, selv om andre faktorer som sensitivitet, stratigrafi og topografi også så ut til å spille en viktig rolle for begrensingen av retrogresjon. I tillegg sammenlignet Lebuis et al. (1983) omrørt skjærstyrke (s_r) og flyteindekksen (I_L) for mange skred øst i Canada og viste at terskelverdiene kunne bli definert for å evaluere risikoen for retrogresjon. Generelt viste det seg at retrogressive brudd oppstod når flyteindekksen var større enn 1,2 og/eller når s_r var mindre enn 1 kPa i Canada.

¹ $N_s = \gamma H / s_u$, der γ = jordas tyngdetetthet, H = skråningshøyden og s_u = udrenert skjærstyrke
Stabilitetstallet N_s er dimensjonsløst.

Basert på studiene fra Canada, indikerte Tavenas et al. (1983) at faren for retrogradasjon i prinsippet kan relateres til tre forhold:

- Leiras mulighet til å bli omrørt. Dette avhenger av de mekaniske egenskapene til leira og den potensielle energien i skråningen (dvs. skråningshøyden H).
- Leiras mulighet til å strømme ut av skredgropa når den blir omrørt. Dette avhenger av konsistensen til det omrørte materialet, og dermed til leiras flyteindeks og omrørte skjærstyrke.
- En topografi som lar skredmassene evakuere.

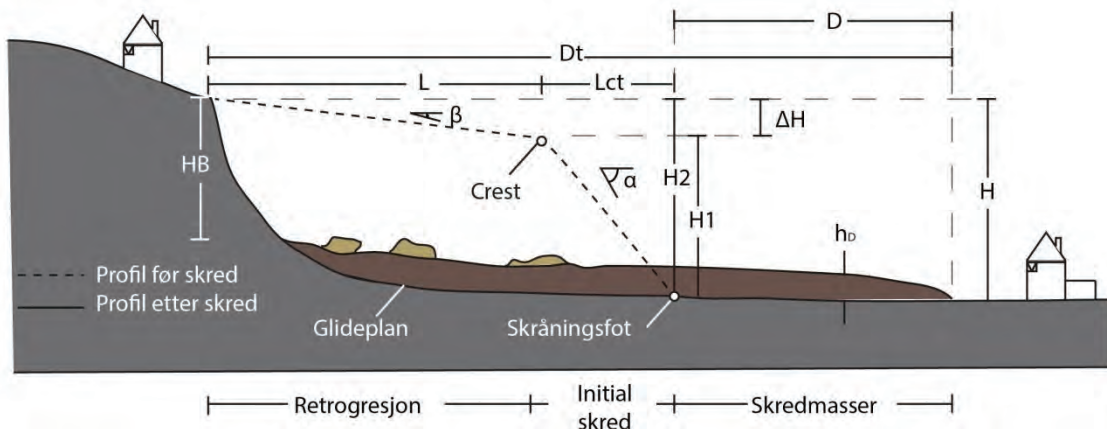
Når man vurderer farepotensialet i forbindelse med kvikkleireskred må man ta i betraktning mobiliteten til omrørt kvikkleire og dets lange utløpsdistanse. Det er likevel bare noen få studier som dokumenterer mobiliteten til skred i sensitiv leire (Edgers & Karlsrud 1982, Locat 1992, Locat et al. 2003, Locat et al. 2008). Et av de viktigste problemene er at skredmassene sjeldent er blitt kartlagt etter en hendelse. Kvikkleireskred går ofte langs bekker, elver eller i standsonen, og skredmassene blir raskt erodert og/eller er vanskelige å kartlegge. Locat et al. (2008) studerte 22 godt kjente skredhendelser fra Øst-Canada, og viste at det er et forhold mellom retrogradsjonsstørrelsen og utløpsdistanse. Studien viste også, lignende med studien til Edgers & Karlsrud (1982), at utløpsdistanse for slike skred øker med det mobiliserte volumet av skredmasser i forhold til skredgropas bredde ($\text{Vol}/W_{\text{snitt}}$).

5. DATA OG METODER

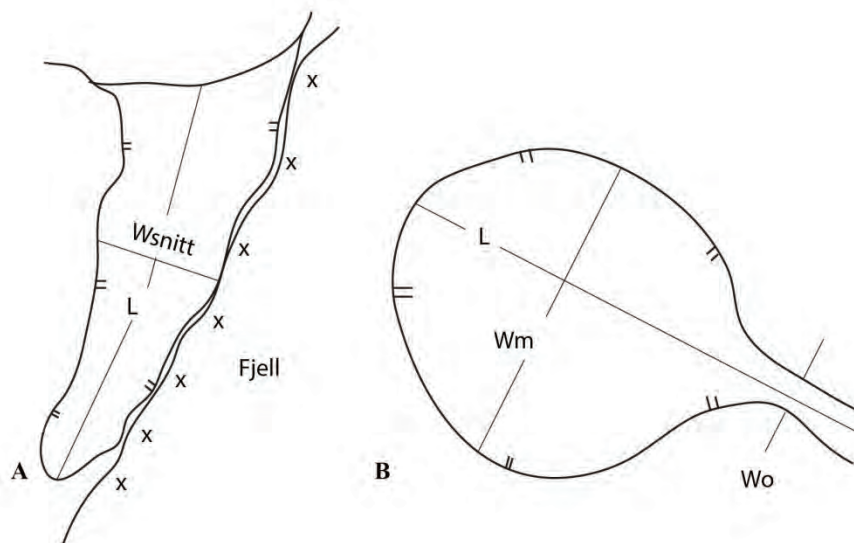
I denne studien har geomorfologiske parametere, indeksegenskaper og skjærstyrkeverdier for 37 godt dokumenterte, norske skredhendelser i sensitiv leire blitt samlet inn. Noen av parametrene er estimert ut fra topografiske kart (1 m koter), før og etter skredhendelsen. I tilfellene hvor det ikke var tilgjengelig informasjon om terrenget og materialegenskaper fra før hendelsen, f.eks. forhistoriske hendelser, ble parametrene bestemt ut fra omkringliggende terrenget. Mobilisert skredvolum ble estimert ved å multiplisere arealet til skredgropen med gjennomsnittlig skredgropdypt.

Mange av skredhendelsene i dette studiet har tidligere vært beskrevet i litteraturen sammen med estimerte geotekniske materialegenskaper som er representative for skredmassene. For andre skredhendelser har geotekniske materialegenskaper blitt estimert ut fra tilgjengelige geotekniske rapporter fra konsulenterselskaper. Det er referert til relevant litteratur/rapporter for de enkelte skredene.

Figur 5 viser parametre som er forsøkt samlet inn for de ulike skredhendelsene. Det ble også definert parametre etter skredform, og den formen som passet best til det undersøkte skredet ble valgt (fig. 6). Dersom ingen av formene passet, ble gjennomsnittsbredden til skredgropa registrert. Der skredparametrene varierte innbyrdes er gjennomsnittsverdier benyttet.



Figur 5. Skisse over registrerte skredparametrene i skredkatalogen (modifisert fra Natterøy 2011).



Figur 6. Parametre som avhenger av skredform. A) Avlang skredform (f.eks. Rissa), B) Pæreformet skredgrop (f.eks. Ullensaker) (etter Natterøy 2011).

Kartlagte parametre

W_0	Minimum bredde til utløpsporten (m)
W_m	Maksimum bredde til skredgropa (m)
W_{snitt}	Gjennomsnittsbredde til skredgropa (m)
β	Overflatevinkel til opprinnelig skråning (grader)
α	Skråningsvinkelen til opprinnelig skråning (grader)
ΔH	Høyden mellom crown og crest (m)
L	Retrogresjonslengden (m)
L_{cT}	Avstanden fra fot til crest (m)
D_t	Lengde fra bakkanten av skredet til skredmassenes stoppested
D	Lengde av skredmasser, fra skredport til skredmassenes stoppested
H	Høyden mellom crown og kanten av skredmassene (m)
H_1	Høyden til initialskråning, målt fra fot til crest (m)
H_2	Skråningshøyden fra fot til crown (m)
H_B	Høyden til bakkanten av skredet, målt fra crown til skredmassene (m)
h_D	Tykkelsen til skredmassene (m)
H_g	Dyp til glideplan/bruddflate (m)
Areal	Arealet til hele skredgropa (m^2)
Volum	Volumet til skredet (m^3)
"Trend I"	Retningen til initialskearet i forhold til nord (grader)
"Trend R"	Retningen til retrogresjonen i forhold til nord (grader)

6. RESULTATER OG DISKUSJON

Figur 7 viser hvordan de studerte lokalitetene er fordelt i Norge, se vedlegg 1 for litt mer detaljerte kart. Tabell 1 viser noen av resultatene for de studerte skredhendelsene, mens vedlegg 2 gir en fullstendig tabell med alle parametere (der de er funnet) og referanser. Vedlegg 3 gir mer detaljer rundt hver lokalitet for 33 av de 37 skredhendelsene. For å være så representativ som mulig er det forsøkt å samle inn data fra både små og store skred, samt skred som har startet i enten kvikk eller ikke-kvikk leire.



Figur 7. Oversikt over lokaliteter for de studerte skredhendelsene i Norge. Se vedlegg 1 for mer detaljerte kart.

Tabell 1: Skredoversikt. F: Flow; FF: Flake and flow, S: Spread – se kap. 3 (etter L'Heureux 2012).

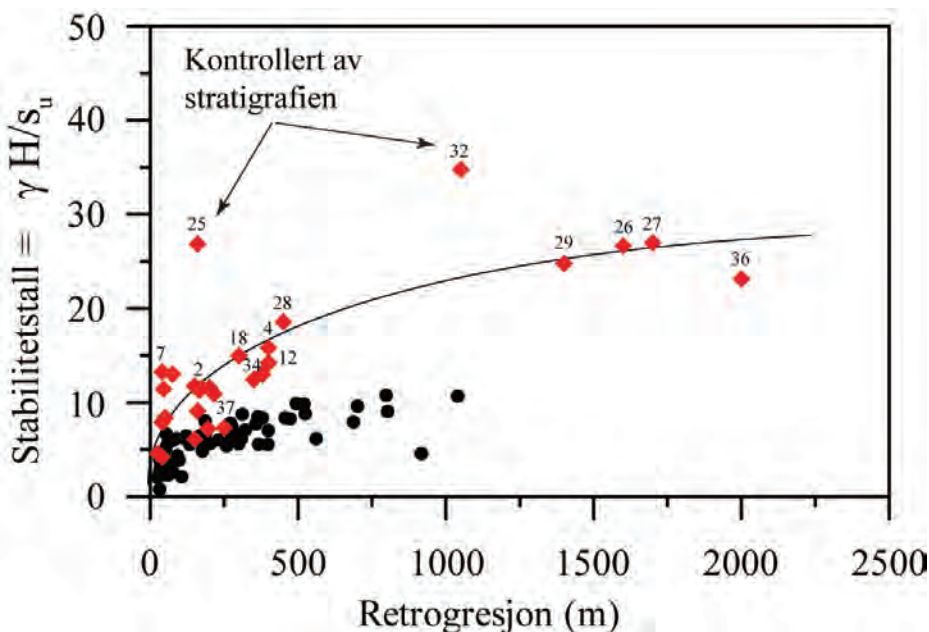
No	Lokalitet	Dato	Type skred	Volum (m ³)	L/H	D (m)	Referanse
1	Bakklandet	10.11.1634	F	500 000	3,1	?	1
2	Bekkelaget	07.10.1953	S	100 000	16,5	20	2
3	Brå	01.05.1928	F	500 000	2,5	400	3
4	Byneset	01.01.2012	F	350 000	14,3	900	*
5	Båstad	05.12.1974	S	1 500 000	5,8	700	4
6	Drammen	06.01.1955	S	4 000	3,8	?	5
7	Hyggen	23.01.1978	FF	500 000	4,4	450	6-7
8	Duedalen	18.07.1625	F	500 000	8,4	?	*
9	Fallet, Rissa	1997	FF	200 000	8,3	670	8
10	Finneidfjord	20.06.1996	FF	1 000 000	7,5	1000	9
11	Fredrikstad	17.08.1980	S	10 000	7,1	30	10
12	Furre	14.04.1959	FF	3 000 000	20	90	17
13	Gretnes	17.04.1925	F	400 000	9,1	?	3
14	Gullaug 1	29.11.1974	FF	100 000	1,3	325	6-7
15	Gullaug 2	Forhistorisk	F	2 850 000	21,7	?	*
16	Heimstad	Forhistorisk	F	900 000	13,7	?	*
17	Hekseberg	20.03.1967	F	200 000	4	300	12
18	Kattmarka	13.03.2009	S	600 000	15	?	*
19	Kokstad	21.10.1924	F	400 000	7,2	600	3
20	Lade	11.04.1944	S	50 000	1,4	100	13
21	Langørjan	Forhistorisk	F	11 000 000	12,5	?	*
22	Leirfossen	Forhistorisk	?	75 000 000	43,8	?	*
23	Lodalen, Oslo	06.10.1954	S	10 000	2,2	?	14
24	Lund	Forhistorisk	F	4 600 000	15	?	*
25	Lyngseidet	03.09.2010	F	220 000	5,9	420	*
26	Olderdalen	Forhistorisk	F	25 000 000	20	?	*
27	Othilienborg	Forhistorisk	F	70 000 000	13,6	11000	*
28	Rissa 1	29.04.1978	FF	150 000	45	620	15-16
29	Rissa 2	29.04.1978	FF	5 000 000	37,8	1200	15-16
30	Rørdal	Forhistorisk	?	3 300 000	13,1	?	*
31	Selnes	18.04.1965	F	140 000	16,5	400	17
32	Sjetnemarka	Forhistorisk	F?	30 000 000	20,2	?	*
33	Stavset	Forhistorisk	F	800 000	3,9	?	*
34	Tiller	07.03.1816	F	550 000	7	?	*
35	Ullensaker	23.12.1953	F	200 000	13,9	?	18
36	Verdal	19.05.1893	F	65 000 000	23,5	5000	19
37	Vibstad	22.02.1959	S	1 400 000	10	250	18

1-Bjerrum & Kjærnsli (1957), 2- Eide & Bjerrum (1955), 3- Holmsen (1929), 4- Gregersen & Løken (1979), 5- Bjerrum & Kjærnsli (1957), 6- Karlsrud (1979), 7- Hansen et al. (2011), 8-L'Heureux et al. (2011), 9- Longva et al. (2003), 10- Karlsrud (1983), 11- Hutchinson (1961), 12- Drury (1968), 13- Holmsen & Holmsen (1946), 14- Sevaldsen (1956), 15-Gregersen (1981), 16- L'Heureux et al. 2012, 17- Kenney (1967), 18- Bjerrum (1955), 19- Trak & Lacasse (1996), 20- Hutchinson (1965). * Dette studiet.

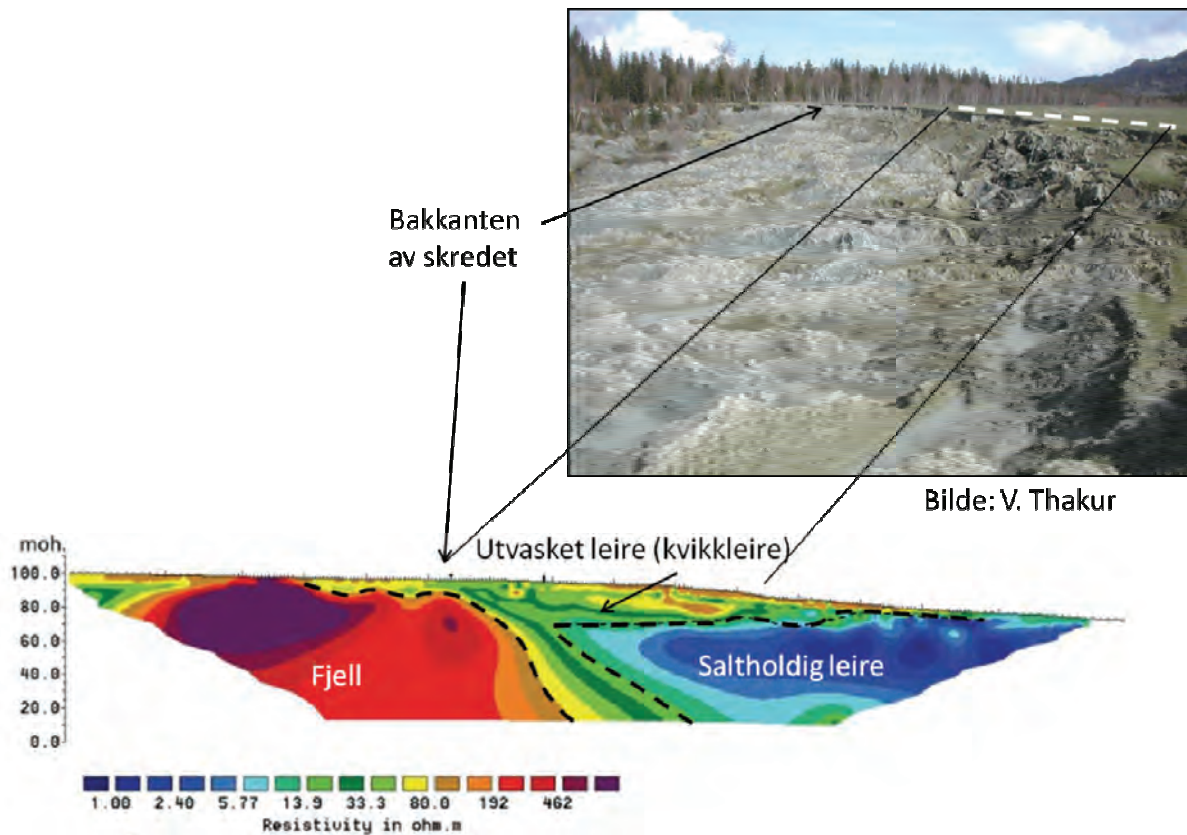
6.1 Retrogresjon

Forholdet mellom retrogresjonsdistanse (L) og skråningshøyde (H) er vist for alle skredendelsene i tabell 1. Resultatene viser at flere skred har hatt større retrogresjon enn kriteriet (dvs. $L/H=15$) som brukes i den norske kartleggingsprosedyren for å begrense et areal som potensielt kan rase ut (kap. 1.1). Dette kriteriet burde derfor brukes med forsiktighet når en vurderer eventuelt utstrekning av et skred i områder med sensitive leiravsetninger.

I figur 8 er stabilitetstallet presentert som en funksjon av retrogresjonsdistansen. Som for studien av Mitchell & Markell (1974), viser data en økning i retrogresjonsdistansen med stabilitetsnummeret. Stabilitetsnummeret for skredene ved Lyngseidet og Sjetnemarka indikerer at retrogresjonslengden kunne vært større for disse hendelsene (nr. 25 og nr. 32 på fig. 8 og i tabell 1). Likevel, geotekniske jordprofiler i nærheten av disse skredene viser at sensitiviteten synker drastisk oppover skråningen, og at dette trolig har styrt den retrogressive prosessen. Figur 9 viser et 2D resistivitetsprofil målt langs kanten av skregropa etter Bynesetskredet (01.01.2012). Her kan man se at laget med utvasket leire (kvikkleire) tynner ut mot bakkanten av raset der hvor bergrunn kommer opp. På grunn av dette vil skråningshøyden H bli mindre, og stabilitetstallet N_s vil dermed også avta. Den potensielle energien i skråningen vil etterhvert bli for liten til at skredet kan fortsette å utvikle seg bakover. Hadde tykkelsen og dybden på sonen med utvasket leire vært konstant fram til fjellet, ville sannsynligvis skredet stoppet ved fjell.



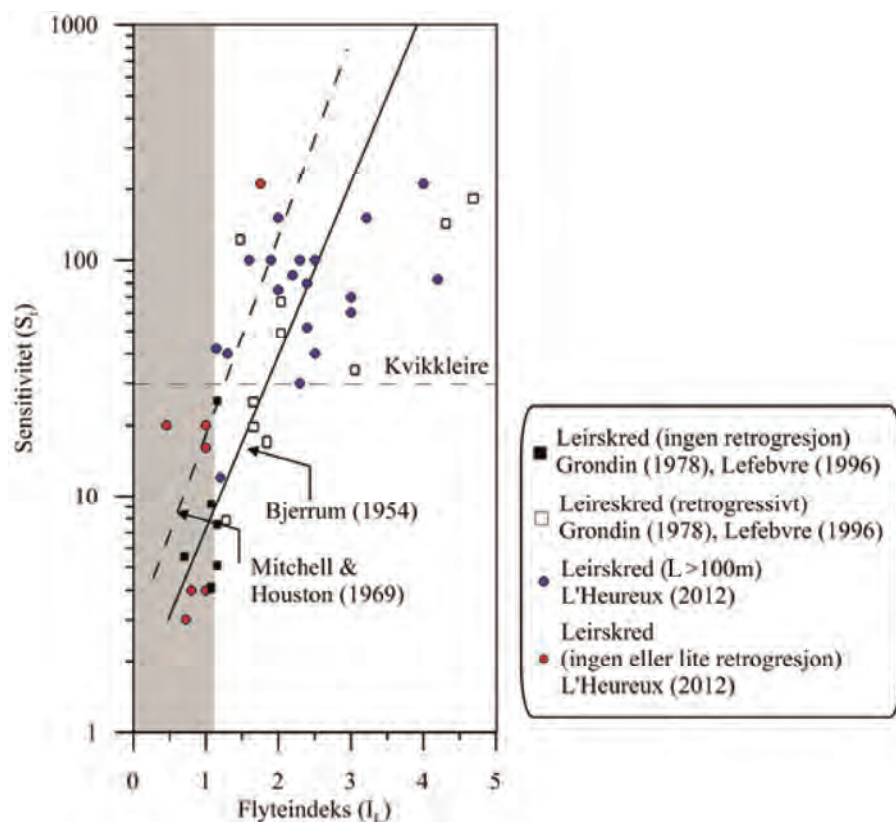
Figur 8. Retrogresjonslengde i forhold til stabilitetstall for norske skred i sensitive leiravsetninger. De svarte punktene er fra Mitchell & Markell (1974) for skred i Canada.



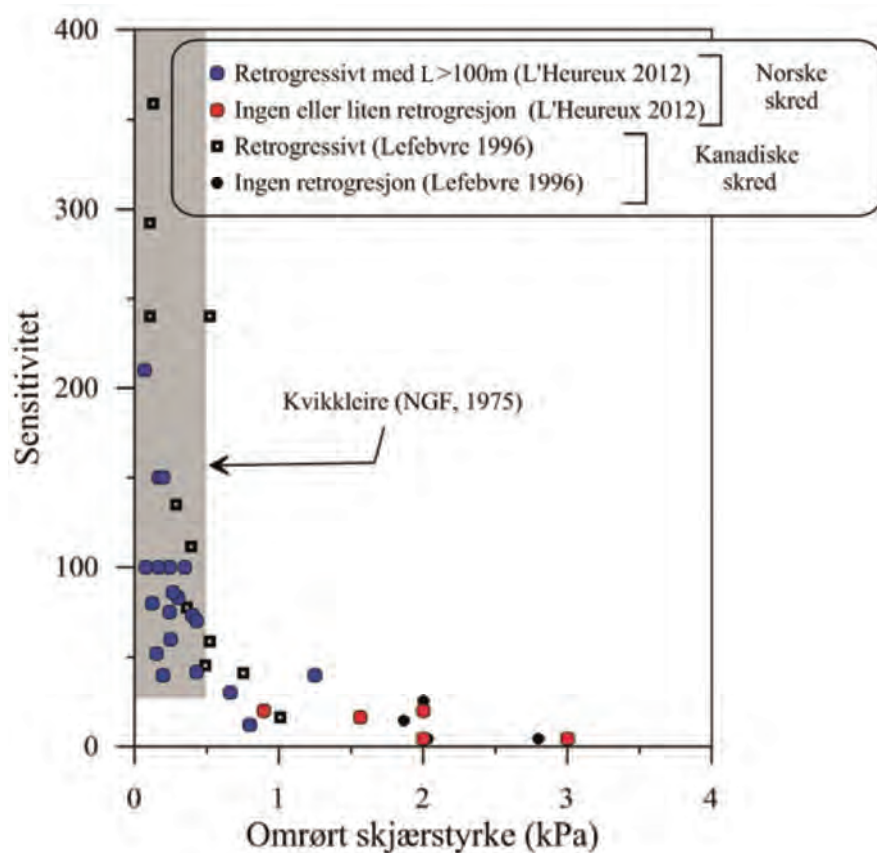
Figur 9: 2D resistivitetsprofil (700 m langt) som målt langs kanten av skredgropa etter Bynesetskredet (01.01.2012). Profilet viser at laget med utvasket leire tynner ut mot bakkanten av raset der hvor bergrunn kommer opp. Stabilitetstallet vil avta siden skråningshøyden minker. Den potensielle energien i skråningen vil etterhvert bli for liten til at skredet kan fortsette å utvikle seg bakover (data fra Solberg et al. 2012, foto: V. Thakur).

For mer enn 40 % av skredene som er samlet i denne studien, har den retrogressive prosessen (retrogresjonsretningen) og dens begrensning blitt styrt av omkringliggende berggrunn. Gode eksempler her er de kjente skredhendelser i Rissa (1978) og ved Kattmarka (2009). Kvikkleiredannelsen skjer ofte raskere i nærheten av berggrunnen siden forholdene her ligger til rette for god grunnvannsgjennomstrømning i den marine leira (se kap. 2).

Figurene 10 og 11 viser forholdet mellom flyteindekksen, sensitiviteten og den omrørte skjærstyrken for de 37 kartlagte kvikkleireskredene i Norge. Resultatet viser at store skred oppstår når sensitiviteten (S_s) er større enn 30, og når flyteindekksen (I_L) er over 1,1 (fig. 10). Omfattende retrogradasjon har en tendens til å oppstå når den omrørte skjærstyrken (s_r) er lik eller lavere enn 0,5 kPa. Disse resultatene er i overensstemmelse med den norske definisjonen av kvikkleire.

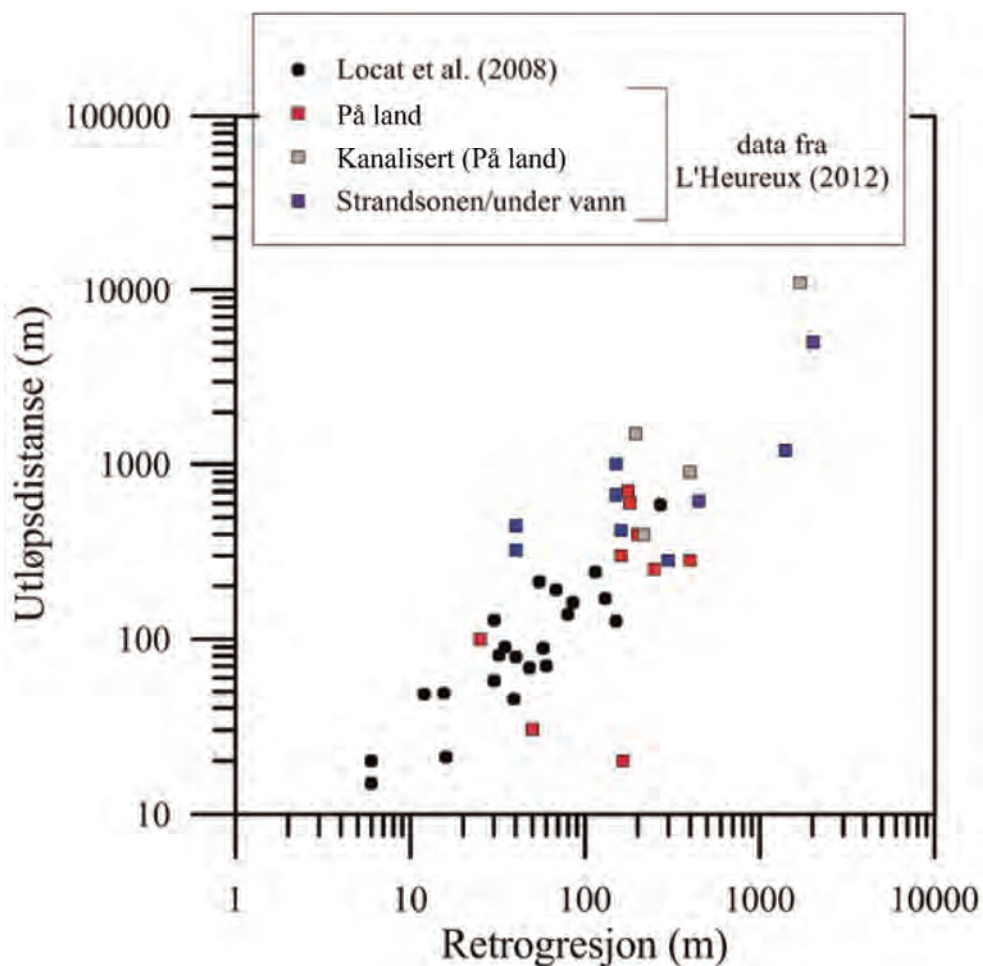


Figur 10. Flyteindeks i forhold til sensitivitet for norske leireskred.

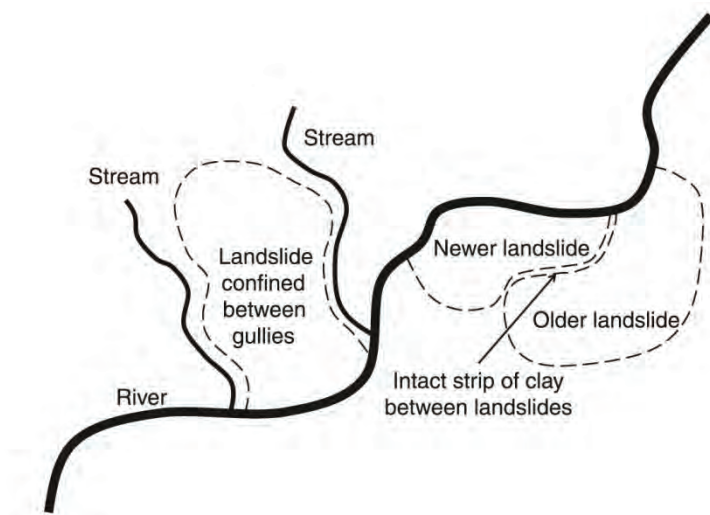


Figur 11. Omrørt skjærstyrke og sensitivitet for norske og kanadiske skredeksempler.

Figur 12 viser at størrelsen på retrogradasjon i stor grad styres av muligheten omrørte skredmasser har til å strømme ut av skredgropa. Faktorer som styrer dette vil derfor spille en viktig rolle for utviklingen av retrogradasjon (f.eks. leiras omrørte skjærstyrke og skredgropas morfologi). Daltopografien i nærheten av skredgropa er spesielt viktig. Stor grad av retrogradasjon skjer oftere i daler med bratte, langsgående graderinger eller nær vide og dype elver eller innsjøer, enn i flate smale daler (jfr. Tavenas et al. 1983). De innsamlede dataene viser også at mange av skredene stopper før de når nærliggende/bakenforliggende raviner eller ei gammel skredgrop (Lebuis et al. 1983; Robitaille et al. 2002). Grunnen til dette kan være knyttet til redusert jordtrykkskoeffisient i dyptet av bruddet, i nærheten av der terrenget/skråningen endrer seg (Quinn et al. 2011, fig. 13).



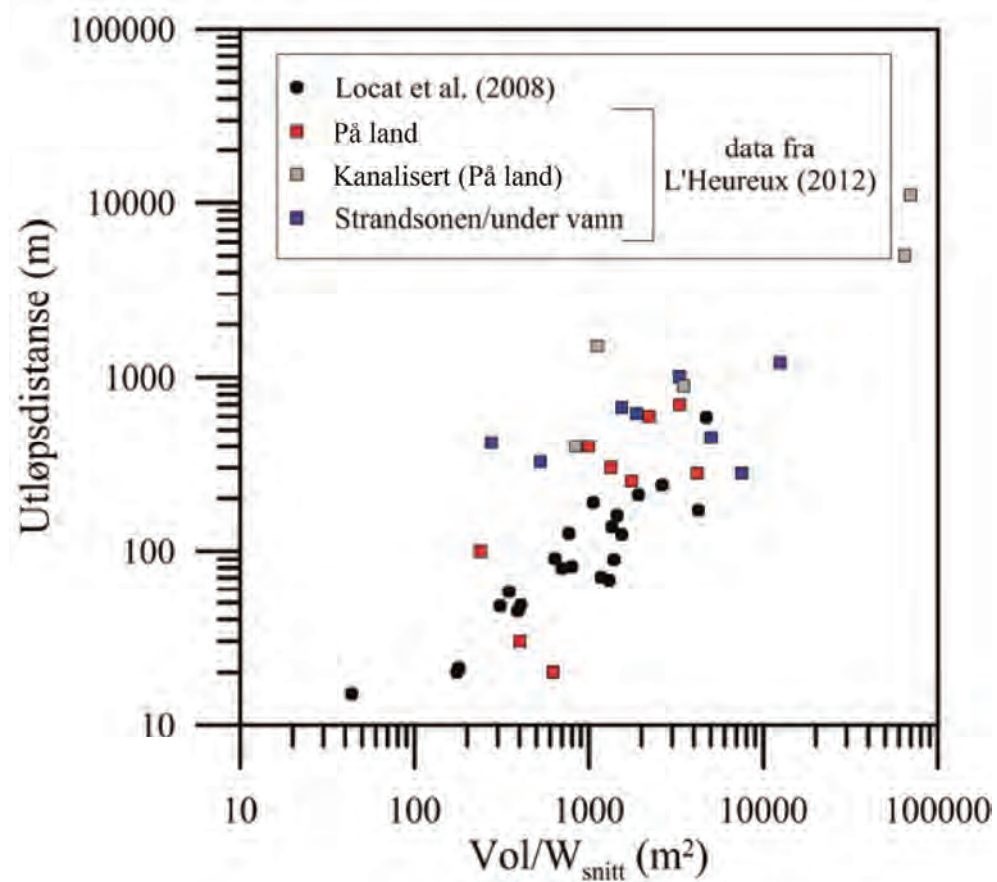
Figur 12. Mobilitet (utløpsdistanse) estimert for de 37 kartlagte skredene i norske leirer som funksjon av retrogresjonslengde. Data er sammenlignet med skredhendelser i østlige Canada (Locat et al. 2008).



Figur 13. Mange av skred stopper før de når nærliggende/bakenforliggende raviner eller gamle skredgropes (Quinn et al. 2011)

6.2 Mobilitet

I figur 14 sammenlignes de 37 kartlagte skredenes mobilitet med volumet av skredmassene i forhold til skredgropas bredde ($\text{Vol}/W_{\text{snitt}}$). Her kan man se at utstrømningslengden generelt øker med forholdet $\text{Vol}/W_{\text{snitt}}$. Resultater vist i figurene 13 og 14 viser også at for en gitt $\text{Vol}/W_{\text{snitt}}$, er utløpsdistanser for norske skred noe lengre enn for de i østlige Canada. Slike forskjeller kan skyldes de geotekniske egenskapene til leira (dvs. den kanadiske leira er som regel mer overkonsolidert enn den norske og bruker dermed mer energi for å bli omrørt), og miljøet hvor skredhendelsen fant sted. Kanaliserte hendelser er for eksempel tatt med i denne studien, noe som vil overestimere mobiliteten til norske skred. I tillegg skjer ofte skred i Norge i strandsonen, hvor skredmassene kan strømme langs sjøbunnen. I disse tilfellene vil den lave permeabiliteten til leire sørge for at vann fanges under skredmassene og føre til vannplaning og lengre utløpsdistanser i det undersjøiske miljøet (f.eks. De Blasio et al. 2005).



Figur 14. Mobilitet (utløpsdistanse) estimert for skred i norske leirer som funksjon av mobilisert volum av kollapset sediment per breddeenhet (skredgropas bredde). Data er sammenlignet med skredhendelser i østlige Canada (Locat et al. 2008).

7. KONKLUSJONER

Data fra 37 godt dokumenterte skredhendelser har blitt benyttet for å vise den retrogressive oppførselen til norske kvikkleireskred. Resultatene stemmer godt overens med resultatene fra studier øst i Canada og har direkte innvirkning for kvikkleire kartleggingsmetodikken i Norge.

Hovedresultatene fra den rapporterte studien er:

- Studiet har vist at en rekke historiske kvikkleireskred har $L/H > 15$. Det topografiske kriteriet for den landsomfattende kvikkleirekartleggingen, hvor skredutbredelse antas å få en maksimal lengde tilsvarende 15 ganger høydeforskjellen (H), skulle derfor i framtiden bli brukt med forsiktighet i aktsomhets- og farekartlegging i Norge.
- Stabilitetstallet N_s kan brukes for å forutsi omtrentlig retrogresjonsdistanse for norske kvikkleireskred. Dataene viser også at mange av skredene stopper før de når nærliggende/bakenforliggende raviner eller ei gammel skredgrop.
- Store, retrogressive skredhendelser i Norge stemmer overens med den norske definisjonen av kvikkleire, dvs. at de kun kan oppstå når $S_t \geq 30$ og $s_r \leq 0,5$ kPa.
- Store kvikkleireskred i Norge ser ut til å oppstå når flyteindeksemningen er over 1,1.
- Det er en sammenheng mellom retrogresjonslengden og skredmassenes mobilitet.
- Mobiliteten til kvikkleireskred øker med mobilisert sedimentvolum i forhold til skredgropas bredde ($\text{Vol}/W_{\text{avg}}$).
- Utløpsdistanse for norske kvikkleireskred ser ut til å være større enn sammenlignbare skred i østlige Canada. Dette skyldes trolig de fysiske og mekaniske egenskapene til leira, og miljøet hvor skredhendelsen fant sted.

8. REFERANSER

- Aas, G. 1979: Kvikkleireskred. Forelesningsnoter til NIF-kurs "Skredfare og planlegging". Lofthus Hardanger.
- Aas, G. 1981: Stability of natural slopes in quick clays, In Proceedings of the tenth International Conference on Soil Mechanics and Foundation Engineering, Stockholm, Sverige, 15.-19. juni 1981. NGI Publikasjon 135: 333-338.
- Aas, G. 1983: A method of stability analyses applicable to natural slopes in sensitive and quick clays. SGI Rapport 17.
- Bernander, S. 1978: Brittle failures in normally consolidated soil. Väg-och Vattenbyggaren, 8-9: 49-52.
- Bernander, S. 2000: Progressive landslides in long natural slopes, formation, potential extension and configuration of finished slides in strain-softening soils. Licentiate Thesis, Department of Civil and Mining Engineering, Luleå University of Technology, Luleå, Sweden.
- Bernander, S. 2008: Down-hill progressive landslides in soft clays, triggering disturbance agents, slide propagation over horizontal or gently sloping ground, sensitivity related to geometry. Department of Civil and Mining Engineering, Luleå University of Technology, Luleå, Sweden. Research Report.
- Bernander, S. & Olofsson, I. 1981: The landslide at Tuve in November 1977. Department of Civil and Mining Engineering, Luleå University of Technology, Sverige. Teknisk rapport.
- Bjerrum, L. 1954: Geotechnical properties of Norwegian marine clays. Geotechnique 4: 49-69.
- Bjerrum, L. 1955: Stability of natural slopes in quick clay. Geotechnique 5: 101.
- Bjerrum, L. 1971: Kvikkleireskred, et studium av årsaksforhold og forbygningsmuligheter. NGI Publikasjon 89.
- Bjerrum L. & Kjærnsli B. 1957: Analysis of the stability of some Norwegian natural clay slopes. Geotechnique 7: 1-16.
- Carson, M.A. 1977: On the retrogression of landslide in sensitive muddy sediments. Canadian Geotechnical Journal 14: 582-602.

De Blasio, F.V., Elverhøi, A., Issler, D., Harbitz, C.B., Bryn, P. & Lien, R. 2005: On the dynamics of subaqueous clay rich gravity mass flows – the giant Storegga slide, Norway. *Marine and Petroleum Geology* 22: 179-186.

Drury, P. 1968: The Hekseberg landslide, March 1967. *NGI Publikasjon* 75: 27-31.

Edgers, L. & Karlsrud, K. 1982: Soil flows generated by submarine slides – case studies and consequences. *NGI Publikasjon* 143, 11 s.

Eide, O. & Bjerrum, L. 1955: The slide at Bekkelaget." *Geotechnique* 5: 88-100.

Emaus, K. 1996: Grunnundersøkelser Datarapport – Hemnes kommune – Ras i Finneidfjord. Rapport nr. 11445-1. Kummeneje.

Fremstad, E. og Thingstad, P.G. (red.) 2007: Nidelva, Trondheims hjerte. Bli med ut 7.

Furseth, A. 2006: Skredulykker i Norge. Tun Forlag, Oslo.

Furuberg, T. & Andersen, K.L. 2011: Presthus Nedre. Datarapport. Trondheim kommune Rapport R.1452.

Furuberg, T. & Vognild, S. 2004: Tiller. Kvikkleirekartlegging. Datarapport. Trondheim kommune Rapport R.1168-2.

Furuberg, T. & Vognild, S. 2008: Spongdal skole – kvikkleriekartlegging. Datarapport. Trondheim kommune Rapport R.1409.

Gregersen, O. 1981: The quick clay landslide in Rissa, Norway. *NGI Publikasjon* 135:1-6.

Gregersen, O. 2008: Program for økt sikkerhet mot leirskred – Metode for kartlegging og klassifisering avfaresoner, kvikkleire. *NGI Rapport 20001008-2* (3. Revisjon 08.10.2008).

Gregersen, O. & Løken T. 1979: The quick-clay slide at Baastad, Norway, 1974. *Engineering Geology* 14: 183-196.

Gunleiksrud, T. 1970: Lade allé. Trondheim kommune Rapport R.0168.

Hansen, L., L'Heureux, J.S., Longva, O. & Eilertsen, R.S. 2011: Undersjøiske landformer og skredprosesser langs strandsonen i Drammensfjorden. *NGU Rapport 2011.003*.

Helland, A. 1909: Norges land og folk. Aschehoug forlag, bind XVII, første del.

Highland, L.M. & Bobrowsky, P. 2008: The landslide handbook - A guide to understanding landslides. Reston, Virginia, U.S. Geological Survey Circular 1325, 129 s.

- Holmsen, G. 1929: Lerfaldene ved Kokstad, Grettne og Braa. NGU 132, 45 s.
- Holmsen, G. & Holmsen, P. 1946: Leirfall i årene 1940-1945. NGU 167, 71 s.
- Hove, S. 1973: Vegprosjekt Kvammen-Ekle-Tiller Sør. Trondheim commune, Rapport R.0315.
- Hutchinson, D.J. 1961: A landslide on a thin layer of quick clay at Furre, central Norway. Geotechnique 11: 69-94.
- Hutchinson, J.N. 1965: The landslide of February, 1959, at Vibstad in Namdalens. NGI Publikasjon 61: 1-16.
- Jørstad, F. A. 1968: Leirskred i Norge. NGI Tidsskrift 22: 214-219.
- Karlsrud, K. 1979: Skredfare og planlegging. Forelesningsnoter til NIF-kurs "Skredfare og planlegging". Lofthus, Hardanger.
- Karlsrud, K. 1983: Analysis of a small slide in sensitive clay in Frederikstad, Norway. Proceedings of Symposium on slopes in soft clay; Linköping, Sverige. SGI Rapport 17: 175-184.
- Karlsrud, K., Aas, G & Gregersen, O. 1985: Can we predict landslide hazards in soft sensitive clays? Summary of Norwegian practice and experience. NGI Publikasjon 158.
- Karlsrud, K., Gregersen, O. & Moholdt, R. 2009: Vurdering av stabilitetsforhold og sikringstiltak i Kattmarka. NGI Rapport 20091257-00-4-R.
- Kenney T.C. 1967: Slide behaviour and shear resistance of a quick clay determined from a study of the landslide at Selnes, Norway. NGI Publikasjon 76: 57-64.
- Kjærnsli, B. & Simons, N. 1962: Stability investigations of the North Bank of the Drammen River.
- Larsen, J.O. & Lied, K 1978: Leirskred, Rissa kommune. Bølgedannelse i sjøen Botnen som følge av skredet. NGI Rapport 78028-5.
- Lebuis, J., Robert, J.-M. & Rissmann, P. 1983: Regional mapping of landslide hazard in Québec. Proceedings of Symposium on slopes on soft clays, Linköping, Sweden. SGI Rapport 17: 205-262.
- L'Heureux, J.S. 2012: A study of the retrogressive behaviour and mobility of Norwegian quick clay landslides. I: Eberhardt, E., Froese, C., Turner, K.A. & Leroueil, S., (red.):

Proceedings of the 11th International and 2nd North American Symposium on Landslides and Engineered Slopes, Banff, Canada, 3.-8. Juni 2012. Vol.1: 981-988.

L'Heureux, J.S., Eilertsen, R.S., Hansen, L. & Sletten, K. 2011: Morphology and landslide mapping in lake Botnen at Rissa, Sør Trøndelag. NGU Rapport 2011.037.

L'Heureux, J.S., Eilertsen, R.S., Glimstad, S., Issler, D., Solberg, I.-L. & Harbitz, C.B. 2012: The 1978 quick clay landslide at Rissa, mid-Norway: subaqueous morphology and tsunami simulations. I: Y. Yamada et al. (red.): Submarine Mass Movements and Their Consequences, Advances in Natural and Technological Hazards Research 31, Springer Science+Business Media B.V. DOI 10.1007/978-94-007-2162-3_45.

Locat, A. 2012: Rupture progressive et étalement dans les argiles sensibles. PhD. Thesis. University Laval.

Locat, J. 1992: Viscosity, yield strength, and mudflow mobility for sensitive clays and other fine sediments. Proceedings of the 1st Canadian conference on Geotechnique and Natural Hazards, Vancouver. s. 389-396.

Locat, J., Leroueil, S. & Locat, P. 2003: On the mobility of quick clays: the cases of the St. Jean-Vianney Flowslides of 1663 and 1971. Proceedings of the international Workshop on Occurrence and Mechanisms of flow-like Landslides in Natural Slopes and Earthfills, Sorrento.

Locat, P., Leroueil, S. & Locat, J. 2008: Remaniement et mobilité des débris de glissements de terrain dans les argiles sensibles de l'est du Canada. Proceedings of the 4th Canadian Conference on Geohazards: From Causes to Management. Presse de l'Université Laval, Québec. s. 97-106.

Longva, O., Janbu, N., Blikra, L.H. & Boe R. 2003: The 1996 Finneidfjord slide: seafloor failure and slide dynamics. I: Locat, J. & Mienert, J. (red): Submarine mass movements and their consequences. Kluwer Academic, Dordrecht. S. 531–538.

Longva, O. 1987: Ullensaker 1915 II, Beskrivelse av kvartærgeologisk kart - M 1:50 000. NGU Skrifter 76, 39 s.

Løfaldli, M., Løken, T., Rise, I. & Rokoengen, K. 1981: Kvartærgeologiske undersøkelser av kvikkleireskredet i Rissa ved trondheimsfjorden. IKU Publikasjon 107, 31 s.

Løken, T. 1983: Kvikkleire og skredfare – hvor og hvorfor? Forskningsnytt fra Norges almenvitenskapelige forskningsråd. Årgang 28, nr. 3: 7-12.

Mitchell, R.J. & Markell, A.R. 1974: Flowslides in sensitive soils. Canadian Geotechnical Journal 11:11-31.

Natterøy, A. 2011: Skredkatalog om kvikkleire. Presentasjon av det førebels resultatet i katalogen og utgreiing om typiske kjennetegn ved kvikkleireskred. Prosjektoppgave. Institutt for geologi og bergteknikk, NTNU.

NGU 2011: Nasjonal løsmassedatabase, M 1:50 000 eller bedre. Norges geologiske undersøkelse.

Nordal, S., Alén, C., Emdal, A., Jendeby, L. Lyche, E. & Madshus, C. 2009: Skredet i Kattmarkvegen i Namsos 13. mars 2009. Rapport fra undersøkelsesgruppe satt ned av Samferdselsdepartementet. Institutt for bygg, anlegg og transport, faggruppe for geoteknikk, NTNU

Norges vassdrags- og energidirektorat (NVE) 2009: Retningsliner for planlegging og utbygging i fareområder langs vassdrag. Retningslinjer nr. 1/2008 (rev. 05.03. 2009).

Norges vassdrags- og energidirektorat (NVE) 2012: Kvikkleireskred ved Esp på Byneset i Trondheim. NVE Rapport1-2012. Foreløpig versjon.

Norsk Geoteknisk Forening (NGF) 1974: Retningslinjer for presentasjon av geotekniske undersøkelser. 16 s.

Noteby 1997: Rissa kommune – Utbyggingsområde Strømmen-Årnsetlunden Rissa. Noteby Rapport 57360-1.

Quinn, P.E., Diederichs, M.S., Rowe, R.K. & Hutchison, D.J. 2011: A new model for large landslides in sensitive clay using a fracture mechanics approach. Canadian Geotechnical Journal 48: 1151-1162.

Reite, A.J. 1986: Rissa 1522 II, Kvartærgeologisk kart – M 1:50 000. Norges geologiske undersøkelse.

Reite, A.J., Sveian, H. og Erichsen, E. 1999: Trondheim frå istid til nåtid – landskapshistorie og løsmasser. Gråsteinen 5, NGU. 40 s.

Robitaille, D., Demers, D., Potvin, J. & Pellerin, F. 2002: Mapping of landslide-prone areas in the Saguenay region, Québec, Canada. Proceedings for the International Conference on Instability – Planning and Management, Ventnor, Isle of Wight, Royaume University, 8 s.

Rokoengen, K., Jespersen, M. N., Kleiv, R. A. & Sæterbø, E. 2001: The 1345 slide and flood disaster in the Gauldalen valley, Mid-Norway: a new interpretation. Norwegian Journal of Geography 55: 57-70.

Rolfsen, E. 1966: Selnes-skredet april 1965 i Ytre Namdalens. NGI Publikasjon 68: 3-10.

Rosenqvist, I.T. 1953: Considerations on the sensitivity of Norwegian clays. Geotechnique 3: 195-200.

Rosenqvist, I.T. 1966: The Norwegian Research into the development of quick clay – a review. Engineering Geology 1: 445-450.

Røe, Ø. 1981: Vestlia barnehage. Trondheim kommune Rapport R.0575.

Sand, K. 1996: Strandvegen – Møllenbergs Pumpesatsjon Nedre Elvehavn. Ledningstrace Verftsgata – Nonnegata. Datarapport. Spuntvurdering. Trondheim kommune Rapport R.0883-6.

Sevaldson, R.A. 1956: The slide in Lodalen, October 6th, 1954, Geotechnique 6: 167-182.

Skogholst, T. & Roti, D.I. 2010: Kvikkleireskred Solhov, Lyngen. Grunnundersøkelser RV.868, Datarapport. Multiconsult Rapport 711027-1, 25.11.2010.

Slepnes, A. 1997: RV808-01 – Finneidfjord XE6 – Hemnesberget FK Ras ved Finneidfjord, Supplerende undersøkelser. Rapport nr. Wh-07-07-08. Statens Vegvesen.

Solberg, I.L., Dalsegg, E., L'Heuereux, J.S. Rønning, J.S. 2012: Resistivitetsmålinger for løsmassekartlegging ved skredgrop på Byneset, Sør-Trøndelag. NGU rapport 2012.004.

Sveian, H. 1985: Stiklestad 1722 IV, kvartærgеologisk kart - M 1:50 000. Trondheim. NGU.

Sveian, H. 1991: Kvartærgеologien ved Verdalsraset. Et sammendrag til prosjektet: Verdalsraset, dynamisk geodata simulering og visualisering. NGU Rapport 91.175.

Tavenas, F., Flon, P., Leroueil, S. & Lebuis, J. 1983: Remolding energy and risk of retrogression in sensitive clays. Proceedings fra Symposium on slopes on soft clays, Linköping, Sweden. SGI Rapport 17: 205-262.

Trak B. & Lacasse S. 1996: Soils susceptible to flow slides and associated mechanisms. Proceedings of the Seventh International Symposium on Landslides, Trondheim, Norway, Balkema, Rotterdam. 1: 497-506.

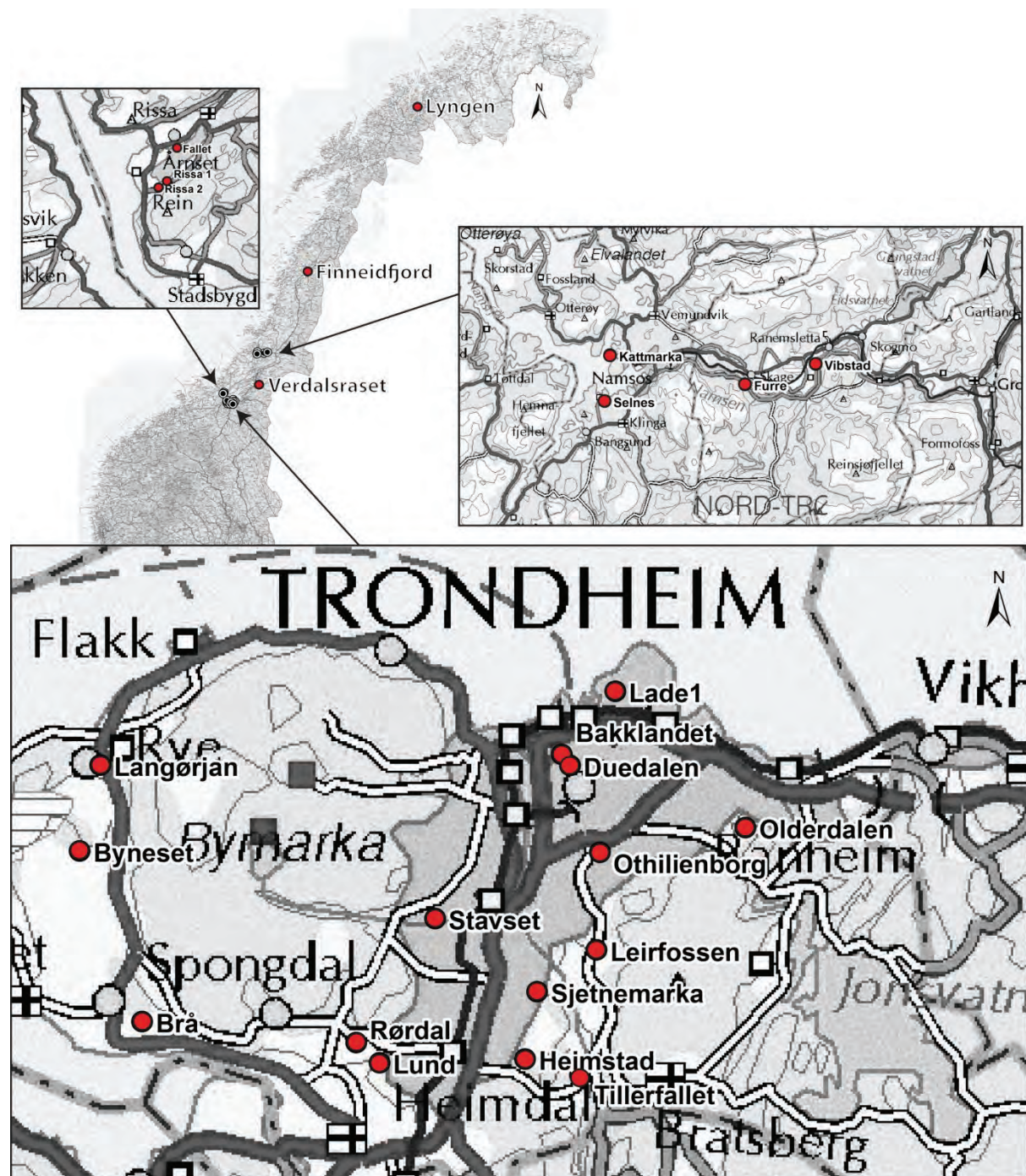
Trondheim kommune 1959: Grunnundersøkelser i Duedalen januar 1958. Rapport R.0049.

Vognild, S. & Furuberg, T. 2003: Tonstad boligområder. Trondheim kommune Rapport R.1207.

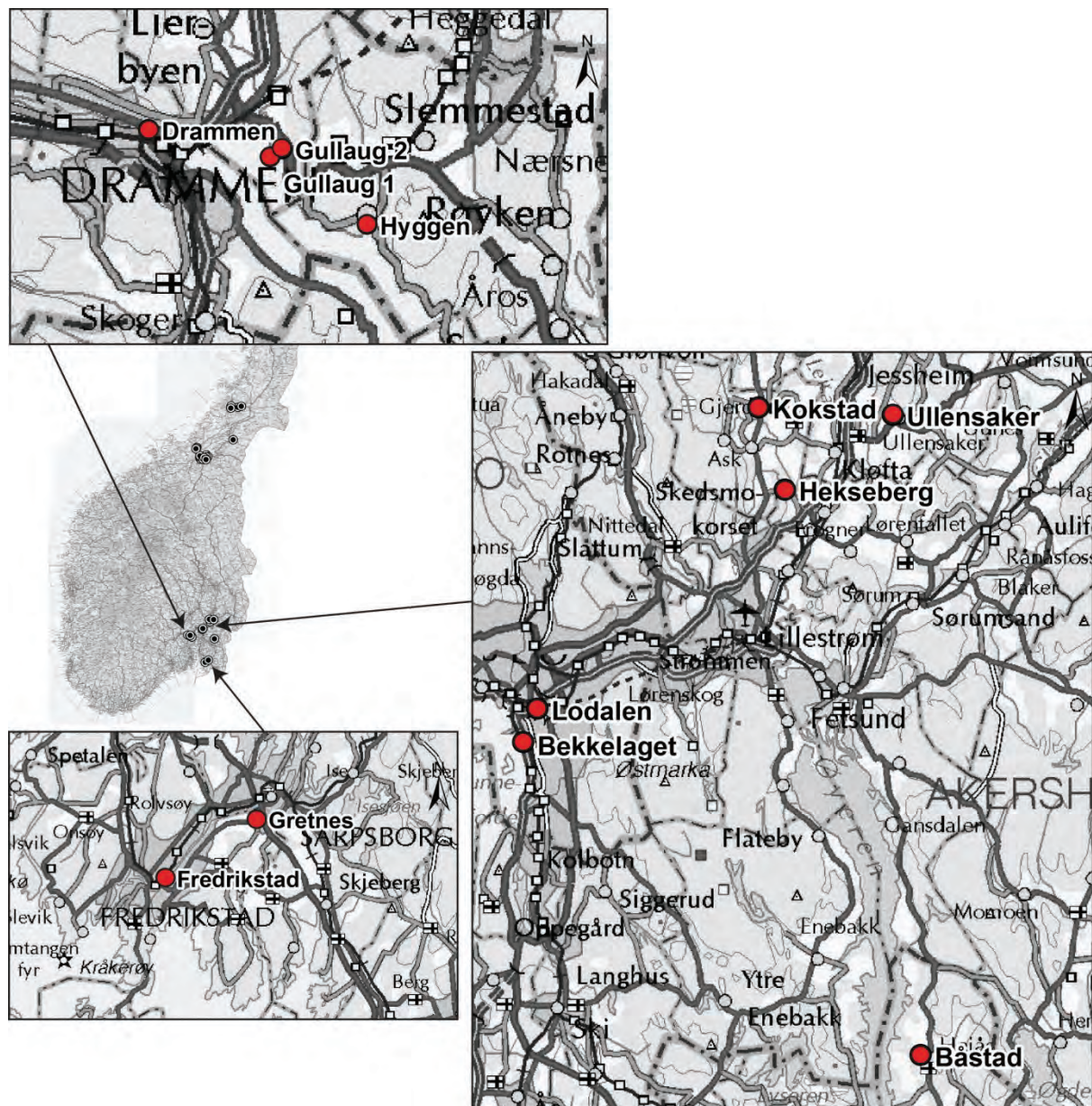
Walberg, Ø. 1993: Verdalsboka. Ras i Verdal, vol A and B. Verdal kommune.

VEDLEGG

VEDLEGG 1 OVERSIKTSKART OVER LOKALITETER FOR SKREDEKSEMPLENE



Oversiktskart over skredlokaliteter i Midt- og Nord-Norge.



Oversiktskart over skredlokaliteter på Østlandet.

VEDLEGG 2 SKREDKATALOG - TABELL

Oversikt over de studerte skredhendelsene, med de ulike parametre som er funnet/bestemt. Se beskrivelse av parametrerne i kap. 5. Koordinatene til lokalitetene er i WGS84 UTM sone 33N.

Tabellen er hovedsaklig fra Natterøy (2011).

Lokalitet	UTM X	UTM Y	Fylke	Kommune	Dato	Om-komne	Løs-masser	Fjell	Areal	Volum	Trend I	Trend R	W_0	W_m	W_{snitt}	L	Dt	L_{CT}	H	H_B	H_1	H_2	h_D	H_g	Type skred	α	β	ΔH	Referanser	
Bakklandet	270802	7041512	Sør-Trøndelag	Trondheim	10.11.1634	3	HF	Ja, i øst	12000	500000		100	70	130	130	75		50		20,0	20	24		10		21,8	1,8	4	Bjerrum & Kjærnsli (1957)	
Bekkelaget	263392	6645822	Oslo	Oslo	07.10.1953	4	HFS	Ja, langs bakkanten i nordøst	16000	100000		245	20	190	160	165	180		16	6,0	10	10		6			0		Eide & Bjerrum (1955)	
Brå	259010	7034005	Sør-Trøndelag	Trondheim	01.05.1928	0	HF	Nei	130000	500000		270				500	200	600	100	60	11,0	76	80	20	11	Flake	37,2	0,8	4	Holmsen (1929); Reite et al. (1999); Furuberg & Vognild (2008)
Byneset	257250	7038800	Sør-Trøndelag	Trondheim	01.01.2012	0	HF	Begravd i nordøst	40000	350000						100	400	1300		30			28	10	10	Flow				NVE (2012); Solberg et al. (2012)
Båstad	290774	6624260	Østfold	Trøgstad	05.12.1974	0	HF	Ja, delvis langs kanten i øst	80000	1500000		35		450	450	175	875		40	15,0		30		21	Flake				Gregersen & Løken (1979)	
Drammen	229914	6632926	Buskerud	Drammen	06.01.1955	0	FM	Nei		4000						50	45	45		13	12,0		12		12					Bjerrum & Kjærnsli (1957); Kjærnsli & Simons (1962)
Duedalen	271034	7041201	Sør-Trøndelag	Trondheim	18.07.1625	20	HF	Ja, grenser delvis i nordøst	63000	500000		110	70	195	195	380		50		10,0	20	45		10			21,8	3,3	25	Furseth (2006); Reite et al. (1999); Trondheim kommune (1959); Sand (1996)
Fallet	250233	7060237	Sør-Trøndelag	Rissa	xx.xx.1997	0	HF	Nei	40000	200000				95	130	130	150	820		40	5,0		18		5				L'Heureux et al. (2011); Noteby (1997)	
Finneidfjord	445779	7340819	Nordland	Hemnes	20.06.1996	4	MF	Ja, langs bakkanten i nordøst		1000000		70	300	450	300	150	850		60	5,0		20		5				Slepnes (1996); Emaus (1996); Longva et al. (2003)		
Fredrikstad	269570	6571052	Østfold	Fredrikstad	17.08.1980	0	HFS	Nei	1250	10000		275		25	25	50	70		8	8,0		7		8	Spread/slump				Karlsrud (1983)	
Furre	343942	7151409	Nord-Trøndelag	Overhalla	14.04.1959	1	HF	Ja	180000	3000000	230	230	300	850	720	400	495	5	22	10,0	10	20		15	Flake	63,4	1,4	10	Hutchinson (1961)	
Gretnes	276931	6575781	Østfold	Fredrikstad	17.04.1925	0	HF	Nei	40000	400000		75	35	220	220	210		50		5,0	12	23		5			13,5	2,4	11	Holmsen (1929)
Gullaug 1	235176	6631751	Buskerud	Lier	29.11.1974		HF	Nei	30000	100000		80	125	225	190	40	470	146	55	5,0	30	30		5			11,6	0,0	0	Hansen et al. (2011); Karlsrud (1979)
Gullaug 2	235678	6632087	Buskerud	Lier	Forhistorisk		HF	Nei	190000	2850000		15	250	420	380	500			60	15,0		23						Hansen et al. (2011)		
Heimstad	269773	7032958	Sør-Trøndelag	Trondheim	Forhistorisk		HF	Nei	70000	900000	30	335				220	370		20	20		13	27				33,0	2,1	14	Reite et al. (1999)
Hekseberg	281416	6663231	Akershus	Sørum	20.03.1967	0	HF	Nei?	31000	200000		180	150	195	150	160	700		40	5,0	20	40		12	Flake				20	Drury (1968)
Hyggen	239356	6628824	Buskerud	Røyken	23.01.1978		MS	Nei	8500	500000				100	125	100	40	300		58	10,0		9		7				Hansen et al. (2011); Karlsrud (1979)	
Kattmarka	328739	7154667	Nord-Trøndelag	Namsos	13.03.2009	0	MS	Ja, langs bakkanten	40000	600000		350	150		80	300	200		22	12,5		20		13					Nordal et al. (2009); Karlsrud et al. (2009)	
Kokstad	279606	6668892	Akershus	Gjerdrum	21.10.1924	1	HF	Ja, i nord og vest	45000	400000		315	120	260	180	180		50	34	20,0	10	25		20	Flake og spread/flow	11,3	3,7	15	Holmsen (1929)	

Løsmassetyper:

HF = Hav- og fjordavsetninger

HFS = Hav-, fjord- og strandavsetninger

MS = Marine strandavsetninger

FM = Fyllmasser

Tabellen er hovedsaklig fra Natterøy (2011).

Lokalitet	UTM X	UTM Y	Fylke	Kommune	Dato	Om-komme	Løs-masser	Fjell	Areal	Volum	Trend I	Trend R	W ₀	W _m	W _{snett}	L	Dt	L _{CT}	H	H _B	H ₁	H ₂	h _D	Hg	Type skred	α	β	ΔH	Referanser	
Lade 1	272311	7043288	Sør-Trøndelag	Trondheim	11.04.1944	4	HF	Ja, i nord	20000	50000	230	30	150	210	210	25	120	60	12	6,0	17	18	5	6	Slump	15,8	0,7	1	Holmsen & Holmsen (1946); Reite et al. (1999); Gunleiksrud (1970)	
Langørjan	257825	7041212	Sør-Trøndelag	Trondheim	Forhistorisk		HF	Nei	540000	11000000		185	140	1000	1000	500		330		15,0	40	40		15		6,9	0,0	0	Holmsen (1929); Reite et al. (1999)	
Leirfossen	271783	7036019	Sør-Trøndelag	Trondheim	Forhistorisk		HF	Ja, langs kanten øst	3000000	75000000	50	20		2000	1200	3500				25		80								Reite et al. (1999)
Lodalen	264360	6648120	Oslo	Oslo	06.10.1954	0	HF	Nei	2000	10000			50	50	40	40		18	5,0	16	18	5	10					2	Sevaldson (1956)	
Lund	265680	7032848	Sør-Trøndelag	Trondheim	Forhistorisk		HF	Nei	460000	4600000		80			500	1050					70									Reite et al. (1999)
Lyngseidet	703230	7725328	Troms	Lyngen	03.09.2010	0	MS	Nei?	22000	220000					120	160	600		47	9,0		27		7						Skoghol & Roti (2010)
Olderdalen	275966	7039457	Sør-Trøndelag	Trondheim	Forhistorisk		HF	Ja, langs kanten i sørøst	600000	25000000		230	400	600	450	1600		200	>100	35,0		80		40						Reite et al. (1999); Furuberg & Andersen (2011)
Othilienborg	271873	7038763	Sør-Trøndelag	Trondheim	3500 BP		HF	Ja, i sørøst	2330000	70000000		110	810	1300	1000	1700		500		35,0	80	125		35		9,1	1,2	45	Reite et al. (1999); Røe (1981)	
Rissa 1	249566	7057735	Sør-Trøndelag	Rissa	29.04.1978	0	HF	Ja, i øst	30000	150000	310	220	20	80	80	450				6,0		10		10	Flake og spred/flow				Gregersen (1981); Larsen & Lied (1978); L'Heureux et al. (2011, 2012); Løfaldli et al. (1981); Reite (1986)	
Rissa 2	248899	7057302	Sør-Trøndelag	Rissa	29.04.1978	1	HF	Ja, i øst	330000	5000000		220	150	500	400	1400	2200	50	56	6,0	10	37	7	20	Flake and flow	11,3	1,1	27		
Rørdal	265024	7033420	Sør-Trøndelag	Trondheim			HF	Ja	270000	3300000		90			270	890		140		48	68					18,9	1,1	20	Reite et al. (1999)	
Selnes	328134	7149511	Nord-Trøndelag	Namsos	18.04.1965	0	HF	Ja, langs bakkanten i sørvest	18000	140000	30	265			166	215	450	45	20	10,0	13	13		10	Spread/flow	16,1	0,0	0	Kenney (1967); Rolfsen (1966)	
Sjetnemarka	270109	7034849	Sør-Trøndelag	Trondheim	Forhistorisk		HF	Nei	910000	30000000		235			1100	1050				35,0		52		40					Reite et al. (1999); Vognild & Furuberg (2003)	
Stavset	267243	7036904	Sør-Trøndelag	Trondheim	Forhistorisk		HF	Ja, i vest	29000	800000		350	80	230	200	125		30	30	10,0	10	32				18,4	8,1	22	Reite et al. (1999)	
Tillerfallet	271321	7032500	Sør-Trøndelag	Trondheim	07.03.1816	15	HF	Nei	290000	550000		210	290	610	610	350		120		20,0	40	50		20		18,4	1,2	10	Fremstad & Thingstad (2007); Furseth (2006); Reite et al. (1999); Hove (1973); Furuberg & Vognild (2004)	
Ullensaker	288848	6668388	Akershus	Ullensaker	23.12.1953	1	HF	Nei	20000	200000		295	40	180	180	195	1700	35		4,0	7	14		7	Spread/flow	11,3	1,7	7	Bjerrum (1955, 1971); Jørstad (1968); Longva (1987);	
Verdalsraset	333503	7077845	Nord-Trøndelag	Verdal	19.05.1893	116	HF	Ja, i nordøst	3100000	65000000	180	40	400	2000	1000	2000	5000	70		40,0	35	85	5	30	Flow	26,6	1,4	50	Furseth (2006); Helland (1909); Sveian (1985, 1991); Trak & Lacasse (1996); Walberg (1993)	
Vibstad	351883	7153678	Nord-Trøndelag	Overhalla	22.02.1959		HF	Nei	70000	1400000		55		370	325	250	500		20	12,0		25	10	20						Hutchinson (1965)

Løsmassetyper: HF = Hav- og fjordavsetninger

HFS = Hav-, fjord- og strandavsetninger

MS = Marine strandavsetninger

FM = Fyllmasser

VEDLEGG 3 BESKRIVELSE AV SKREDENE

33 av skredhendelsene ble beskrevet i en prosjektoppgave ved NTNU (markert med "X" i tabellen på neste side) (Natterøy 2011). Skredgropene er tegnet detaljert inn ved hjelp av GIS (ArcMap). De følgende sidene er i hovedsak direkte utdrag fra prosjektoppgaven.

Data og metoder er beskrevet i kap. 5. I tillegg opplyses det om at:

- Skredkanten (rød linje) er georeferert med koordinater gitt i UTM 33N.
- Rød stiplet linje viser hvor skredkant er estimert (i tilfeller der skredkanten er usikker på grunn av bakkeplanering o.l.)
- Undersjøiske skredgropene er ikke tegnet inn ved hjelp av GIS, men er vist ved batymetriske kart eller andre figurer.
- Datakvalitet er vurdert under arbeidet, ut fra hvor pålitelig den registrerte skredinformasjonen antas å være: 1 – god, 2 – middels, 3 – dårlig. Kategori 1 representerer godt dokumenterte skred slik som Rissaraset. Kategori 3 omhandler udokumenterte skredhendelser eller skred med utvist skredkant.

Liste over skredhendelsene som er med i dette studiet. Hendelsene som er markert med "X" i tabellen var med i en prosjektoppgave ved NTNU (Natterøy 2011), og beskrivelsene av disse er tatt med i det følgende.

Lokalitet		Referanse
Bekkelaget	X	Eide & Bjerrum (1955)
Brå	X	Holmsen (1929); Reite et al. (1999); Furuberg & Vognild (2008)
Byneset		NVE (2012); Solberg et al. (2012)
Båstad	X	Gregersen & Løken (1979)
Drammen		Bjerrum & Kjærnsli (1957); Kjærnsli & Simons (1962)
Duedalen og Bakklandet	X	Furseth (2006); Reite et al. (1999); Trondheim kommune (1959); Sand (1996); Bjerrum & Kjærnsli (1957)
Fallet	X	L'Heureux et al. (2011); Noteby (1997)
Finneidfjord		Slepnes (1996); Emaus (1996); Longva et al. (2003)
Fredrikstad	X	Karlsrud (1983)
Furre	X	Hutchinson (1961)
Gretnes	X	Holmsen (1929)
Gullaug 1	X	Hansen et al. (2011); Karlsrud (1979)
Gullaug 2	X	Hansen et al. (2011)
Heimstad	X	Reite et al. (1999)
Hekseberg	X	Drury (1968)
Hyggen	X	Hansen et al. (2011); Karlsrud (1979)
Kattmarka	X	Nordal et al. (2009); Karlsrud et al. (2009)
Kokstad	X	Holmsen (1929)
Lade	X	Holmsen & Holmsen (1946); Reite et al. (1999); Gunleiksrud (1970)
Langørjan	X	Holmsen (1929); Reite et al. (1999)
Leirfossen	X	Reite et al. (1999)
Lodalen		Sevaldson (1956)
Lund	X	Reite et al. (1999)
Lyngseidet		Skoghol & Roti (2010)
Olderdalen	X	Reite et al. (1999); Furuberg & Andersen (2011)
Othilienborg	X	Reite et al. (1999); Røe (1981)
Rissa 1 og Rissa 2	X	Gregersen (1981); Larsen & Lied (1978); L'Heureux et al. (2011, 2012); Løfaldli et al. (1981); Reite (1986)
Rørdal	X	Reite et al. (1999)
Selnes	X	Kenney (1967); Rolfsen (1966)
Sjetnemarka	X	Reite et al. (1999); Vognild & Furuberg (2003)
Stavset	X	Reite et al. (1999)
Tillerfallet	X	Fremstad & Thingstad (2007); Furseth (2006); Reite et al. (1999); Hove (1973); Furuberg & Vognild (2004)
Ullensaker	X	Bjerrum (1955, 1971); Jørstad (1968); Longva (1987);
Verdalsraset	X	Furseth (2006); Helland (1909); Sveian (1985, 1991); Trak & Lacasse (1996); Walberg (1993)
Vibstad	X	Hutchinson (1965)

Bekkelaget	
Fylke: Oslo	Data kvalitet: 1
Kommune: Oslo	Skrednett ID: 33207
Dato: 07.10.1953	Koordinatar (UTM33N)
Omkomne: 4	X: 263392 Y: 6645822
Lausmassar: Hav-, fjord- og strandavsetninger	Fjell: Ja, langs bakkanten i nordaust
Skredtype: Flake	Areal (m ²): 16 000 Volum (m ³): 100 000

Info:

Skredet gjekk kl.07.37 om morgonen og jernbanesporet og deler av Mossevegen vart øydelagt. Vitne fortel at heile område bevegde seg på ein gang og at hendinga varte i 15-20 s. Skredmassane bestod delvis av sand, tørrskorpe og veldig mjuk, ekstra kvikk leire (Eide & Bjerrum, 1955).

Den bratte skrenten som går i SØ-NV, er del av hovudforkastningsystemet i Oslo. Forkastninga skil Ekebergplatået frå låglandet langs fjorden. Det vart avsett store mengder marin leire på dette låglandet fram til område blei fastland for ca. 2000 år sidan (Eide & Bjerrum, 1955).

Både Mossevegen og jernbanen ligg på fyllmassar. Då jernbanen vart utvida til to spor i 1920 blei det bygd ein 3,5 m høg støttemur på innsida av vegen kor jernbanelinja blei konstruert. På begge sider av skredet stod støtteveggen på fjell, men over ein distanse på 90 m var den plassert rett på fyllinga til vegen. I 1949 vart det lagt ut nye fyllmasser fordi gamle Mosseveg skulle utbetrast. I 1953 vart 1000 m³ fyllmassar lagt ut i forbindelse med ein midlertidig veg og dette arbeidet blei utført frå september og fram til skredet gjekk (Eide & Bjerrum, 1955).

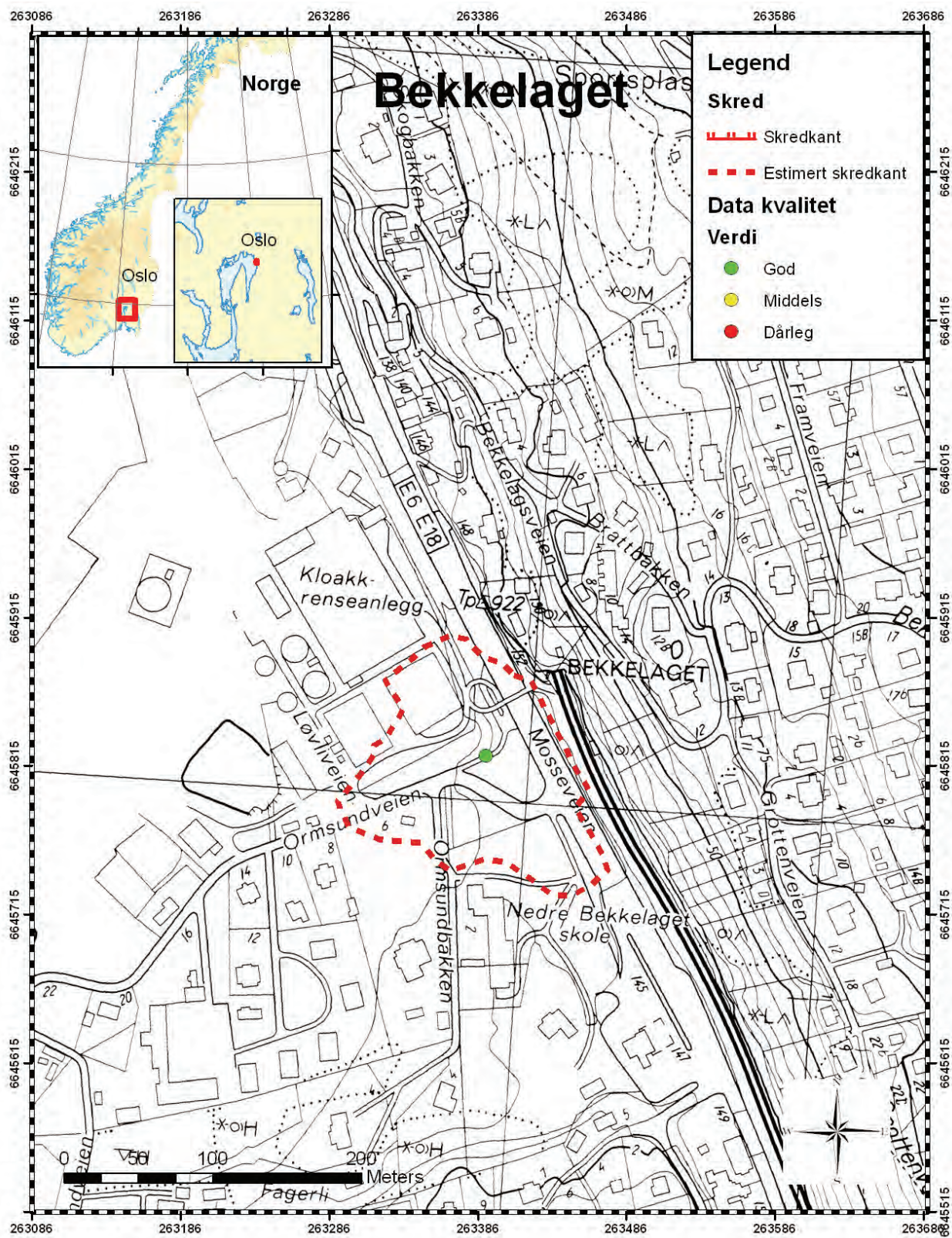
Den øvre dela av skredgropa vart skubba 10 m utover og sank ned 7 m, slik at fjell vart eksponert fleire stader. Hus som stod på den midtarste delen kom nesten uskadd frå hendinga. Ved Ormebakken oppstod det ein stor sprekk (8 m) og flytande kvikkleire rant ut over overflata. I 1948 vart det lagd ned ein rørleidning langs sørleg kant. Dette skapte eit svakare lag og når skredet gjekk fekk spenningane utløp langs dette svake laget. 2 m høge jordhaugar vart danna i kompresjonssona. Skildringa er henta frå Eide & Bjerrum (1955) og meir informasjon finnes der.

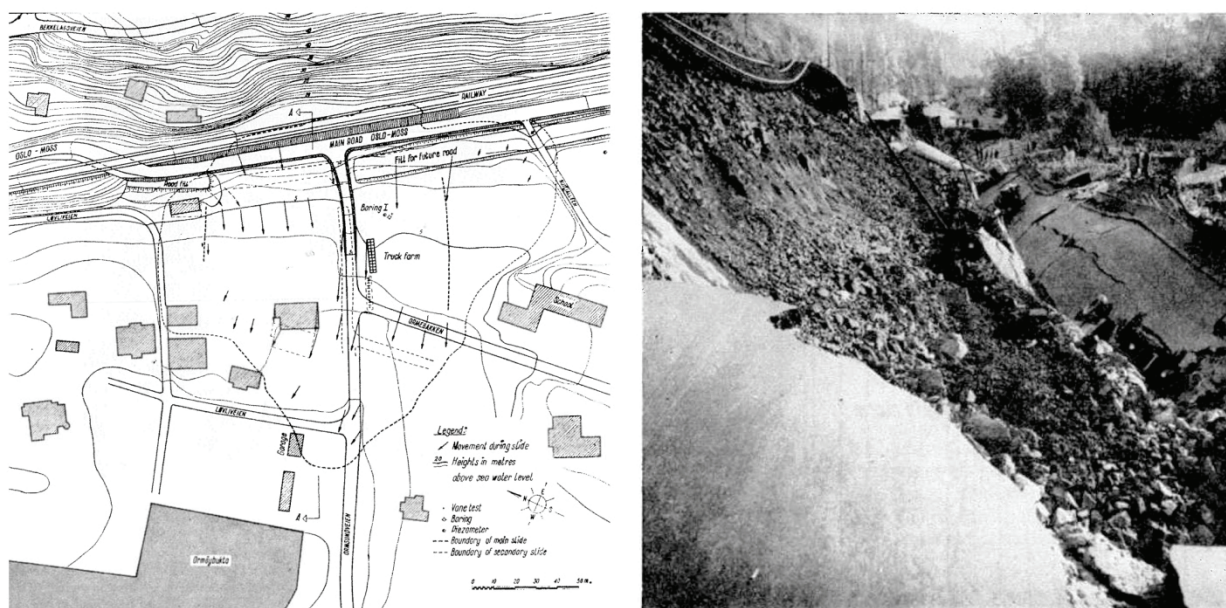
Stabilitetsanalyser viser at den labile situasjonen hadde eksistert sidan 1920. Konklusjonen vert dermed at det var dei store fyllmassane lagt i forbindelse med opphavleg bygging av Mossevegen og utbygginga av jernbanen, var hovudårsaka til skredet. Den oppknuste sona i forkastninga er antatt å ha ført vatn og dermed vaska ut saltion i leira.

Kommentar:

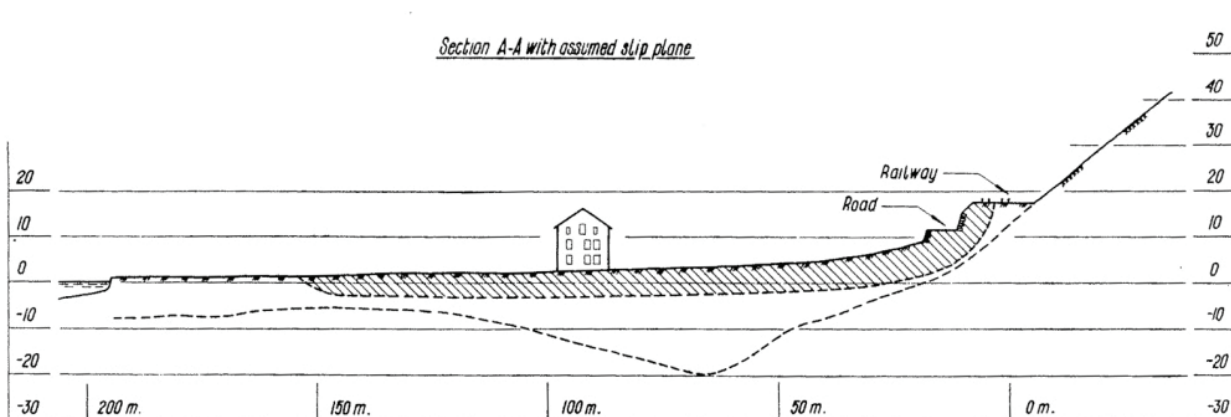
Det var ikkje høgdedata tilgjengeleg, slik at den innteikna skredkanten derfor er estimert og basert på rasterdata.

Reparasjon av vegen førte til at spora etter skredet forsvann. Kun litt av glideplanet langs fjellet er i dag synleg. Den innteikna skredkanten er konstruert etter skissa til Eide & Bjerrum (1955). Bygningar som stod i område då skredet skjedde og som framleis er der, var til hjelp når den eksakte skredgropa blei forsøkt funnet. Målingar i ArcMap er samanlikna med resultata frå Eide & Bjerrum (1955). Skredforma, "W₀", "W_m" og "R" er lik, men arealet er 2000 m² større i ArcMap. Det anbefales derfor at målingar direkte på den innteikna figuren må utførast med varsemd.





Section A-A with assumed slip plane



Section A-A with results of vane tests

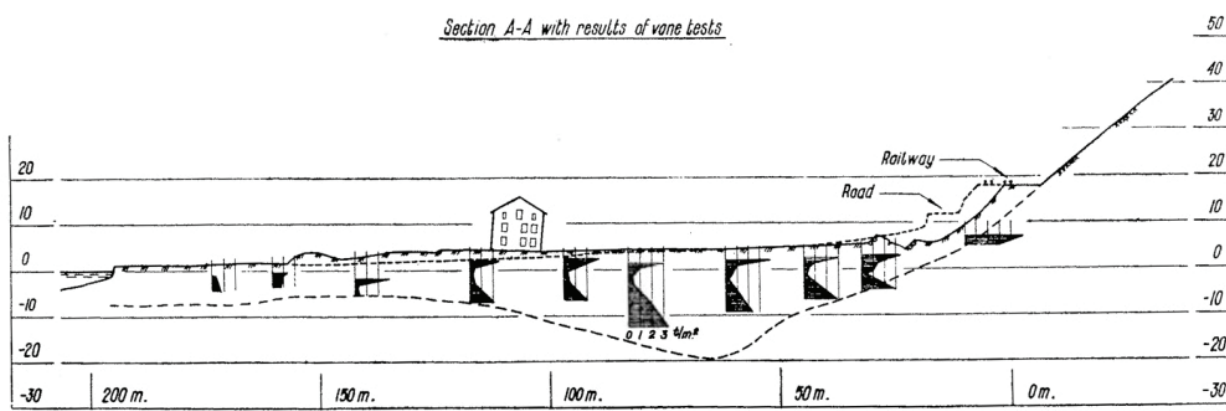


Fig. 1. Kart, foto og profil etter Eide & Bjerrum (1955). Fotoet er tatt mot sør den 7.oktober, 1953.

Brå	
Fylke: Sør-Trøndelag	Data kvalitet: 1
Kommune: Trondheim	Skrednett ID: 36135
Dato: april - mai 1928	Koordinatar (UTM33N)
Omkomne: 0	X: 259010 Y: 7034005
Lausmassar: Hav- og fjordavsetninger	Fjell: Nei
Skredtype: Flow	Areal (m ²): 130 000 Volum (m ³): 500 000

Kommentar:

Det har gått fleire leirskred på dette geografiske område. Skred er registrert både i 1848, 1858, 1865 og 1931. Sjå Skrednett ID nr. høvesvis 16034, 16037, 16045 og 16103 for informasjon om desse skreda.

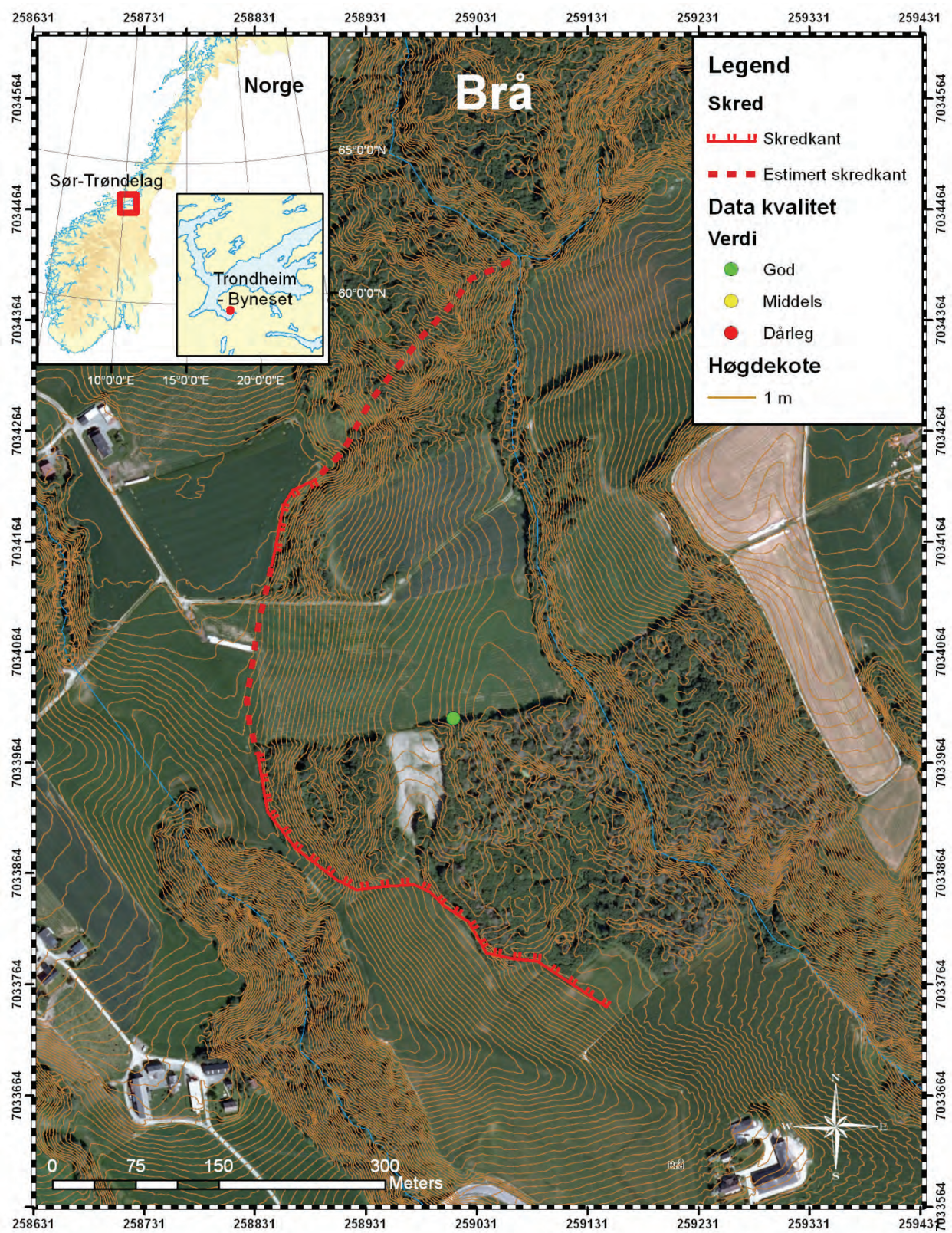
Skredet i 1928 gjekk i 3 omgangar. Det første den 24.april (60-70 mål), deretter 1.mai som også var størst (varigheit 1,5 t) og 16.mai (nokre få mål). Skredet skilte seg fra dei førre med at det i all hovudsak bestod av tørr leire som raste i store flak. Flytande leire blei ikkje observert.

Område er nytta til jordbruk og spor er derfor viska ut. Austre dalsidekant er brukt som overslag for å representer opphavleg skråning. Holmsen (1929) meldte at H_B var 8-15 m, der 13 m synes å representer heile området godt.

Terrasseflata ligg ca. 100 moh. og opphavleg dalbotn ca. 80 m lågare enn terrasseflata. Dette gjev H_2 lik 80 m. Skredmassane var tynnast nedst i dalen (8-10 m) og lengre oppe ca. 15-20 m. > 20 m var registrert lokalt enkelte stadar. Fordi skredmassane glei over til austre dalside og oppover dalsida, ligg bekken i dag 20 m høgare enn før skredet gjekk. Jordmassar vart skubba ca. 300 m nedover dalen frå skredkanten (Holmsen, 1929).

Arealet er funnet i ArcMap og dette samsvarar med areal funnet på kartet i figur 1. Furseth skriv på skrednett (ID 36135) at arealet er 200 000 m², men dette er for stort(!) og i følgje Holmsen (1929) angjev dette både skredområdet og området som skredmassane dekka. Det registrerte volumet er henta frå skrednett.

Elva som rann ved skråningsfoten har nok vore med på å redusere stabiliteten og kan derfor sjåast på som ein medverkande årsak. Det er også registrert artesisk grunnvatn i området (Holmsen, 1929).



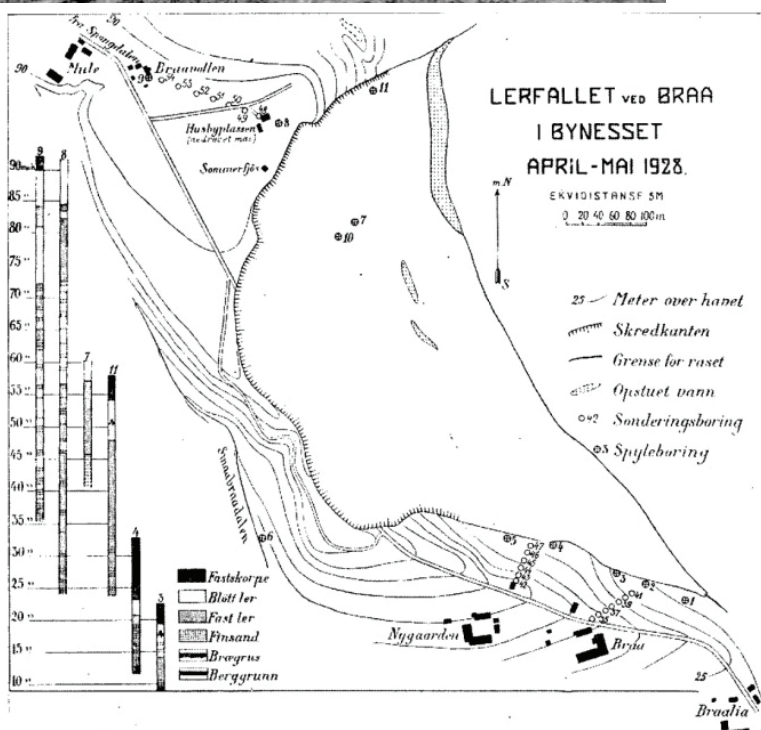


Fig. 1.
 Øvst: Skredmasser, store leirblokker, nedanfor skredet ved Brå, foto G. Holmsen juni 1928.
 Midten: Terrasseforma leirflak som har sokke ned og som støtter skredkanten framfor Husbyplassen, foto G. Holmsen juni 1928.
 Nedst: Kart over Gjerdrum og skredgropa i Kokstad, som viser omfanget av kvikkleireskredet (Holmsen 1929).

Båstad

Fylke: Østfold	Data kvalitet: 1
Kommune: Trøgstad	Skrednett ID: 33113
Dato: 05.12.1974	Koordinatar (UTM33N)
Omkomne: 0	X: 290774 Y: 6624260
Lausmassar: Hav- og fjordavsetninger	Fjell: Ja, delvis langs kanten i aust
Skredtype: Spread	Areal (m ²): 80 000 Volum (m ³): 1 500 000

Kommentar:

Skredgropa er registrert i NGU (2011), men skredkanten var dårlig slik at den inntekna skredkanten er basert på kartet i figur 1. Alle parametrar er funne i rapporten til Gregersen & Løken (1979).

Elveerosjon førte til auka skjærspenning, og utvasking førte til reduserte styrkeeigenskapar. Det er likevel antatt at den svært våte hausten og jordarbeid var utløysande årsak til at skredet gjekk (Gregersen & Løken (1979)).

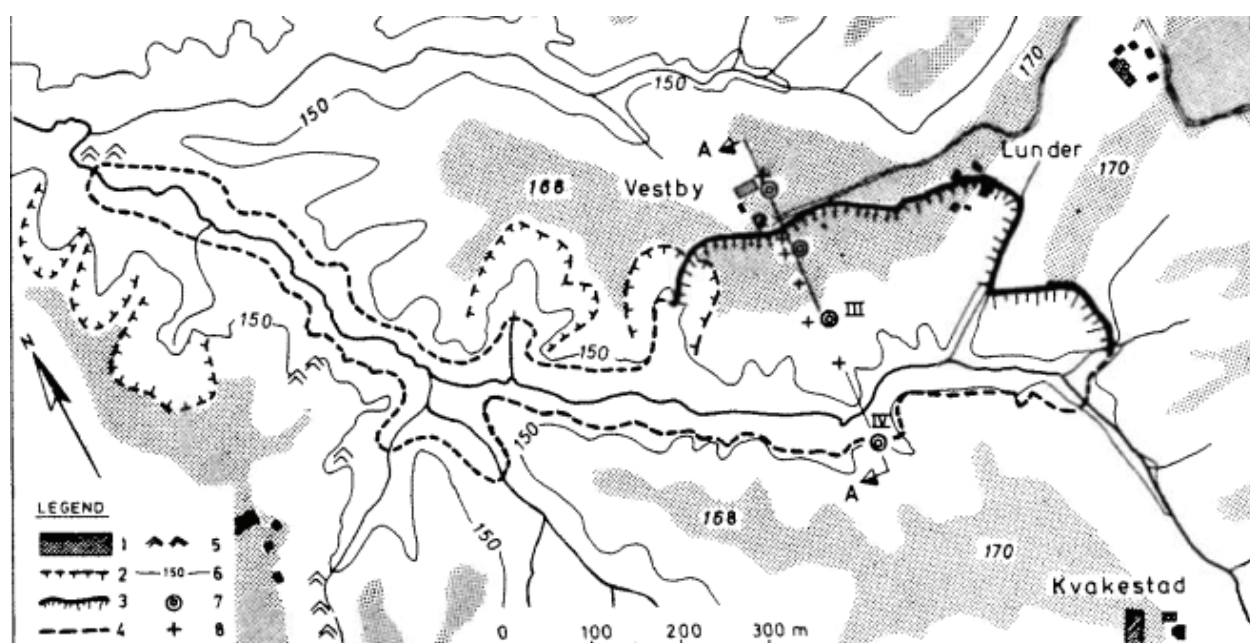
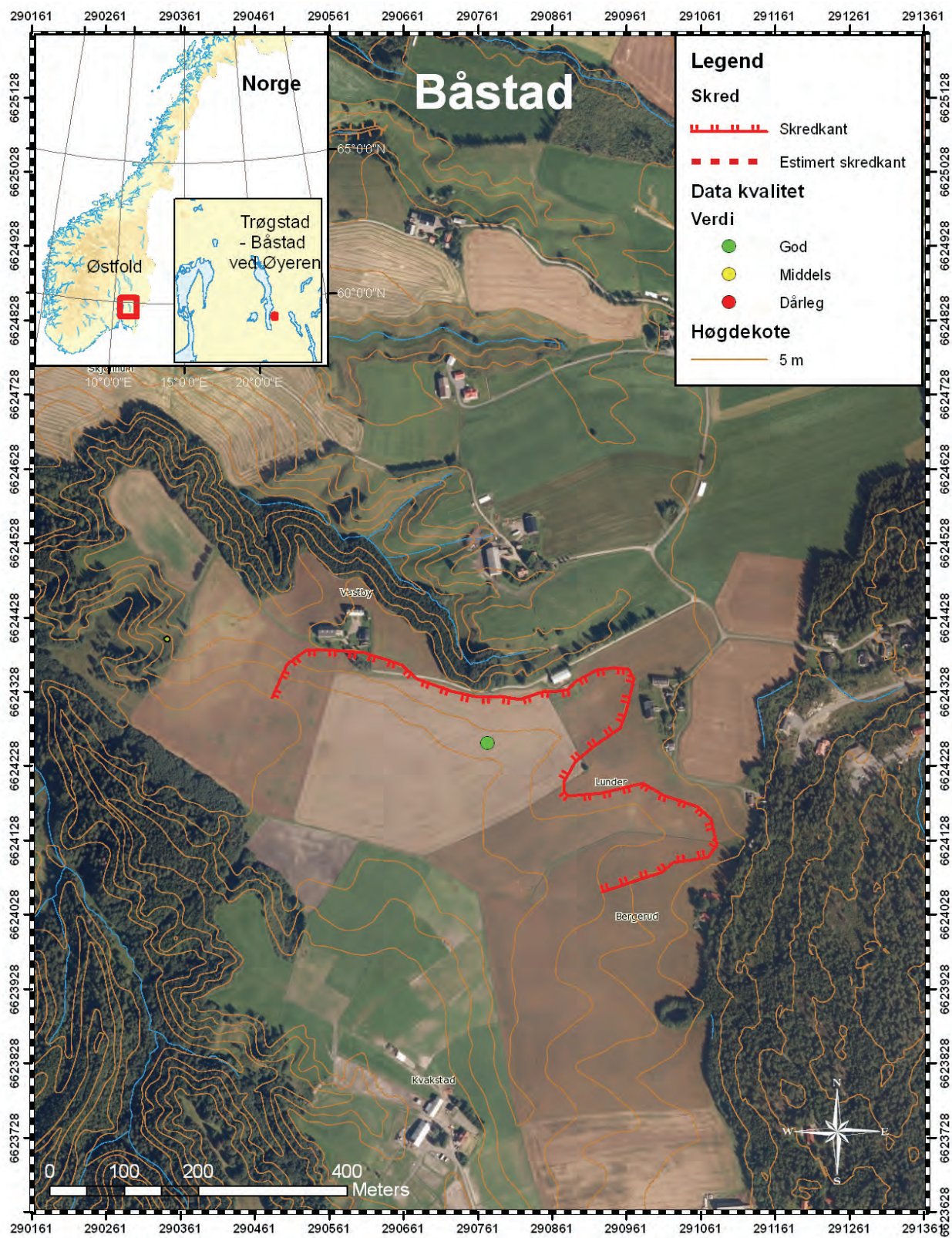


Fig. 1. Kart over skredet på Båstad (Gregersen & Løken 1979).



Fig. 2. Bilete av skredgropa (Gregersen & Løken 1979).



Duedalen

Fylke: Sør-Trøndelag	Data kvalitet: 2
Kommune: Trondheim	Skrednett ID: 36092
Dato: 18.07.1625	Koordinatar (UTM33N)
Omkomne: 20	X: 271034 Y: 7041201
Lausmassar: Hav- og fjordavsetninger	Fjell: Ja, grenser delvis i nordaust
Skredtype: Flow	Areal (m ²): 63 000 Volum (m ³): 500 000

Bakklandet

Fylke: Sør-Trøndelag	Data kvalitet: 2
Kommune: Trondheim	Skrednett ID: 36093
Dato: 10.11.1634	Koordinatar (UTM33N)
Omkomne: 3	X: 270802 Y: 7041512
Lausmassar: Hav- og fjordavsetninger	Fjell: Ja, i aust
Skredtype: Flow	Areal (m ²): 12 000 Volum (m ³): 500 000

Info:

Skredet i Duedalen er den tredje største leirskredulykka i Noreg. Skredmassane glei ut frå Kristiansten mot Nidelva og midtbyen i vest. Nidelva vart demma opp ein kort periode, før elva brøyt gjennom og frakta bort skredmassane. I eit kort tidsrom var det mogleg å gå tørrskodd frå Bakklandet til midtbyen (Furseth, 2006).

Det finnes lite informasjon om skredet, og om det var sjølve skredet eller oppdemminga som førte til størst skade. Skredgropa er framleis godt synleg nedanfor Kristiansten festning. (Reite, Sveian, & Erichsen, 1999)

Moglege årsaker til skreda er elveerosjon i skråninga. Det finnes spor i terrenget som vitnar om at elva tidlegare rant inntil skråningsfoten. Det resterande kanten i nord er det dokumentert marine mektigheitar > 35 m. Leira er framleis kvikk i dette område.

Mogleg etterskred på Bakklandet

På Bakklandet, noko nord for gamle Bybro, ikkje langt frå skredet i Duedalen, gjekk det eit skred i 1634, som truleg er eit etterskred etter hendinga i Duedalen (Skrednett ID 36093). Skredgropa på Bakklandet ligg lengst nord og er mindre enn skredgropa til Duedalen. Det finnes lite opplysningar.

Kommentar:

Skredkantane er basert på dagens terregng mha. "FKB høgdekurver 1m". Det finnes lite spor etter skredmassane, fordi desse blei truleg frakta vekk av Nidelva.

Duedalen

H_B er eit snitt av målingar utført innerst på skredkanten i aust og er funnet mha. "FKB høgdekurver 1m". Skråninga i nord, nordom etterskredet, vert nytta til å beregne nødvendige parametrar. Crest er antatt å ligge omtrent ved 27 moh. Retninga til "R" er definerte til å representere lengderetninga til skredgropa. Volumet er estimert av Kåre Sand (Skrednett ID 36092).

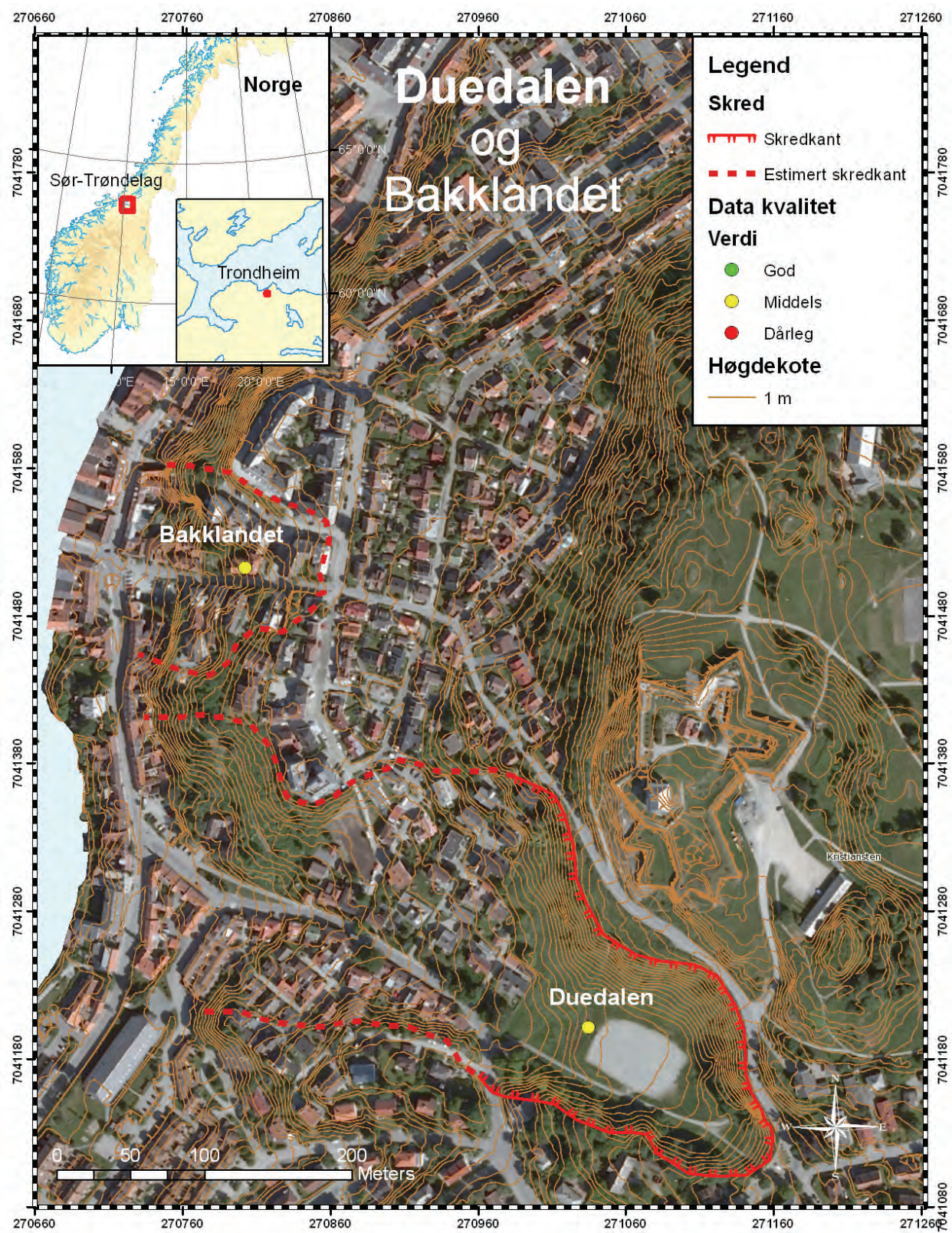
Målingar av ” W_0 ” og ” W_m ” gjev informasjon av middels nytte pga. skredgropa sin spesielle, avlange form, tydeleg styrt av fjellkontakten i nordaust. ” W_0 ” er målt på det breiaste punktet innerst i skredgropa i aust og ” W_m ” er målt ytterst i skredgropa.

”L” er minst 800 m + retrogresjon, fordi ein kunne gå tørrskodd frå Baklandet og til midtbyen i Trondheim (Furseth, 2006). Fordi dette kun fortel om minimum L, vart det ikkje registrert nokon verdi for ”L”.

Bakklandet

Elva har også her gjort område ustabilt. Baklandet er antatt å vera eit etterskred etter skredet i Duedalen, så skredet i Duedalen redusert også stabiliteten (Skrednett ID 36093).

Nærliggjande terrenget i nord representerer opphavleg overflate godt, slik at registrerte verdiar er av middels god kvalitet, sjølv om ikkje skredgropa blei kartlagd straks skreda gjekk.

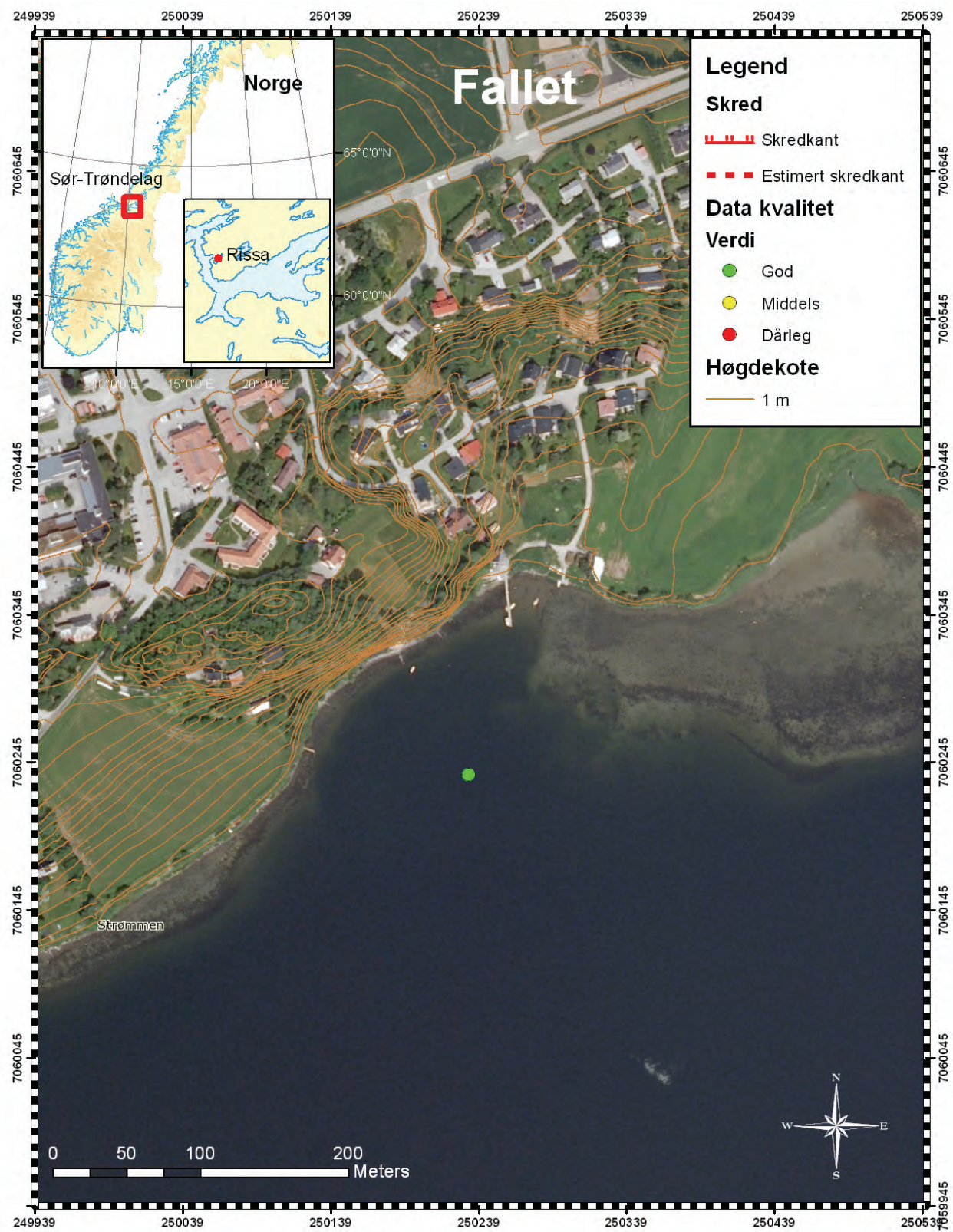


Fallet	
Fylke: Sør-Trøndelag	Data kvalitet: 1
Kommune: Rissa	Skrednett ID: ingen
Dato: 1997	Koordinatar (UTM33N)
Omkomne: 0	X: 250233 Y: 7060237
Lausmassar: Hav- og fjordavsetninger	Fjell: Nei
Skredtype: Flake and flow	Areal (m ²): 40 000 Volum (m ³): 200 000

Kommentar:

Fallet er eit undersjøisk skred med typisk pæreforma skredgrop. Skredet forplanta seg inn mot land og stoppa 20-60 m frå strandlinja kor ein markant bakkant (figur 1) er lett observerbar. Lausmassane over berggrunnen utanfor strandlinja er leire/silt, og ved hjelp av refleksjonsseismikk har ein funnet fleire intervall med skredmasser i desse lausmassane.

På sjøbotnen utanfor Fallet går det ein trykkluftleidning, sjå figur 1, og det var dykkarar som skulle reparere leidningen som først oppdaga forandringa på sjøbotnen. I tida før skredet piplet det opp luftbobler i sjøen, truleg frå den øydelagde trykkluftleidningen, fordi denne kryssar skredkanten akkurat der ein trur initialskredet gjekk. Det er derfor rimeleg grunn til å anta at den øydelagde leidningen var den utløysande årsaka til skredet.



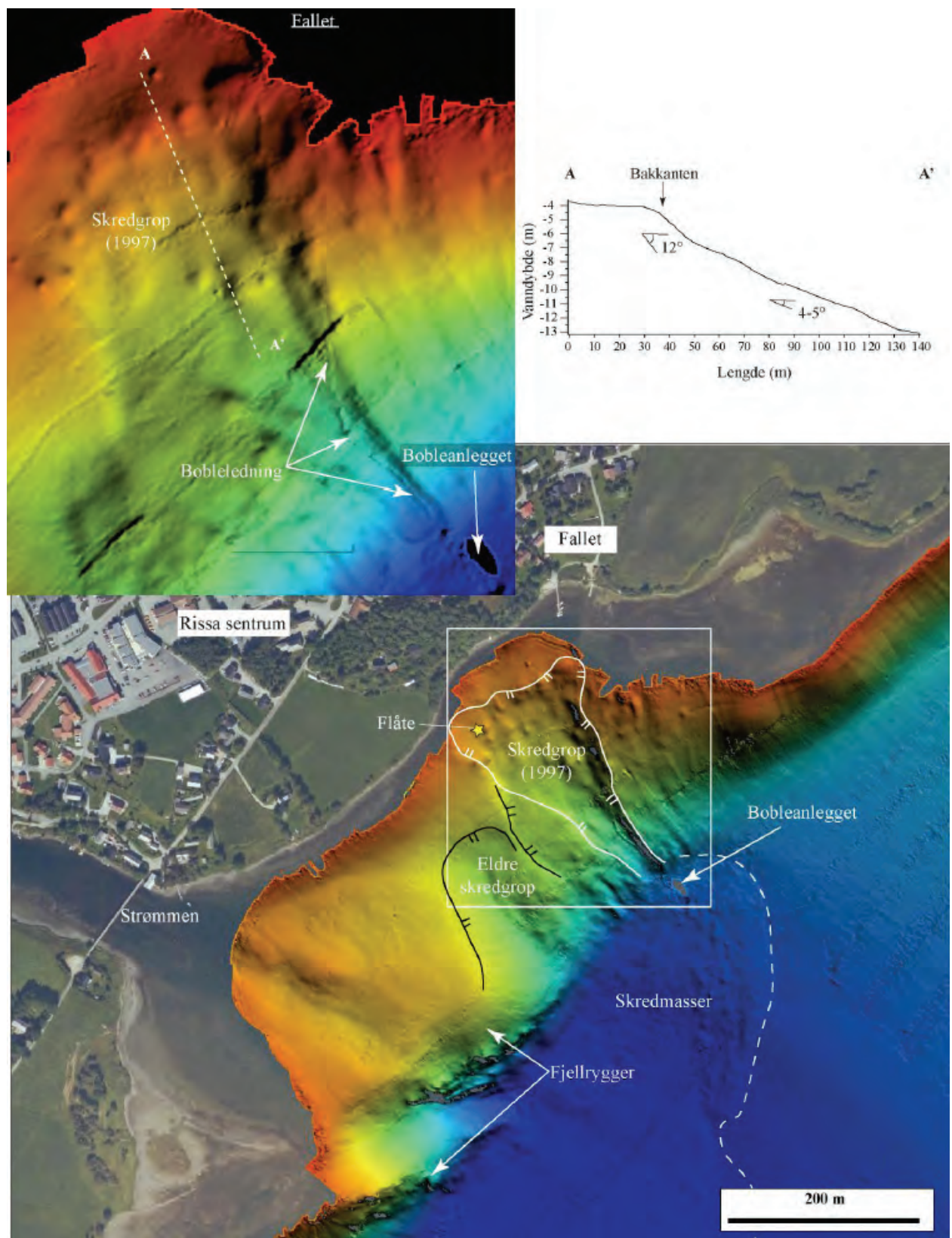


Fig. 1. "Skredgrop (1997)" viser plasseringen til skredet ved Fallet (L'Heureux et al. 2011).

Fredrikstad	
Fylke: Østfold	Data kvalitet: 1
Kommune: Fredrikstad	Skrednett ID: 33116
Dato: 17.08.1980	Koordinatar (UTM33N)
Omkomne: 0	X: 269570 Y: 6571052
Lausmassar: Hav-, fjord- og strandavsetninger	Fjell:
Skredtype: Spread	Areal (m ²): 1 250 Volum (m ³): 10 000

Kommentar:

Åtte familiær vart evakuert før skredet gjekk og ingen bustadhus vart øydelagt, sjølv om fleire hus vart ståande nær skredkanten.

Sikring blei utført umiddelbart etter skredet gjekk og øydeløste alle spor etter skredet. Området blei sikra med kalk- og støttepalører, og deretter blei fyllmasser lagt ut til opphavleg nivå. Dette redda husa som stod på kanten, slik at ein kunne flytte tilbake. Skredkanten i ArcMap er funne mha. figur 1, men nøyaktigheita er ikkje god.. Rapporten frå Karlsrud (1983) gjev gode og nøyaktige opplysningar, slik at datakvaliteten er vurdert til god, sjølv om den innteknna figuren er dårlig. Målingar bør ikkje utførast på figuren i ArcMap.

Den utløysande årsaka er antatt å ha vært utleggning av 800 m³ fyllmasse ifbm. etablering av eit hageområde.

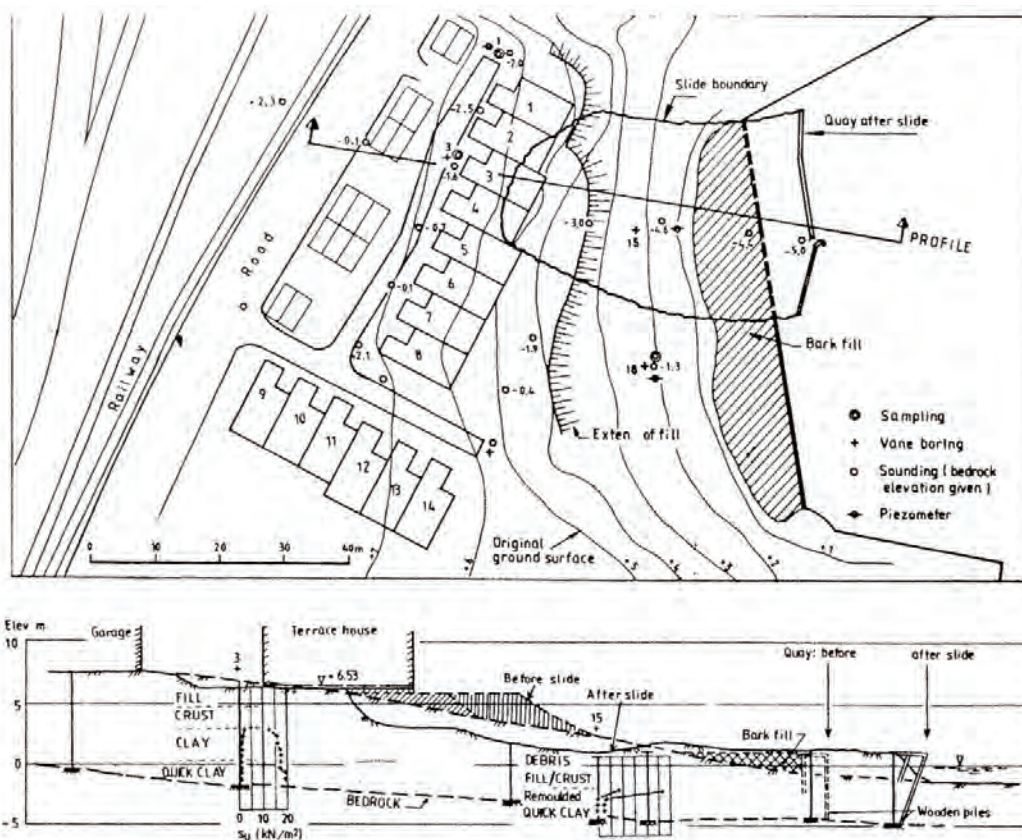
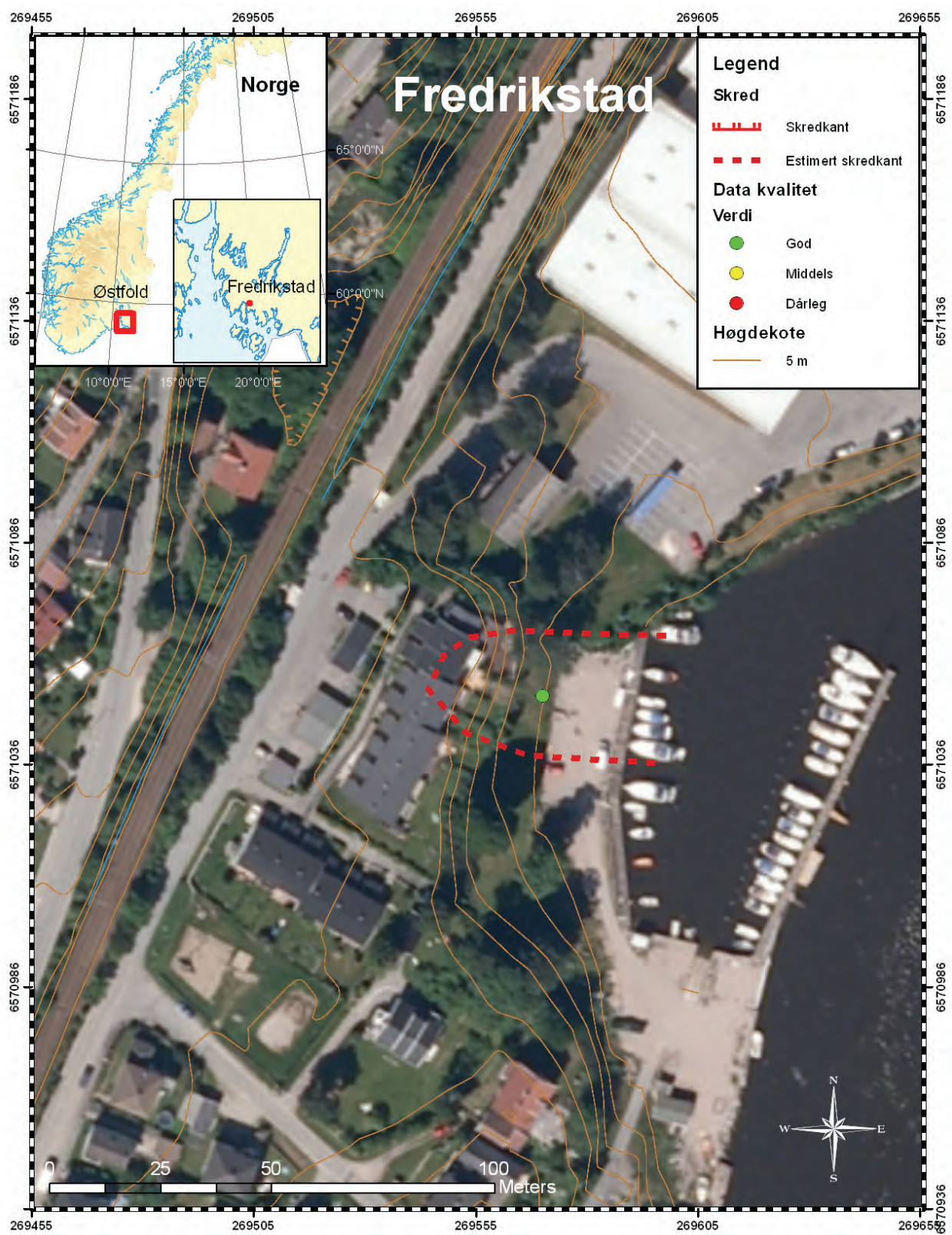


Fig. 1. Skredet i Fredrikstad (etter Karlsrud 1983).



Furre	
Fylke: Nord-Trøndelag	Data kvalitet: 1
Kommune: Overhalla	Skrednett ID: 159
Dato: 14.04.1959	Koordinatar (UTM33N)
Omkomne: 1	X: 343942 Y: 7151409
Lausmassar: Hav- og fjordavsetninger	Fjell: Ja
Skredtype: Flake and flow	Areal (m ²): 180 000 Volum (m ³): 3 000 000

Kommentar:

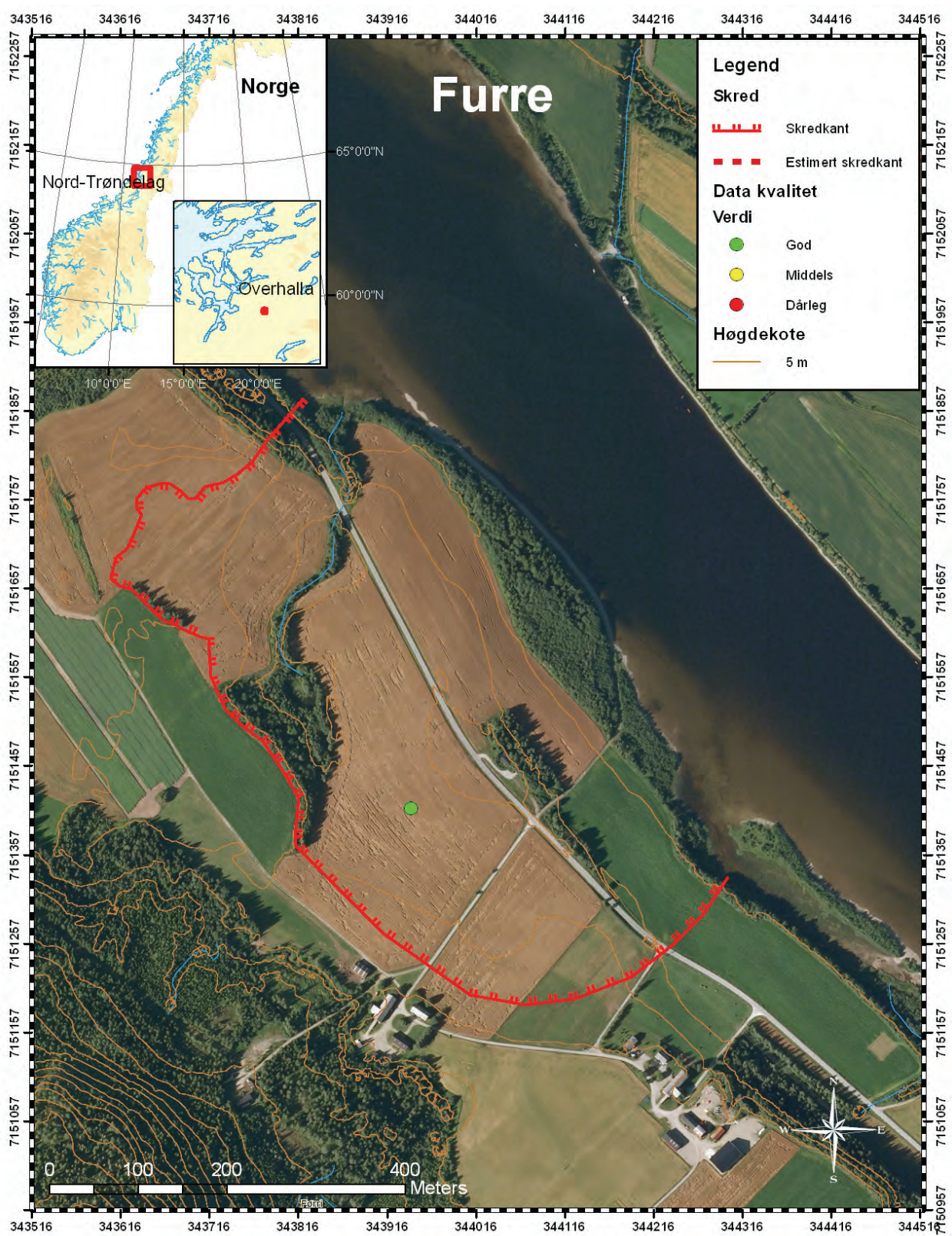
Den little øya Gropøyra, deler Namsen i to, og den delen nærmast Furre vert kalla Furre Namsen. Skredet skjedde utan forvarsel kl. 08.50 og demma opp Furre Namsen. Midtarste del av skredet glei ut i eit intakt flak, sank ned og tilta bakover. Område består for det meste av silt og fin sand, men det finnes eit lag av 10 cm tjukk, svært kvikk leire som ligg 10 m under elvenivået og fell 6°-9° grader mot Namsen. Det var dette laget det intakte flaket glei på. Ei floedbølgje på 1-2 m vandra både oppstrøms og nedstrøms (Hutchinson, 1961).

På få sekund spreidde skredet seg til Vestre og Østre Furre. Hovudskredet skapte mange sprekker ovafor og nedafor det intakte flaket, slik at eit retrogressivt skred blei utløyst. Etter 1-1,5 min var hovudflaket kome til ro og 2-3 min etter det var også Vestre og Østre Furre roleg. Sekundære rørsler haldt fram enda ein halv time og først eit par månadar etter fekk skredet sitt største omfang (Hutchinson, 1961).

Skredområdet bestod av ein flat sandterrasse ca. 20 moh. og ein terrasse ca. 6 moh. Skredet nådde så vidt inn i 20 moh. terrassen, ved nedstrøms enden av Gropøyra. Synleg fjell i dagen vart observert der skredet stoppa (6 moh. terrassen var på sitt smalaste). Lengst aust i skredgropa vart skredet stoppa av 6 moh. terassen og rygger av skredmasser oppstod. Elvebotnen i Namsen Furre vart heva 6 m over elvebreidda og Gropøyra vart heva 2 m (Hutchinson, 1961).

Namsen er den 4. største elva i Noreg og er kjent for å ha stor erosjonsevne og lett eroderbar elvebreidd. Dette har utan tvil påverka heile området langs Namsen og dermed også Furre.

Det er to årsakar til at skredet blei utløyst. Store mengder pakkis blokkert Namsen vinteren 1958 slik at elva steig meir enn 4 m. I løpet av desse tre månadane strøyma store mengder vatn gjennom Furre Namsen og elva vart 1,5 m djupare på grunn av erosjonen. På grunn av det utvida tverrsnittet rann vatn gjennom Furre Namsen og erosjonen haldt fram slik at kanalen bela enda 0,5 m djupare. I tillegg vart vasstanden denne vinteren 1 m høgare enn normalen (Hutchinson, 1961).



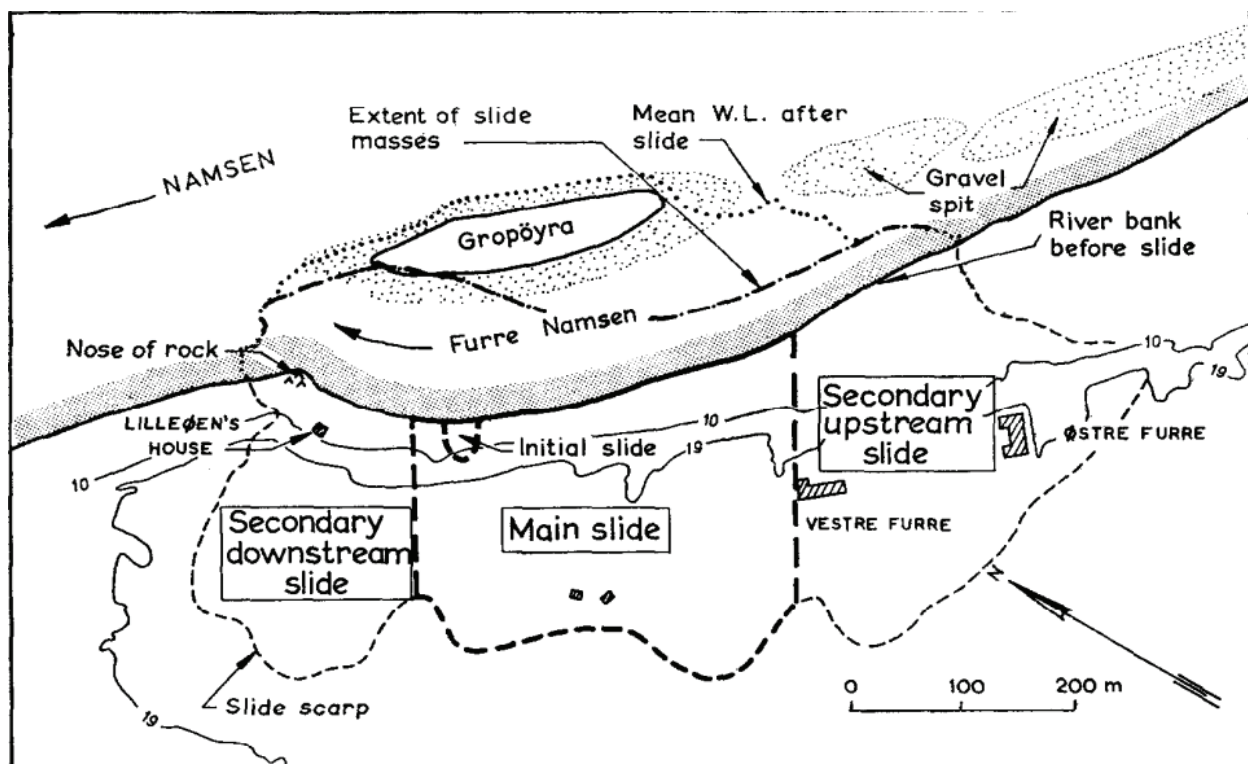


Fig. 1. Kart som viser dei ulike inndelingane av skredet på Furre (Hutchinson 1961).

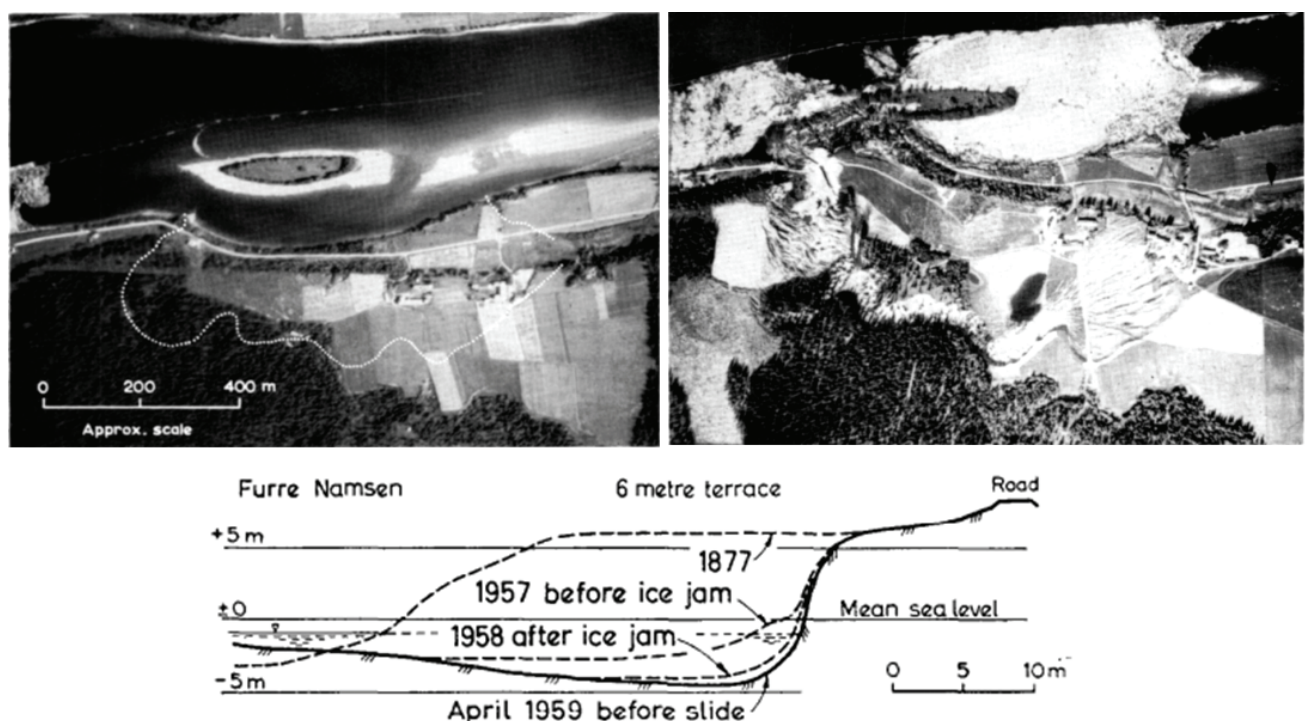


Fig. 2. Øvst: Til venstre er det eit biletet før skredet gjekk og til høgre etter skredet. Begge fotografiene er tatt av Widerøe. Nedst: Profil som viser korleis erosjonen i skråningsfoten utvikla seg (Hutchinson 1961).

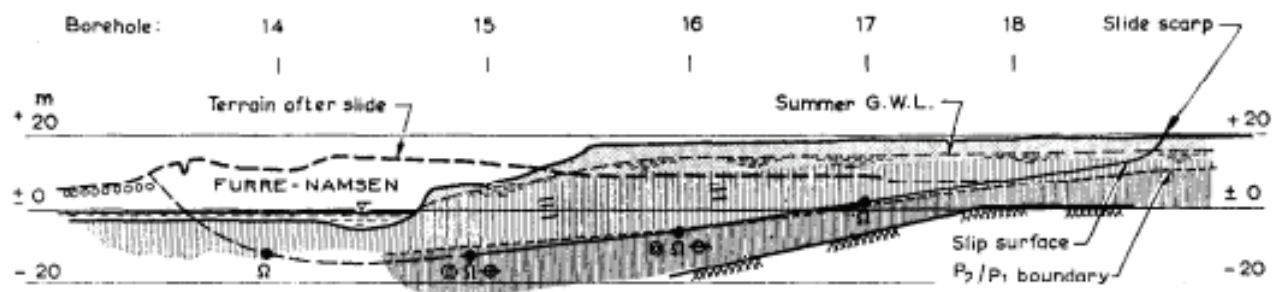


Fig. 3. Profil gjennom hovudskredet som viser terrengoverflata før og etter skredet (Hutchinson 1961).

Gretnes	
Fylke: Østfold	Data kvalitet: 2
Kommune: Fredrikstad	Skrednett ID: 33105
Dato: 17.-18.april 1925	Koordinatar (UTM33N)
Omkomne: 0	X: 276931 Y: 6575781
Lausmassar: Hav- og fjordavsetninger	Fjell: Nei
Skredtype: Flow	Areal (m ²): 40 000 Volum (m ³): 400 000

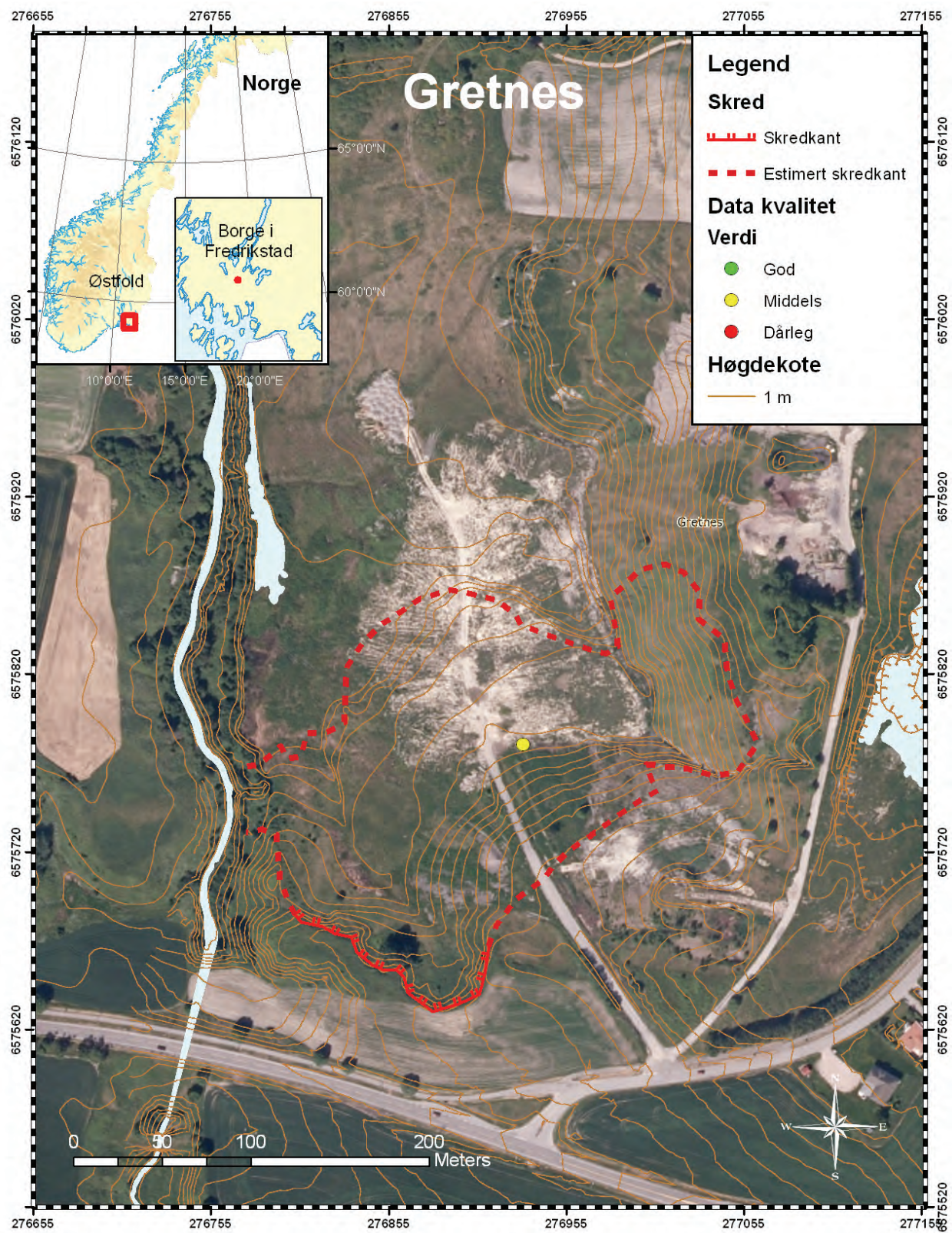
Kommentar:

Kvikkleireskredet bestod av 3 hovudhendingar. På formiddagen 17.april, byrja jorda å gli ut og på ettermiddagen hadde skredet fått ein sirkulær opning med smal skredport. På kvelden glei meir masser ut og skredkanten stod kun 50-60 m frå husa. Den 18.april kl. 19 gjekk det siste skredet, men dette var ikkje like djupt. Bustadhuset stod no 15 m frå skredkanten. Botn i skredgropa var uregelmessig med ein rygg av tørrskorpeleire som strakte seg frå nord mot sør. Ryggen var 1,5-2 m tjukk, tjukkare enn resten av tørrskorpa involvert i skredet, og avgrensa første hending. Under dei to neste utglidingane rant den flytande leira forbi denne ryggen. Gretnesbekken frakta skredmassane ut i Glomma (Holmsen, 1929).

Furseth skriv på skrednett (ID 33105) at skredet gjekk etter ein lang nedbørsperiode. Han nemner også at det gjekk eit mindre skred i område 15 år tidlegare. Det er antatt at bekkeerosjon har vore medverkande til at område er blitt ustabilt.

Skredområde er i dag planert, sjå figur 2, og det er derfor umogleg å finne skredkanten. Målingar på den inntekna skredkanten må derfor utførast med varsemid. Alle parametrar er basert på eit kart med 1 m høgdekoter og M 1:1000 (figur 1) som blei laga rett etter skredet gjekk.

Arealet er oppgitt til 32 mål av Holmsen (1929), medan Furseth anslår 40 mål. Målingar i ArcMap gjev eit areal på 40 000 m³ og derfor vert anslaget til Furseth nyttat.



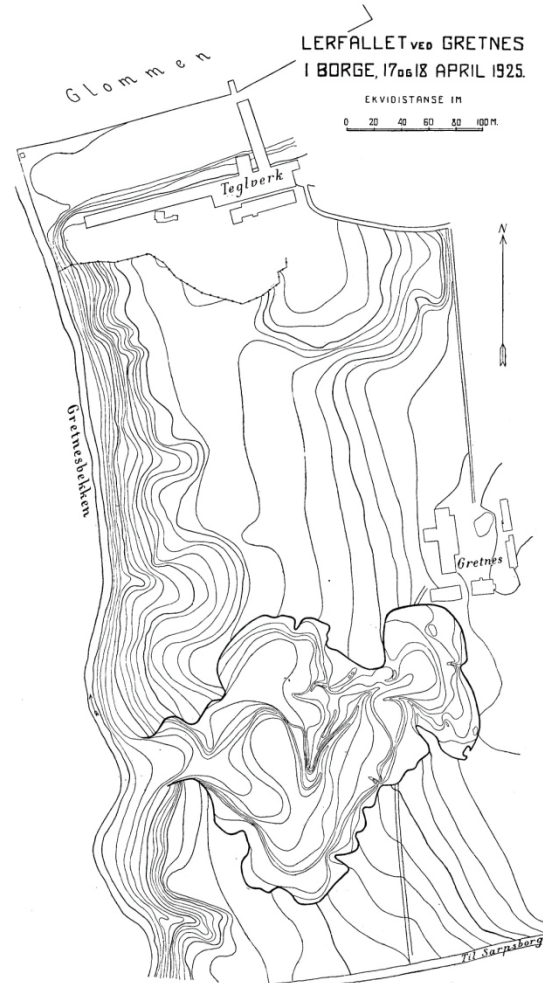
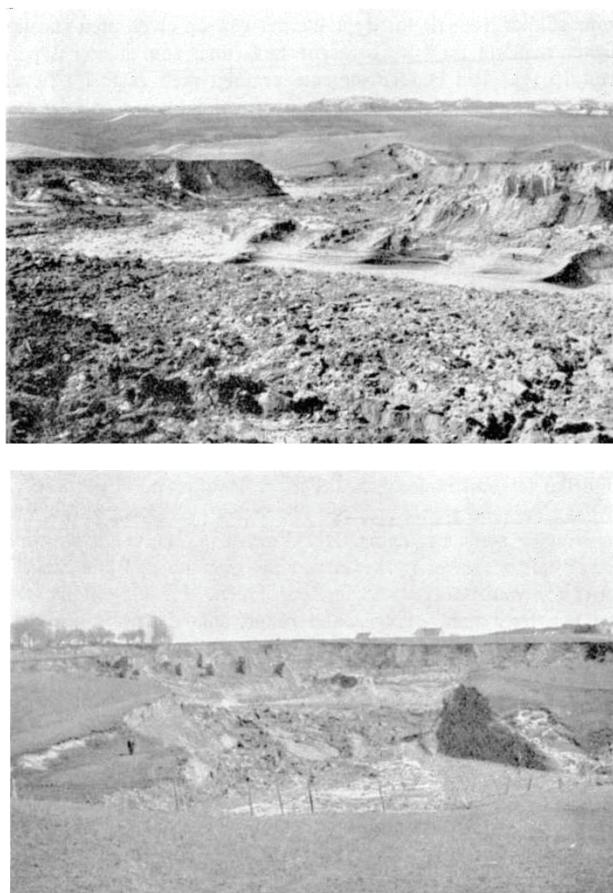


Fig. 1. Øvst til venstre: Skredgropa ved Gretnes sett mot vest. Nedst til venstre: Utløpsporten for kvikkleireskredet ved Gretnes. Foto: G. Holmsen (april 1925), kart over skredgropa fra Holmsen (1929).

Gullaug 1

Fylke: Buskerud	Data kvalitet: 1
Kommune: Lier	Skrednett ID: ingen
Dato: 29.11.1974	Koordinatar (UTM33N)
Omkomne: 0	X: 235176 Y: 6631751
Lausmassar: Hav- og fjordavsetninger	Fjell: Nei
Skredtype: Flake and flow	Areal (m ²): 30 000 Volum (m ³): 100 000

Kommentar:

I tida før skredet var det arbeid med å legge ut ein fylling på 9000 m³ i strandsona. Den 29.november raste ytre del av fyllinga samtidig som dei øvste 5 m av sedimenta glei ut (Karlsrud, 1979).

Den utløysande årsaka til skredet er antatt å ha vært fyllinga. Før arbeidet starta var ein klar over at den blauge, siltige leira hadde låg skjærfastheit, ca. 5 kN/m². Utrekningar i ettertid viste at den planlagde fyllinga hadde ein sikkerhetsfaktor på 1,09 (Karlsrud, 1979).

Skredkanten på land er ikkje lenger mogleg å finne att i dagens terreng, fordi nye fylmassar er lagt ut. Kvaliteten på sjølve datagrunnlaget er vurdert til bra, då dei batymetriske dataene er av god kvalitet (Hansen et al. 2011).

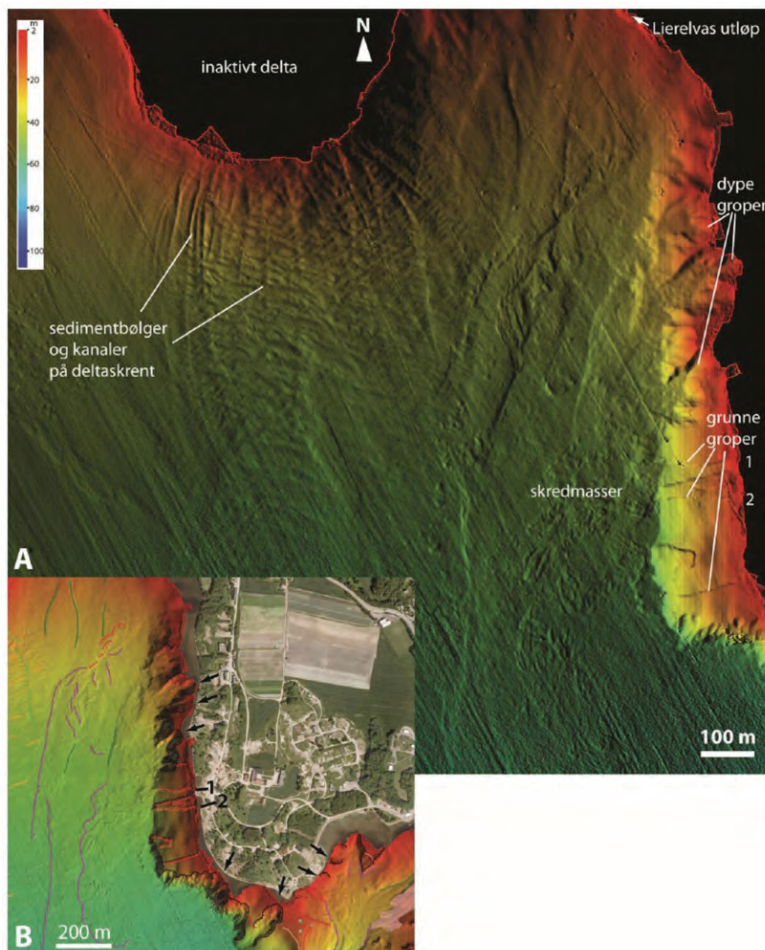


Fig. 1. (A) Detalj frå det inaktive Liereltaet med undersjøiske sedimentbølgjer og kanalar, og utbredd skredaktivitet sør for det noverande utløpet av Lierelva langs strandsona i Gullaugbukta. Fargene angir dybde, rødt er grunt og overgangen fra rødt via gult og grønt til blått angir djupare vatn. (B) Flyfoto av landområde øst for Gullaugbukta der piler angir stadar der undersjøiske djupare skredgropes er registrert nær strandlinja ved Gullaug. 1 angir eksisterande kaianlegg mens 2 viser skredet registrert som "Gullaug 1" (Hansen et al. 2011).

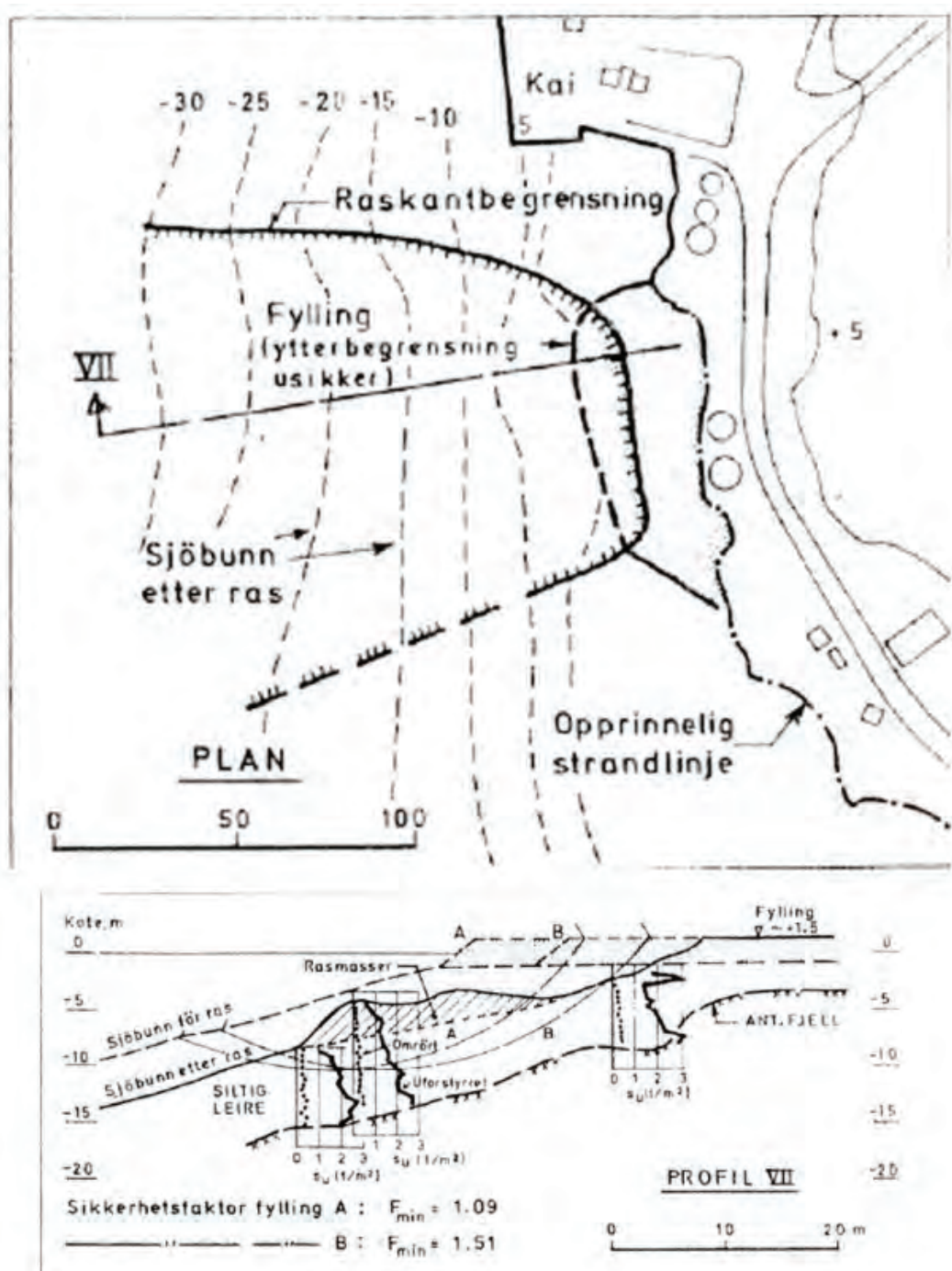
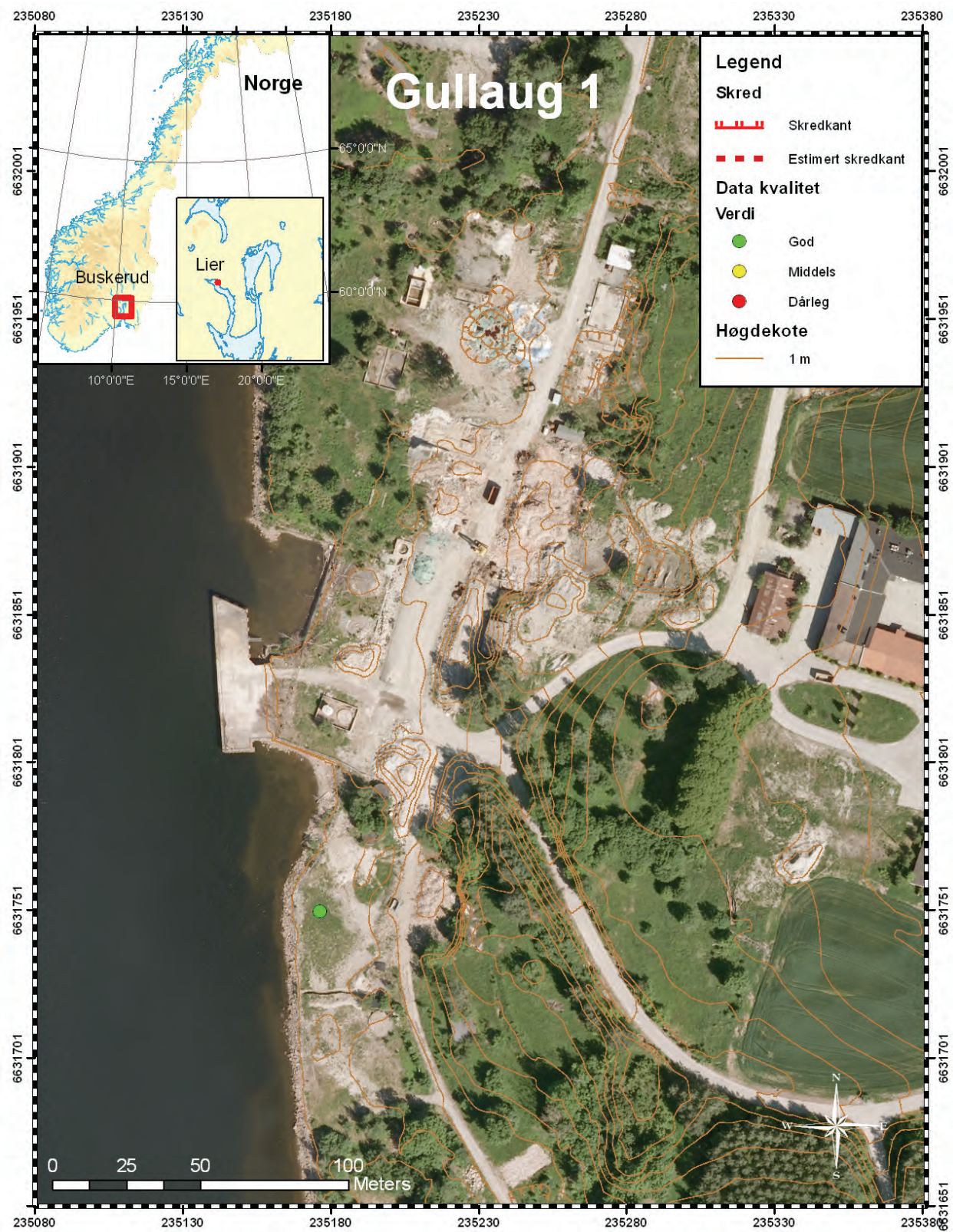


Fig. 2. Kart og profil som viser utglidninga ved Gullaug 1 (etter Karlsrud 1979).

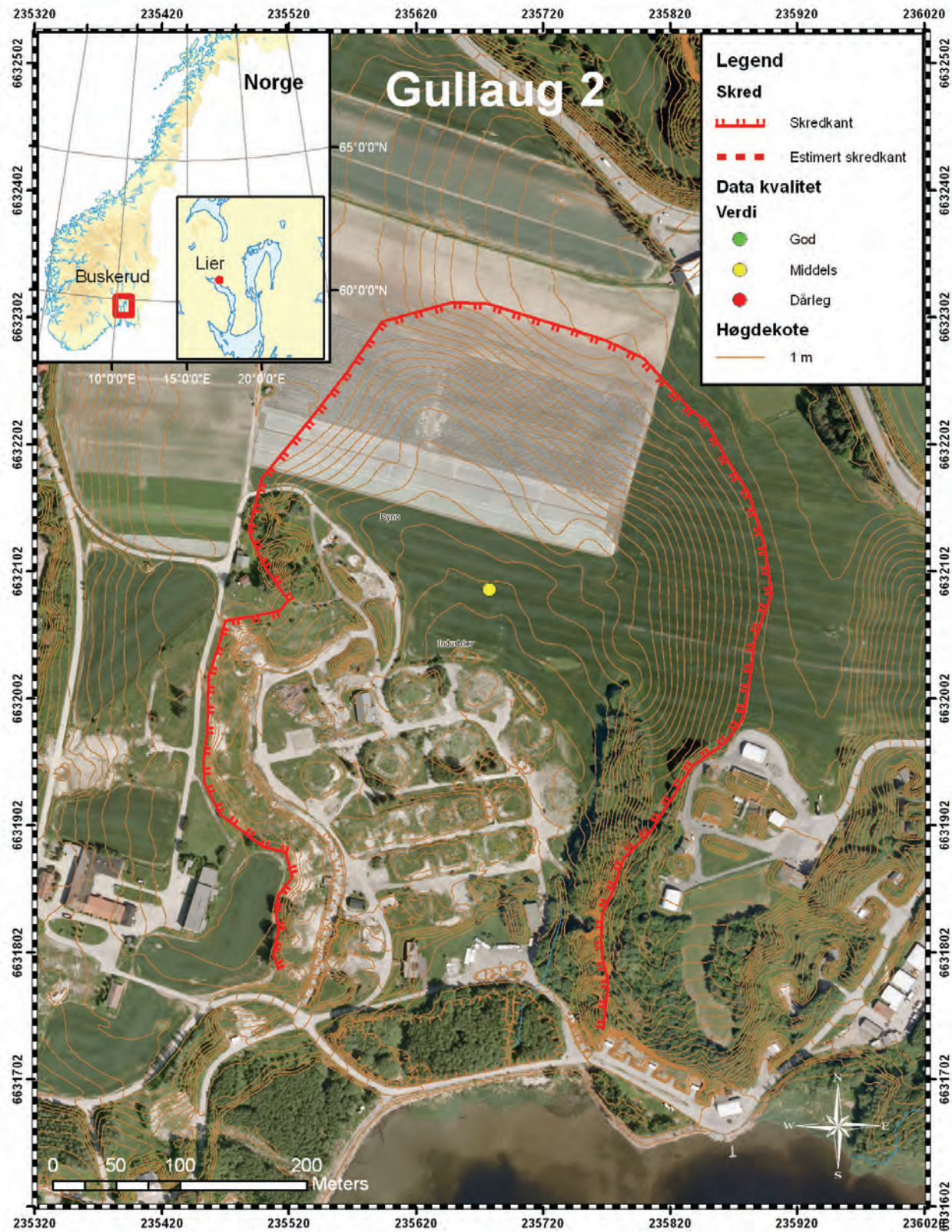


Gullaug 2	
Fylke: Buskerud	Data kvalitet: 2
Kommune: Lier	Skrednett ID: ingen
Dato: ukjent	Koordinatar (UTM33N)
Omkomne: ukjent	X: 235678 Y: 6632087
Lausmassar: Hav- og fjordavsetninger	Fjell: Nei
Skredtype: Flow	Areal (m ²): 190 000 Volum (m ³): 2 850 000

Kommentar:

Skredkanten vises godt i terrenget. Skredet er ikkje registrert på skrednett og skredet er mest sannsynleg forhistorisk. Fordi skredkanten er godt definert, men det manglar meir informasjon om skredet vert skredkvaliteten vurdert til middels.

Skredet gjekk i eit registrert kvikkleireområde. Rett aust for denne skredgropa har det gått eit liknande kvikkleireskred, men mindre (Hansen et al. 2011).



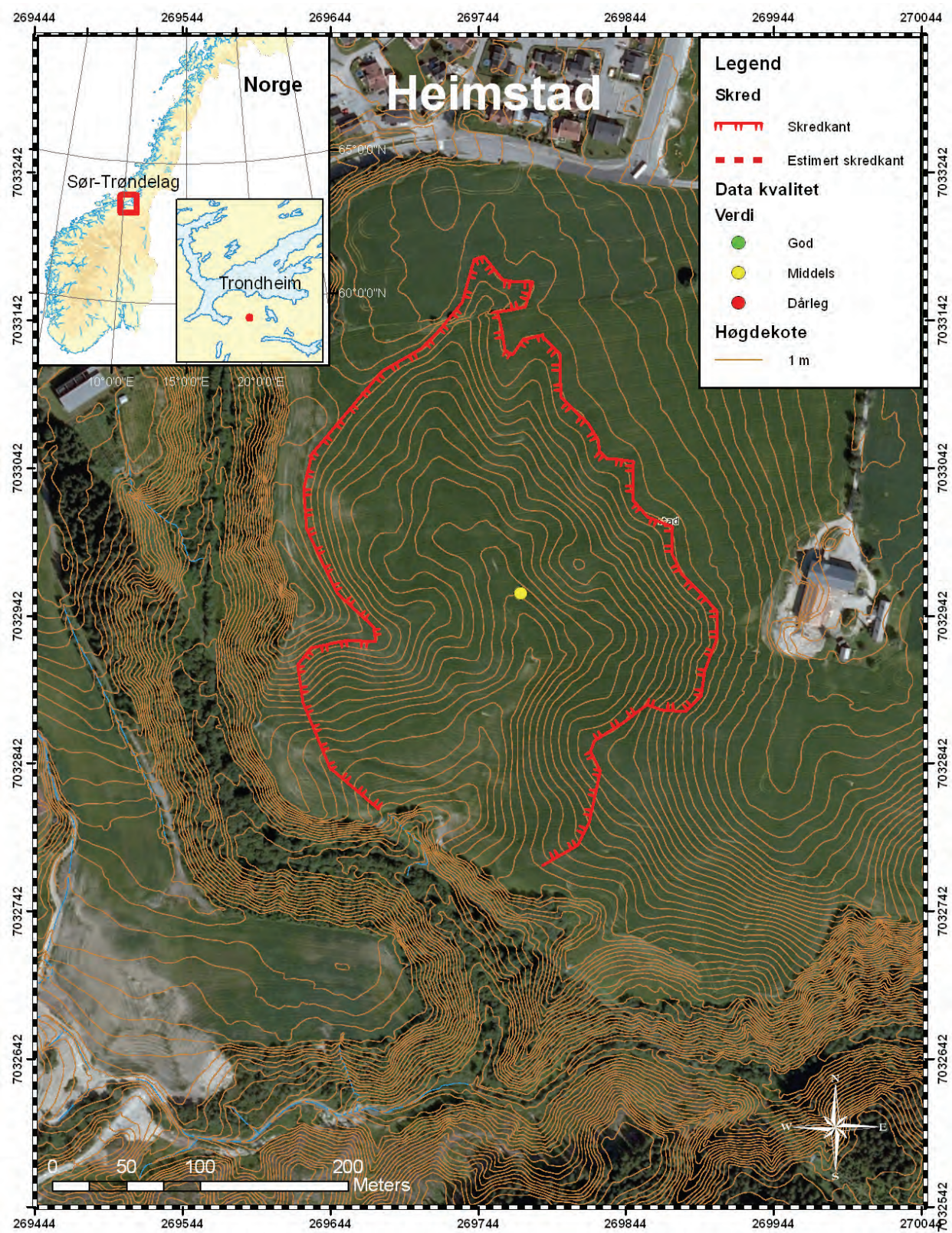
Heimstad	
Fylke: Sør-Trøndelag	Data kvalitet: 2
Kommune: Trondheim	Skrednett ID: ingen
Dato: ukjent	Koordinatar (UTM33N)
Omkomne: ukjent	X: 269773 Y: 7032958
Lausmassar: Hav- og fjordavsetninger	Fjell: Nei
Skerdtype: Flow	Areal (m ²): 70 000 Volum (m ³): 900 000

Kommentar:

Skredet er mest sannsynleg forhistorisk og ingen informasjon finnes utanom at skredgropa er avmerka på kart (Reite et al, 1999) og vist i NGU (2011). Skredgropa har ein typisk skredform, smal skredport for deretter å vie seg ut.

Område er i dag nytta til jordbruk og slik aktivitet viskar ut spor etter opphavleg skredkant. Den innteikna skredkanten er basert på skredkanten i NGU (2011). Deretter er skredkanten modifisert slik at den stemmer overeins med høgdekotene i område.

Sjølv om jordbruket har endra landskapet er det antatt at avviket på dei registrerte parametrane er akseptable.



Hekseberg	
Fylke: Akershus	Data kvalitet: 2
Kommune: Sørum	Skrednett ID: 33151
Dato: 20.03.1967	Koordinatar (UTM33N)
Omkomne: 0	X: 281416 Y: 6663231
Lausmassar: Hav- og fjordavsetninger	Fjell:
Rørsle: Flow	Areal (m ²): 31 000 Volum (m ³): 200 000

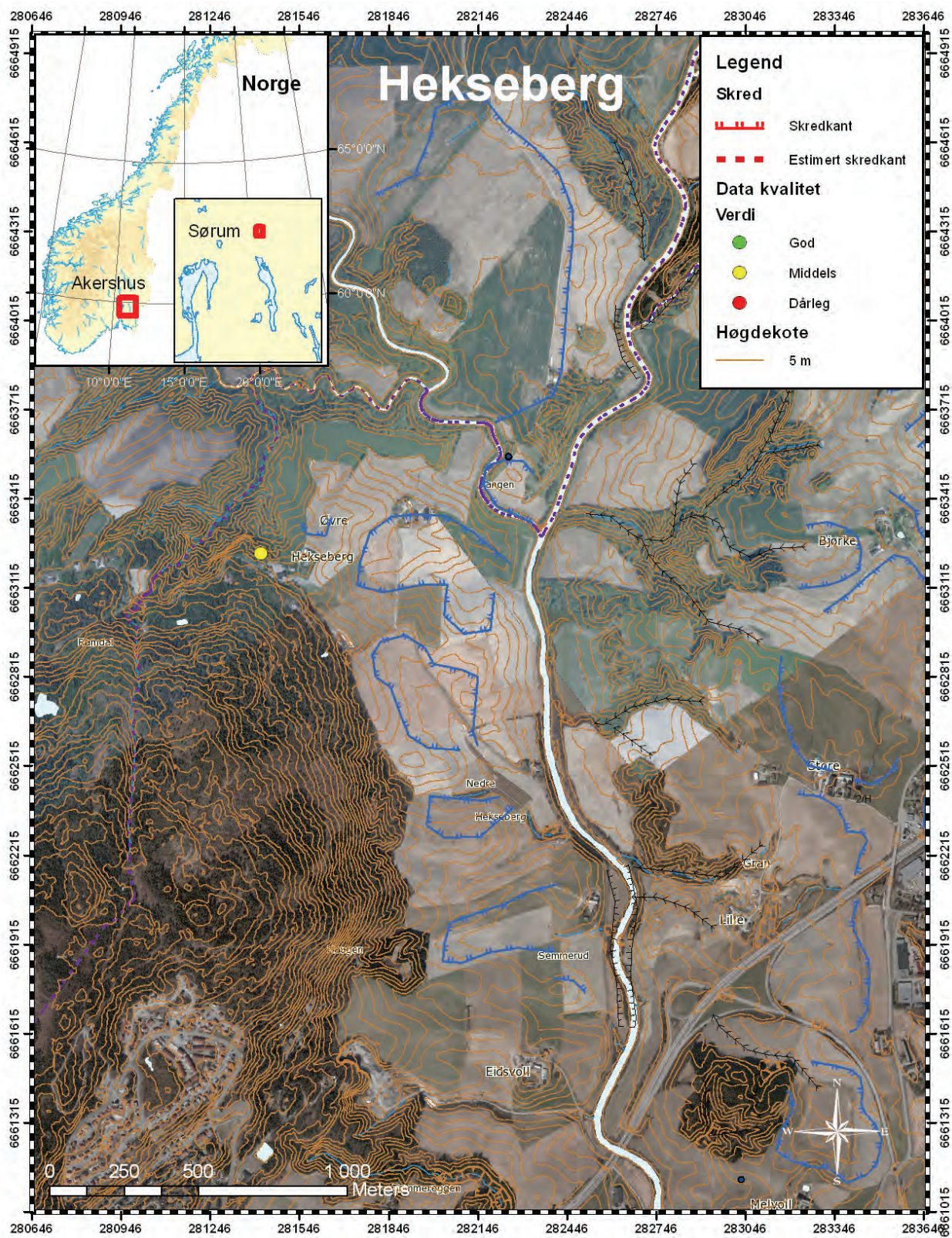
Kommentar:

Skredet ved Hekseberg er godt dokumentert, men likevel lykkast det ikkje å finne att skredgropa. Fleire andre skredgroper er teikna inn på kartet. Eit seinare skred eller jordbruksaktivitet kan ha endra terrenget så radikalt at det ikkje er mogleg å finne att plasseringa utan å kontakte en lokal. Fordi skredet ikkje blei funnet, er det registrerte datakvalitet-punktet satt på same lokalitet som skrednett.

Den 18. mars høyrt gardseigar Johan Rovelstadmoen ein høg, kanonliknande smell. Fleire 40 m lange sprekker som gjekk parallelt med elva, kom til syne. 20. mars observerte han hovudskredet og 25. mars gjekk eit lite etterskred (Drury, 1968).

Område der initialskred beli utløyst, bestod av ikkje-sensitiv leire. Fordi skredet var flytande, betyr det at skredet må ha utvikla seg bakover til det trefte kvikkleire. Glideflata var tilnærma perfekt horisontal, sjå figur 1. Dette indikerer at jordmassar blei skubba ut, mest sannsynleg på grunn av jordtrykket som verka på bakerste del av skredblokka. Drury (1968) skriv at leira som fantes over det observerte svakheitslaget var sterkare og mindre sensitiv enn leira under.

Skredet demma opp elva Leira. Den 24. mars hadde vasstanden auka med 3- 4 m, og enda verre vart situasjonen etter etterskred den 25. mars. Det blei vedtatt å sprengje opning i demninga, for å hindre meir skade (Drury, 1968).



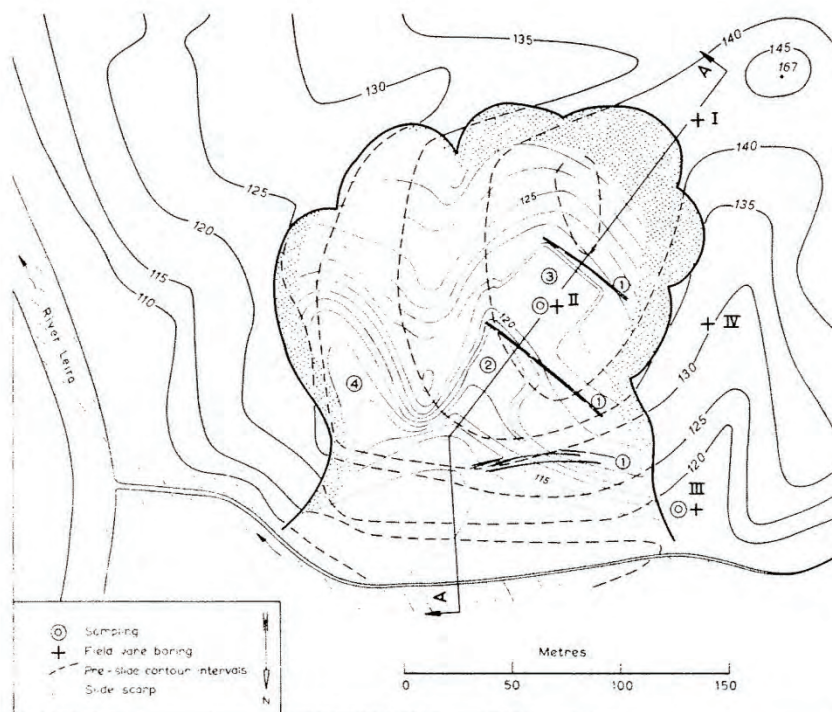


Fig. 1. Øvst: Kart som viser skredet ved Hekseberg: 1) Observerte sprekker 18. mars, 2) Glatt, skrånande glideflate den 20. mars, 3) Glatt, flat glideflate 21.mars, 4) Lite skred 25.mars. Nedst venstre: Oppdemming av Leira. Nedst høgre: Bilete av den glatte, skrånande glideflata som ein trur var involvert under hovudskredet 20.mars (Drury 1968).

Hyggen

Fylke: Buskerud	Data kvalitet: 1
Kommune: Røyken	Skrednett ID: 571
Dato: 23.01.1978	Koordinatar (UTM33N)
Omkomne: ukjent	X: 239356 Y: 6628824
Lausmassar: Marine strandavsetninger	Fjell: Nei
Skredtype: Flake and flow	Areal (m ²): 8 500 Volum (m ³): 500 000

Kommentar:

Hyggen er eit undersjøisk skred som er godt dokumentert. Skredet blei skildra av Karlsrud (1979), men nyare batymetriske data har avslørt eit meir detaljrikt bilet av skredgropa slik at alle parametrar er basert på desse nye biletta.

Årsaka til skredet er mest sannsynleg utfylling i strandsona. Det vart forsøkt lagt ut stein i fleire omgangar, men steinen "forsvann". Deretter la ein 600-800 m³ leire den 25. januar. Det var dette som utløyde sjølve hovudskredet. Heile hendinga tok ca. 1,5 døgn. Dei utraste skredmassane var i hovudsak blaut, siltig leire som lokalt var svært sensitive (Hansen et al. 2011).

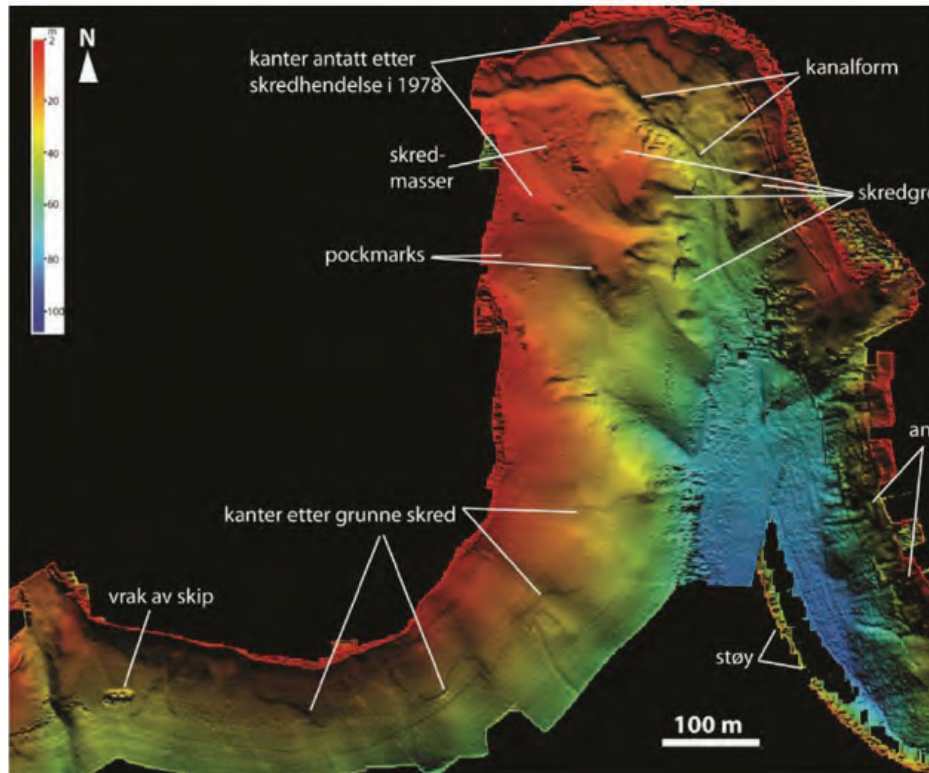


Fig. 1. Batymetrisk data som viser skredmasser og kantane til Hyggen-skredet (merket "1978") (Hansen et al. 2011).

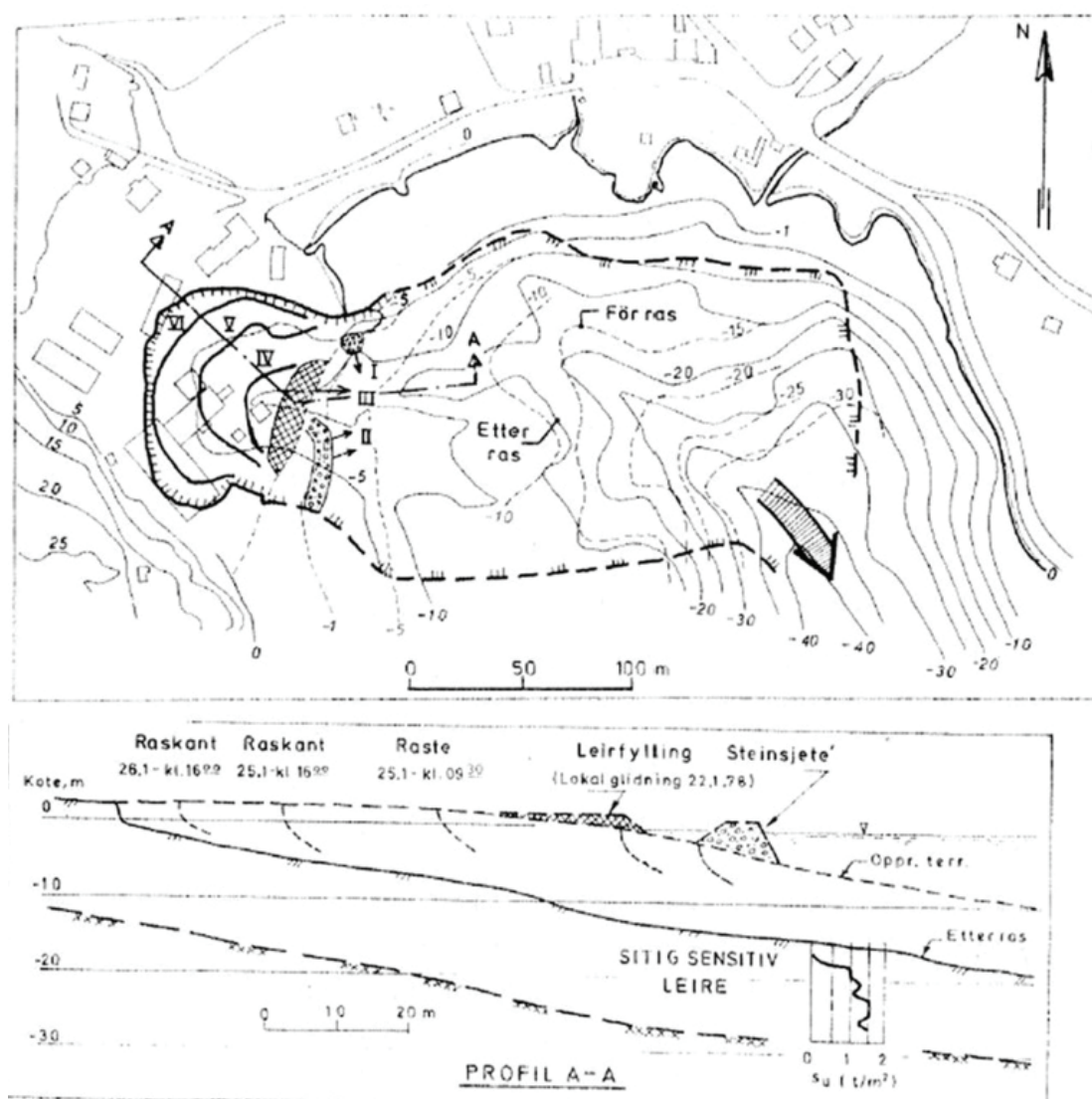
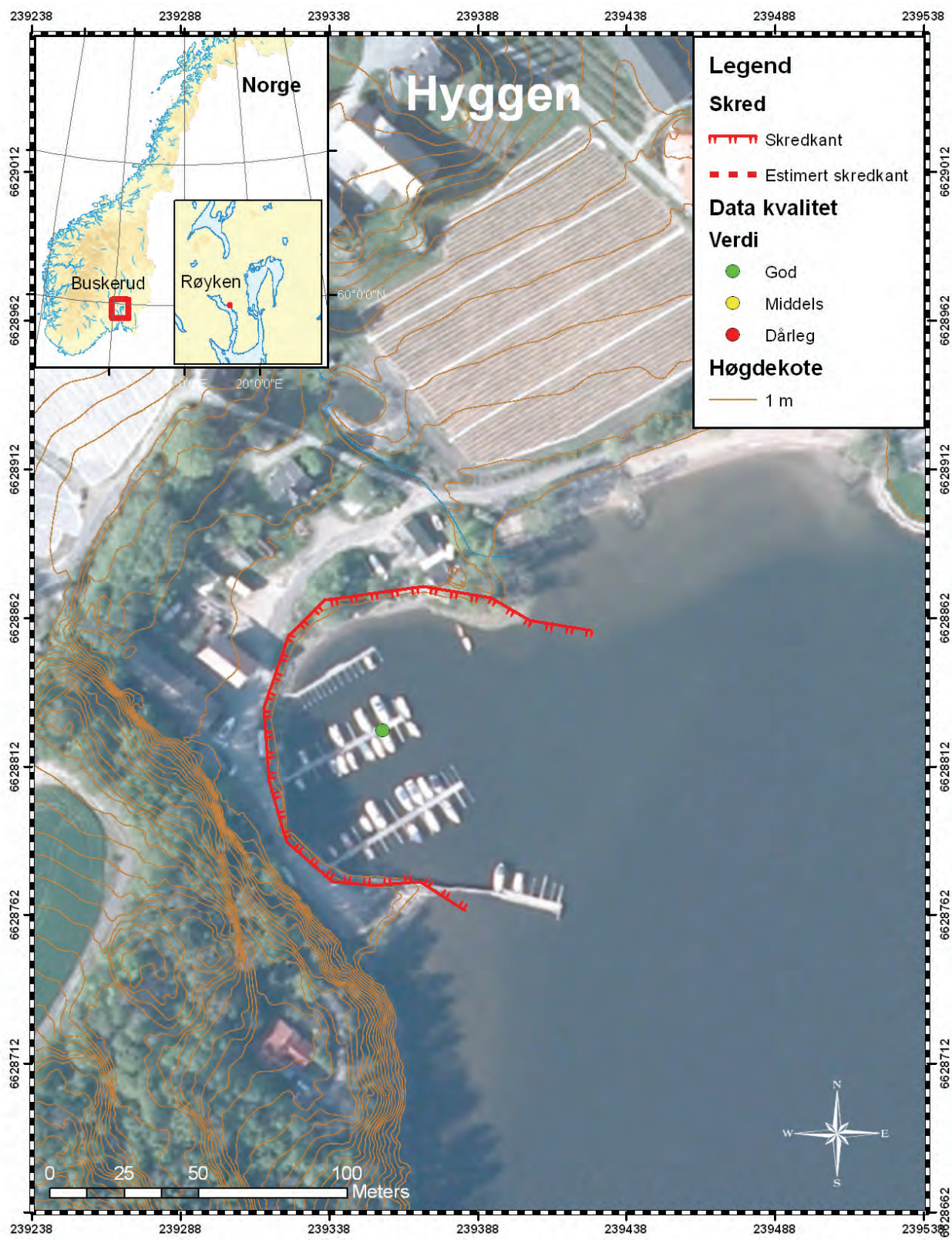


Fig. 2. Kart og profil etter Karlsrud (1979) som viser utglidninga ved Hyggen-skredet.



Kattmarka	
Fylke: Nord-Trøndelag	Data kvalitet: 1
Kommune: Namsos	Skrednett ID: 36407
Dato: 13.03.2009	Koordinatar (UTM33N)
Omkomne: 0	X: 328739 Y: 7154667
Lausmassar: Hav- og fjordavsetninger og marine strandavsetninger	Fjell: Ja, langs bakkanten
Skredtype: Spread	Areal (m ²): 40 000 Volum (m ³): 600 000

Kommentar:

Skredet er så nytt at biletet i "WEB Norge i Bilder" er frå tida før skredet skjedde. Den innteikna skredkanten er funnet ved hjelp av figur 1 og 2, og figur 4 i Karlsrud et al (2009). Det var mogleg å rekonstruere skredkanten slik at nøyaktigheita på skredkanten er vurdert til god.

Skredet i Kattmarka er utfordrande å definere etter enkle modeller pga. den komplekse skredgangen. Det finnes fleire retrogresjonsretningar og i tillegg bevegde skredmassane seg i ein anna retning enn retrogresjonsretninga. "R" er definert etter den nordlegaste gule pilen i figur 2.

Det er antatt at sprengningsrystelser utført i forbindelse med utviding av vegen, utløyste skredet. I det ein sprengde vart fjelloverflata, med stor kraft, skubba inn i leira slik at den kollapsa. Fordi fjellet, som helle ut mot leira og i tillegg hadde eit ugunstig sprekkmönster, ikkje vart kartlagd, var ein ikkje klar over faren ved sprenging (Nordal et al. 2009).

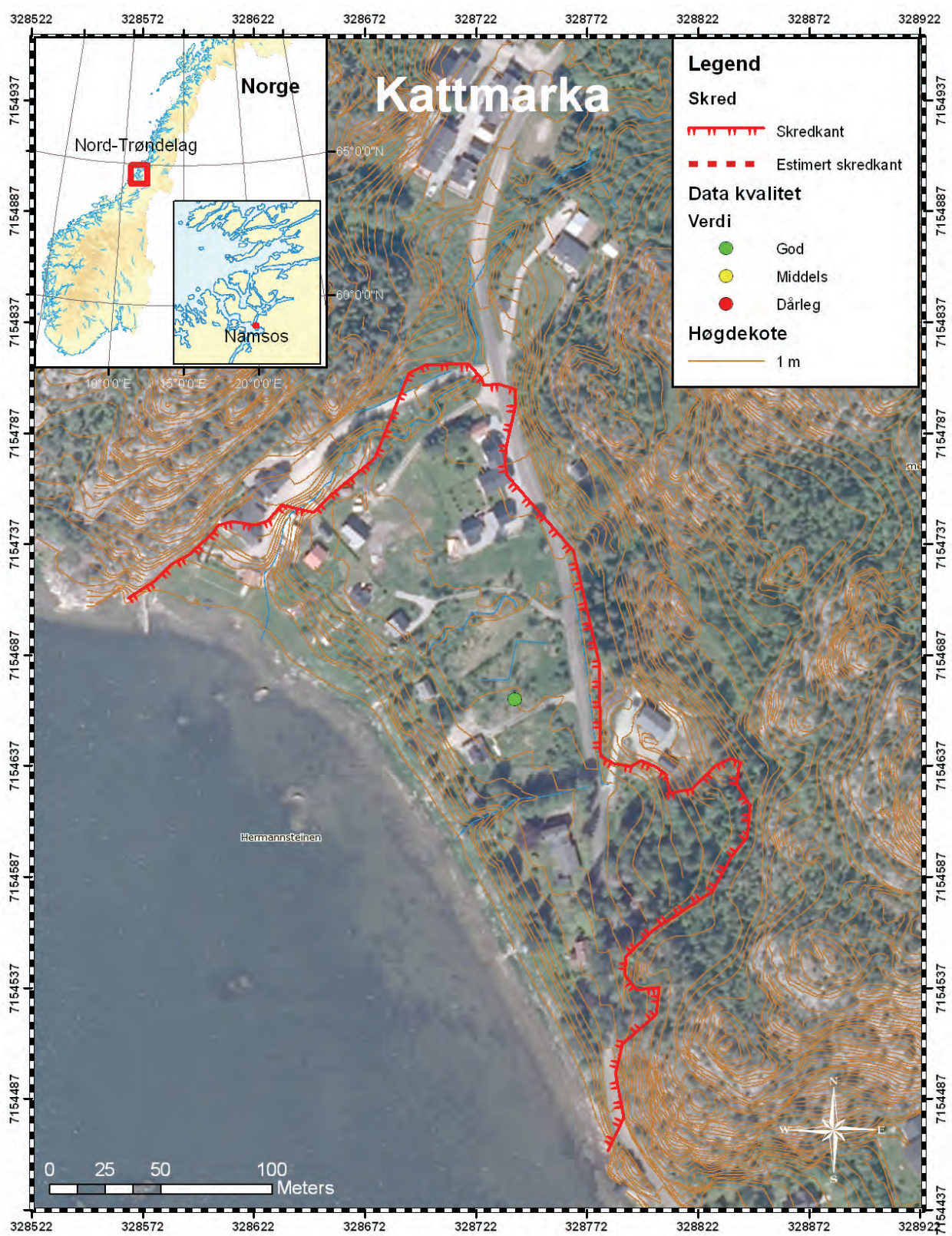




Fig. 1. Kattmarka (Karslrud et al. 2009).

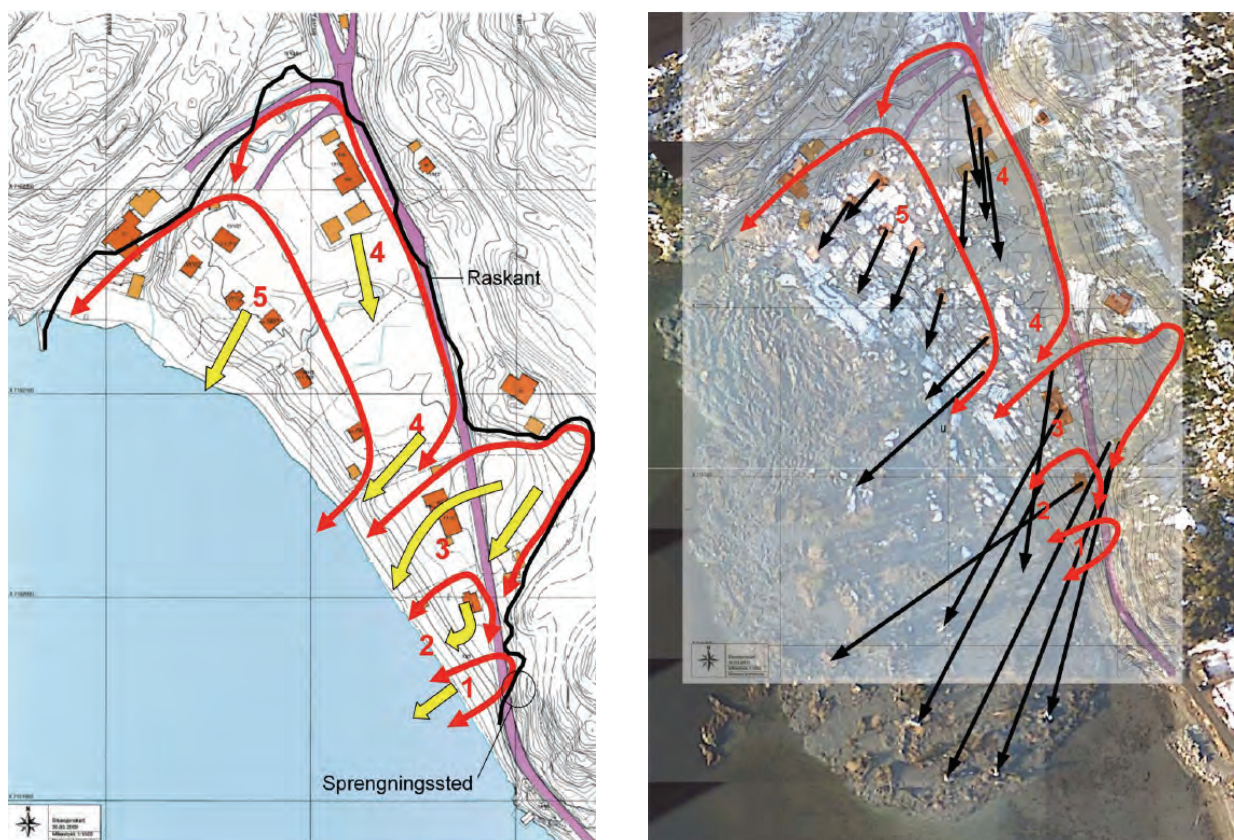


Fig. 2. Biletet til venstre viser rørsleretning og omfanget til skredet og biletet til høgre viser flytting av bygningar (svarte piler) (Nordal et al. 2009).

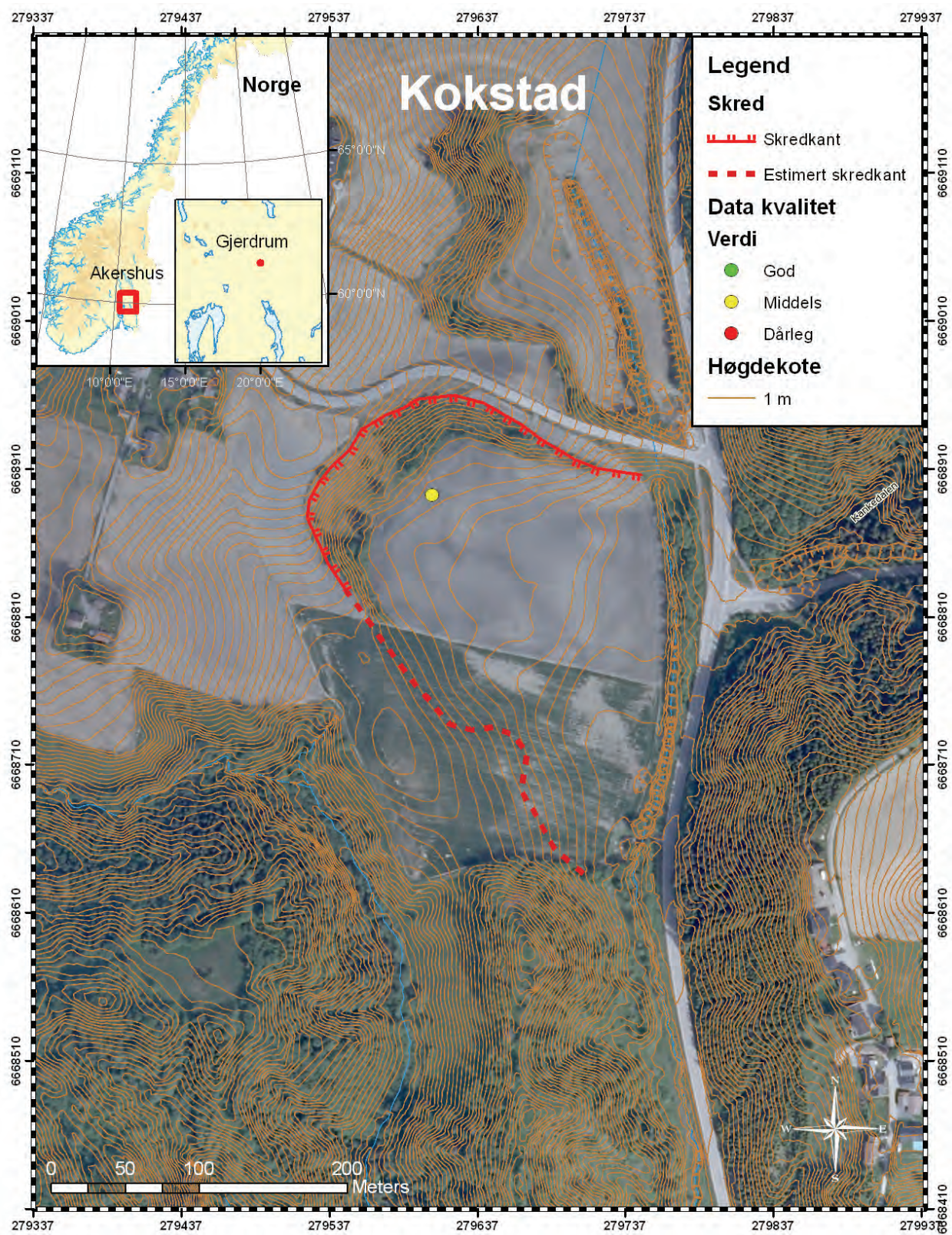
Kokstad	
Fylke: Akershus	Data kvalitet: 2
Kommune: Gjerdum	Skrednett ID: 234
Dato: 21.10.1924	Koordinatar (UTM33N)
Omkomne: 1	X: 279606 Y: 6668892
Lausmassar: Hav- og fjordavsetninger	Fjell: Ja, i nord og vest
Skredtype: Flow	Areal (m ²): 45 000 Volum (m ³): 400 000

Kommentar:

Skredforma er noko utradisjonell. Fjell er observert i skredgropa og dette kan vera ein av årsaka til den utypiske forma. Slik at målingar av " W_0 " og " W_m " er utført, men er av derfor av mindre nytte. Skredkanten i sør er brukt til å estimere parametrane, men fordi område er sterkt prega av skredaktiviteten, er det vanskeleg å finne crest. Borehol i skredgropa avdekkja lag av omrørt leire ned til 5m djup (Holmsen, 1929).

Skredområde var opphavleg ein stor terrasseflate, men bekkeerosjon har endra landskapet og nokre stadar er fast fjell eksponert. Terrasseflata låg 178 moh., men i skredområde nådde ikkje attståande ryggar heilt opp til dette nivået.

Nedbørsmengda over Romerike i 1924 var 30 % over normalen. Det rant ein bekk inntil skråningsfoten og skredmassane gjekk først ut i denne, så ut i elva Gjermåa, slik at skredmassane blei frakta bort. Frå folk observerte at skredet gjekk, bakken rista, til skredmassane trefte husa ved Hellen tok det ca. 15 min (Holmsen, 1929).



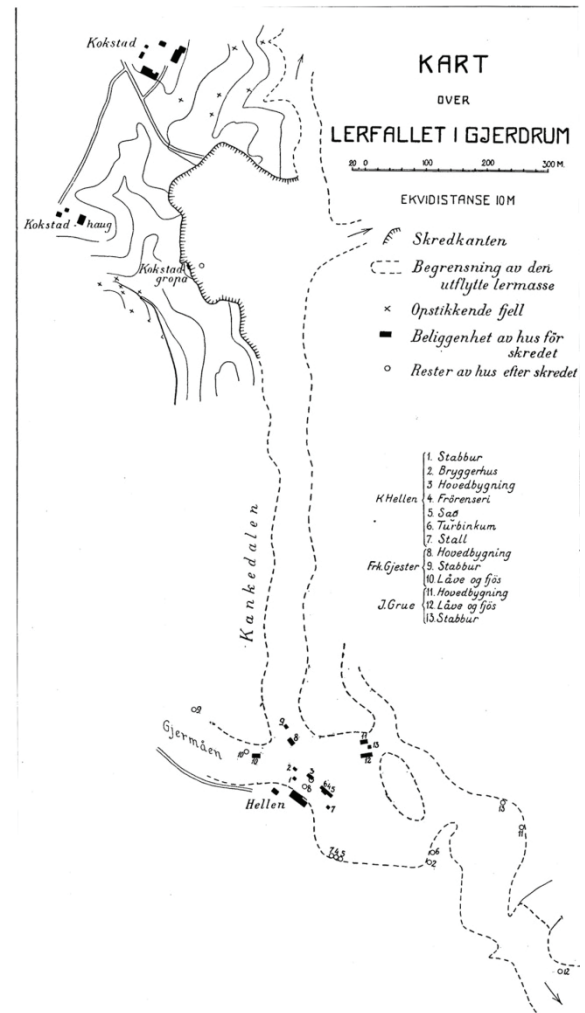
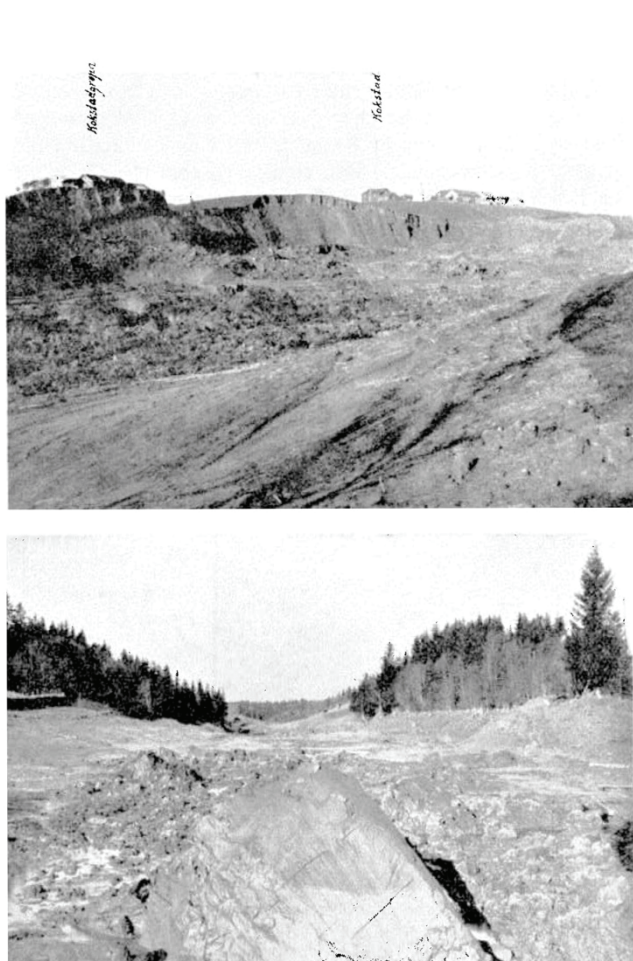


Fig. 1. Øvst til venstre: Skredgropa ved Kostad, foto G. Holmsen okt. 1924. Nedst til venstre: Slamstraumen i Kankedalen. Foto G. Holmsen okt. 1924. Kart over Gjerdrum (Kokstad) som viser omfanget av kvikkleireskredet (Holmsen 1929).

Lade 1

Fylke: Sør-Trøndelag	Data kvalitet: 1
Kommune: Trondheim	Skrednett ID: 36139
Dato: 11.04.1944	Koordinatar (UTM33N)
Omkomne: 4	X: 272311 Y: 7043288
Lausmassar: Hav- og fjordavsetninger	Fjell: Ja, i nord
Skredtype: Spread	Areal (m ²): 20 000 Volum (m ³): 50 000

Lade 2

Fylke: Sør-Trøndelag	Data kvalitet: 1
Kommune: Trondheim	Skrednett ID: 36139
Dato: 11.04.1944	Koordinatar (UTM33N)
Omkomne:	X: 272299 Y: 7043328
Lausmassar: Hav- og fjordavsetninger	Fjell: Ja, i nord
Skredtype:	Areal (m ²): 5 000 Volum (m ³):

Info:

I 1944 gjekk det eit skred i to omganger i Ladedalen, rett sør for Ladehammeren. Undersøking av det første skredet (Lade 1) viste at leira faktisk var meir sensitiv 9-10 m under brotplanet. I austleg del av skredområdet blei det ikkje påvist kvikkleire. Både Lade 1 og Lade 2 følgde det same laget (Holmsen & Holmsen, 1946).

Lade 1

Terrenget sank ned på begge sider av Lade allé og det gamle elveleiet blei heva 10 m. Skredmassane gjekk altså ned i Ladebekken og deretter opp 8 m på motsett elvebreidd. Terrengoverflata blei etter skredet liggjande som trappetrinn, hellande innover mot skredkanten. Rørsleretninga til skredmassane var på skrå i forhold til høgdekotene. Leirskredet var ikkje flytande og det var kun langs glideplanet at kvikkleire vart observert (Holmsen & Holmsen, 1946).



Fig. 1. Skredet på Lade i 1944. Foto: NGU.

Vitneskildring av fru Olsen: ”..at terrenget nede ved bekken i den vestlige del av raset kom i bølgeformet bevegelse og forplantet seg oppover slik at hele gressbakken bølget..” (Holmsen & Holmsen, 1946).

Hovudårsaka til skredet er antatt å vera tyskarane sin uforsiktige graving i bakken i forbindelse med etablering av nyt lagerrom og feil dimensjonering av ein skråning ifbm. etablering av ny brakke. Kulverten til Ladebekken gjekk også gjennom skråninga. Ein stor fylling i hjørnet på skråninga i nordaust, var årsaka til at skredet utvida seg så langt i austleg retning sjølv om det ikkje fantes kvikkleire i området (Holmsen & Holmsen, 1946).

Lade 2

Attståande steile skredkantar var ustabile og nye skred med framoverretta rørsleretning, gjekk 26. og 30.juli. Også her var det kun observert kvikkleire på glideflata.

Skredmassane frå Lade 2 sklei oppå massane frå Lade 1. Dette skapte små forskyvingar i dei første skredmassane og fremste kant av skredmassane rykka nokre meter fram. Vollen med høgdekote 13 var stabil under skred nr.2 og skredmassane blei avbøgd rundt denne (Holmsen & Holmsen, 1946).

For å hindre nye skred vart område sikra ved å endre skråninga på skredkanten til 20° og $10\ 000\ m^3$ jord vart lagt i foten av skråninga for stabilisering (Holmsen & Holmsen, 1946).

Kommentar:

Det fantes eit kart over skredområde i målestokk 1:1000, slik at det var mogleg å konstruere terrengeoverflata før og etter skredet nøyaktig (figur 2). Datakvaliteten er derfor vurdert til god. Volumanslaget er henta frå skrednett.

Det utførte sikringsarbeidet (skaving, flytting av massar) og etablering av hus har endra terrenget slik at skredkanten er heilt viska ut. Den innteikna skredkanten er derfor funnet ved hjelp av figur 2. Den raude, stipla linja viser omfanget til det første skredet, medan den blå, stipla linja viser omfanget av etterskreda.

" W_0 " og " W_m " funnet i ArcMap samsvarar med karta, men "L" og "R" varierer. Målingar gjort på den estimerte skredkanten må derfor foretas med varsemd.



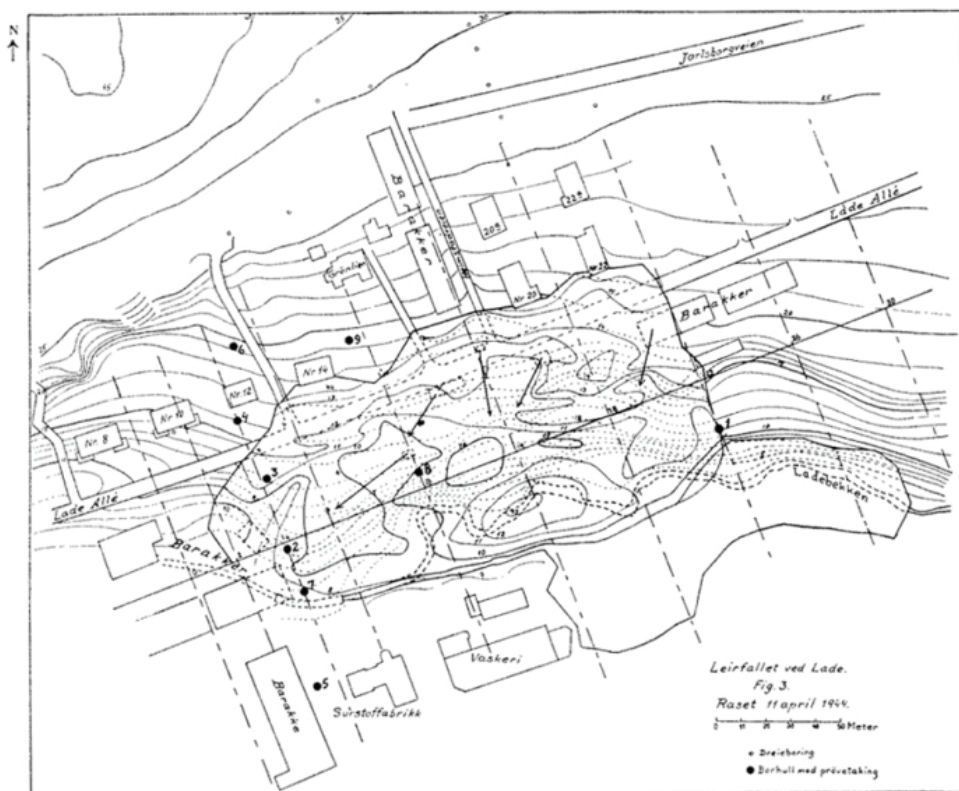


Fig. 2a. Kart over skredgropa "Lade 1" som også viser rørsleretning (Holmsen & Holmsen 1946).

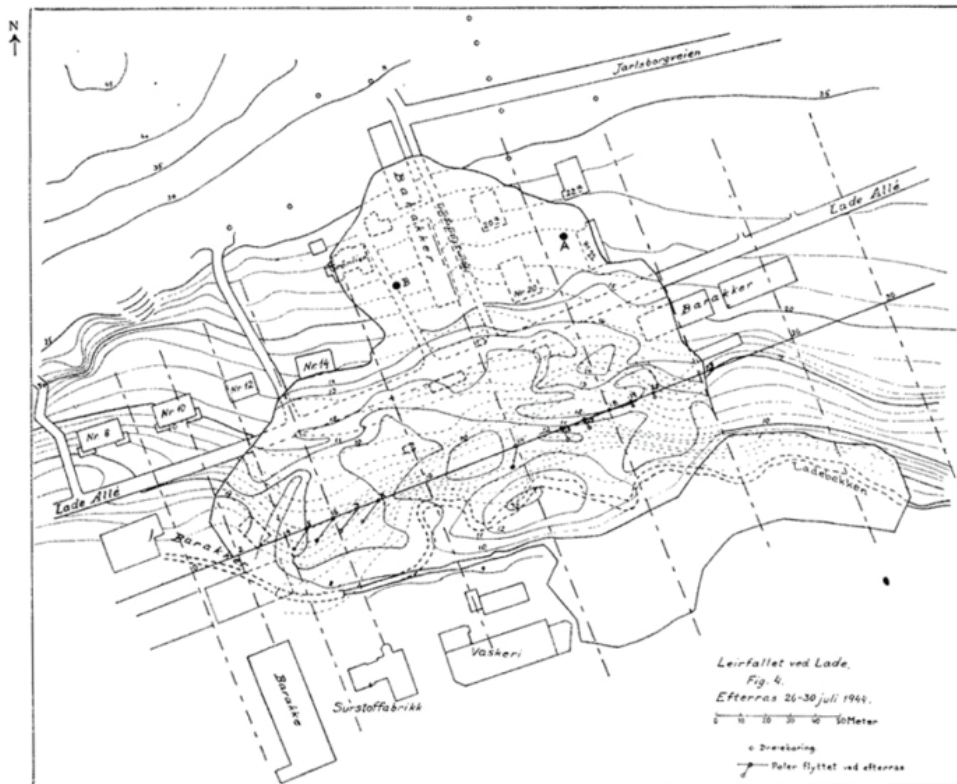


Fig. 2b. Kart over heile skredgropa etter skredet "Lade 2" gjekk, også med rørsleretning (Holmsen & Holmsen 1946).

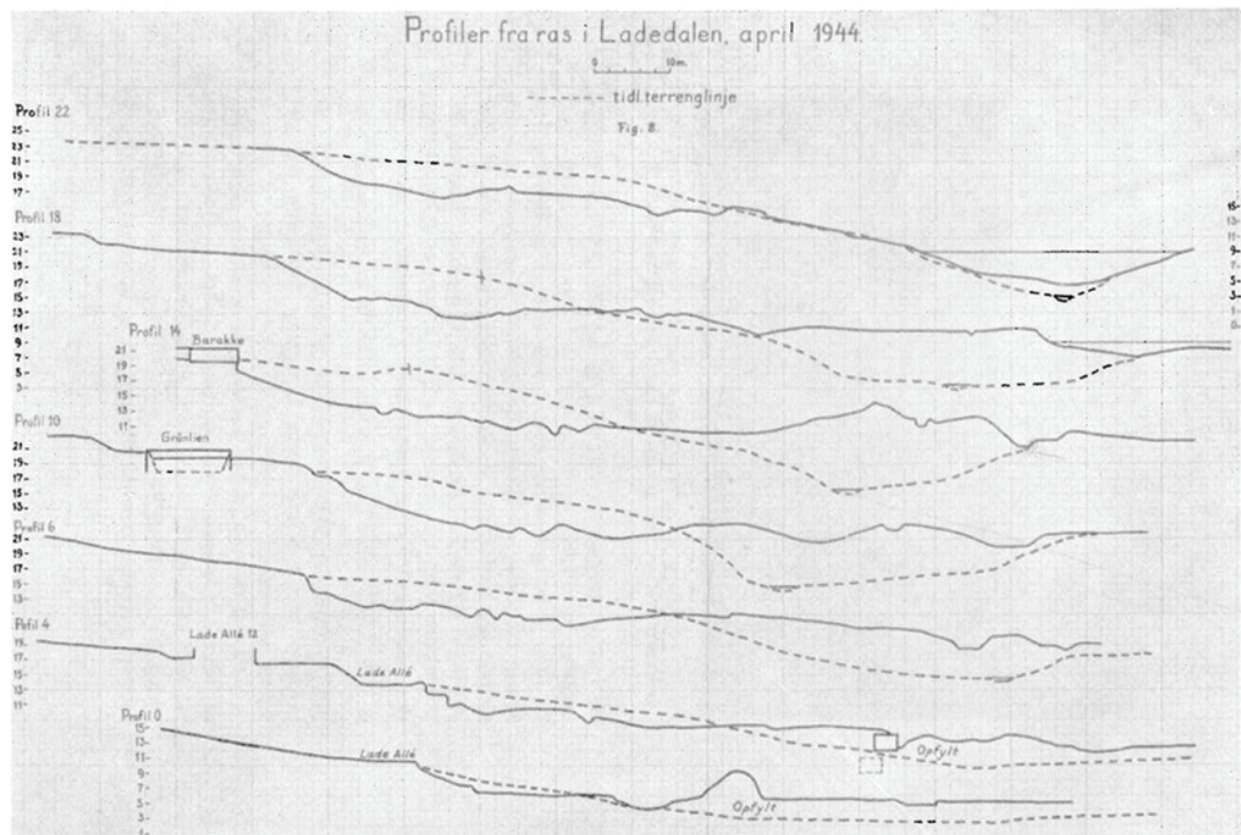


Fig. 2c. Profiler er nummeret på karta 2a og 2b (Holmsen & Holmsen 1946).

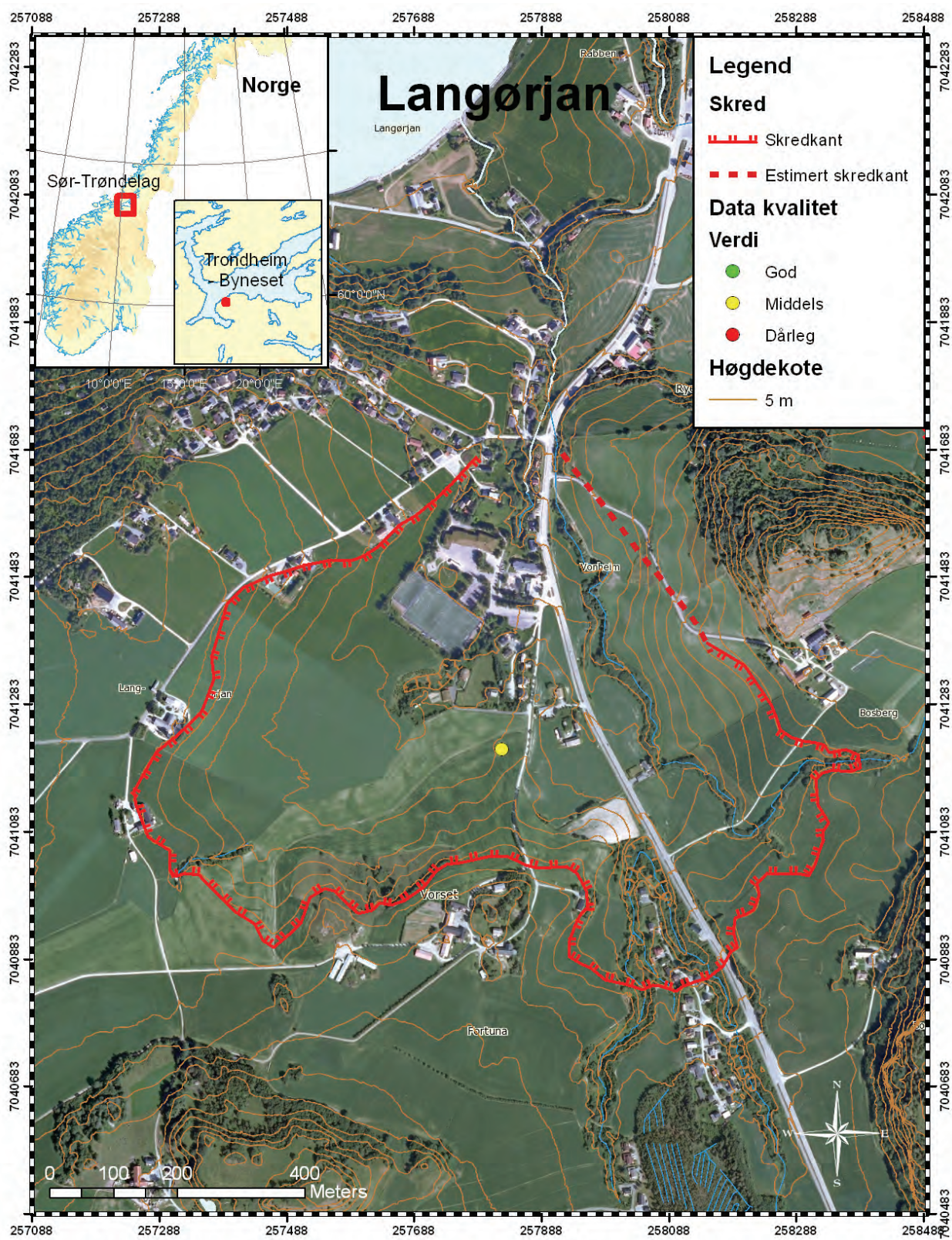
Langørjan	
Fylke: Sør-Trøndelag	Data kvalitet: 2
Kommune: Trondheim	Skrednett ID: ingen
Dato: ukjent	Koordinatar (UTM33N)
Omkomne: ukjent	X: 257825 Y: 7041212
Lausmassar: Hav- og fjordavsetninger	Fjell: Nei
Skredtype: Flow	Areal (m ²): 540 000 Volum (m ³): 11 000 000

Kommentar:

Lite informasjon om skredet finnes, men skredet er avmerka på kart (Reite et al, 1999) og vist i NGU (2011). Skredet er mest sannsynleg forhistorisk.

Område er i dag nytta til jordbruk og slik aktivitet viskar ut spor. Innteikna skredkant er forsøkt funnet ved å følgje terrasseflata ved ca. 100 moh. (Holmsen, 1929), men særlig siste del av skredkanten i aust er unøyaktig. Dette kjem av bilvegen som går der. Skredkanten måtte derfor estimerast og det blei beslutta å følge skredkanten i NGU (2011).

Fordi det finne lite informasjon om skredet er ikkje utlösingsårsaka kjent, men litt kan seiast om skredområde for det. Område ligg nær fjellet opp til Bymarka i aust. Det kan derfor hende at det er artesisk grunnvatn i skredområde.



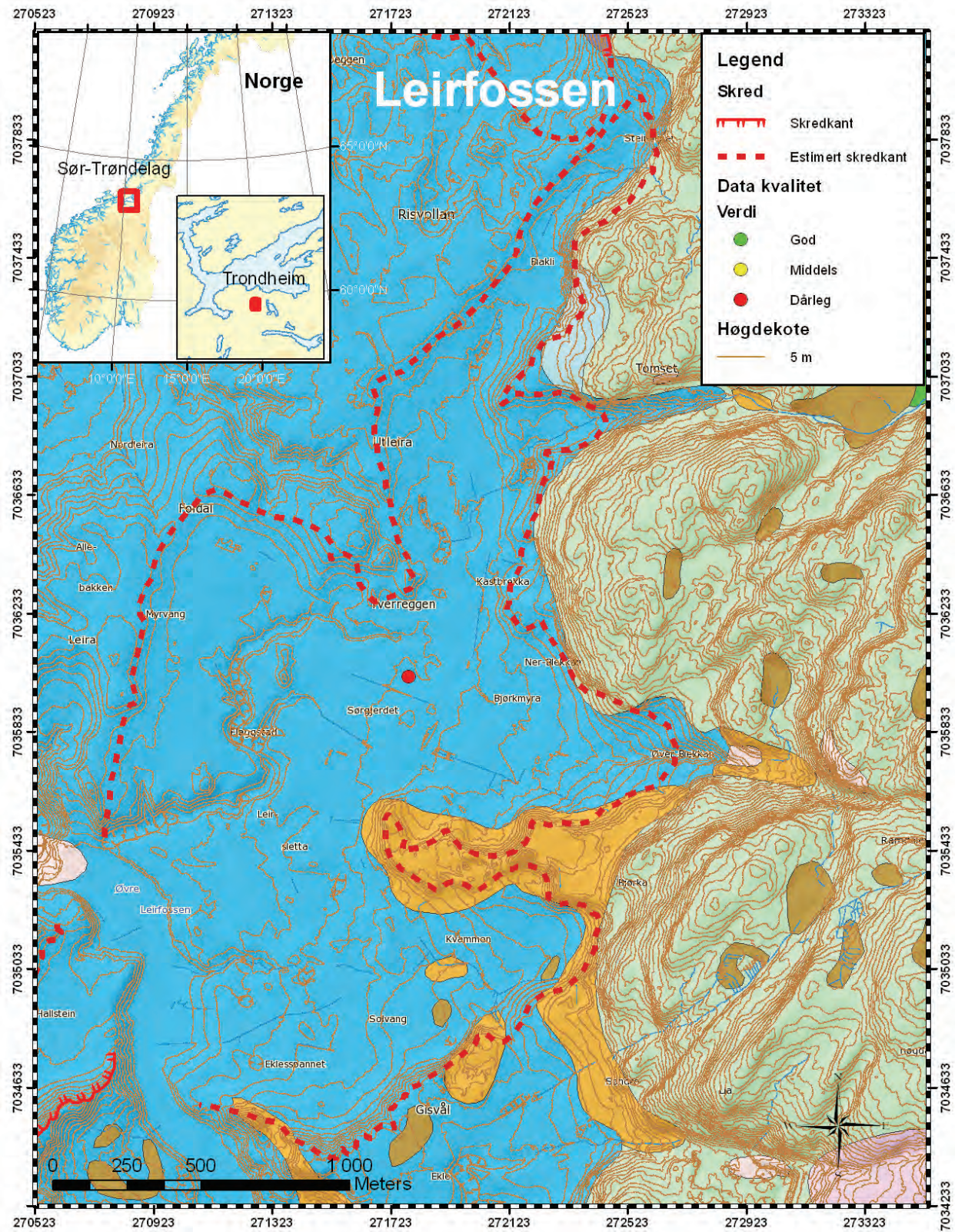
Leirfossen	
Fylke: Sør-Trøndelag	Data kvalitet: 3
Kommune: Trondheim	Skrednett ID: ingen
Dato: Forhistorisk	Koordinatar (UTM33N)
Omkomne: ukjent	X: 271783 Y: 7036019
Lausmassar: Hav- og fjordavsetninger	Fjell: Ja, langs kanten i aust
Skredtype: ?	Areal (m ²): 3 000 000 Volum (m ³): 75 000 000

Kommentar:

Lite informasjon om skredet finnes, men skredet er avmerka på kart (Reite et al, 1999) og vist i NGU (2011). Skredet er forhistorisk. Skredgropa er framleis synleg, men det finnes mykje busetnad i skredområde slik at det er umogleg å definere opphavlege skredkant og skredkanten er derfor estimert.

På grunn av forma blir det antatt at skredet gjekk i fleire omgangar. Den lange og smale delen i nord har mest sannsynleg blitt utløyst av ustabil skredkant som oppstod på grunn av den retrogressive rørsla til hovudskredet. Dette kan forklare kvifor skredet endra retning på den måten det har gjort. Legg merke til at det er ulik djup i skredgropa.

Fordi skredet er veldig stort og har utradisjonell form, i tillegg til at det er forhistorisk, er det vanskeleg å finne parametrar som representerer skredet godt.

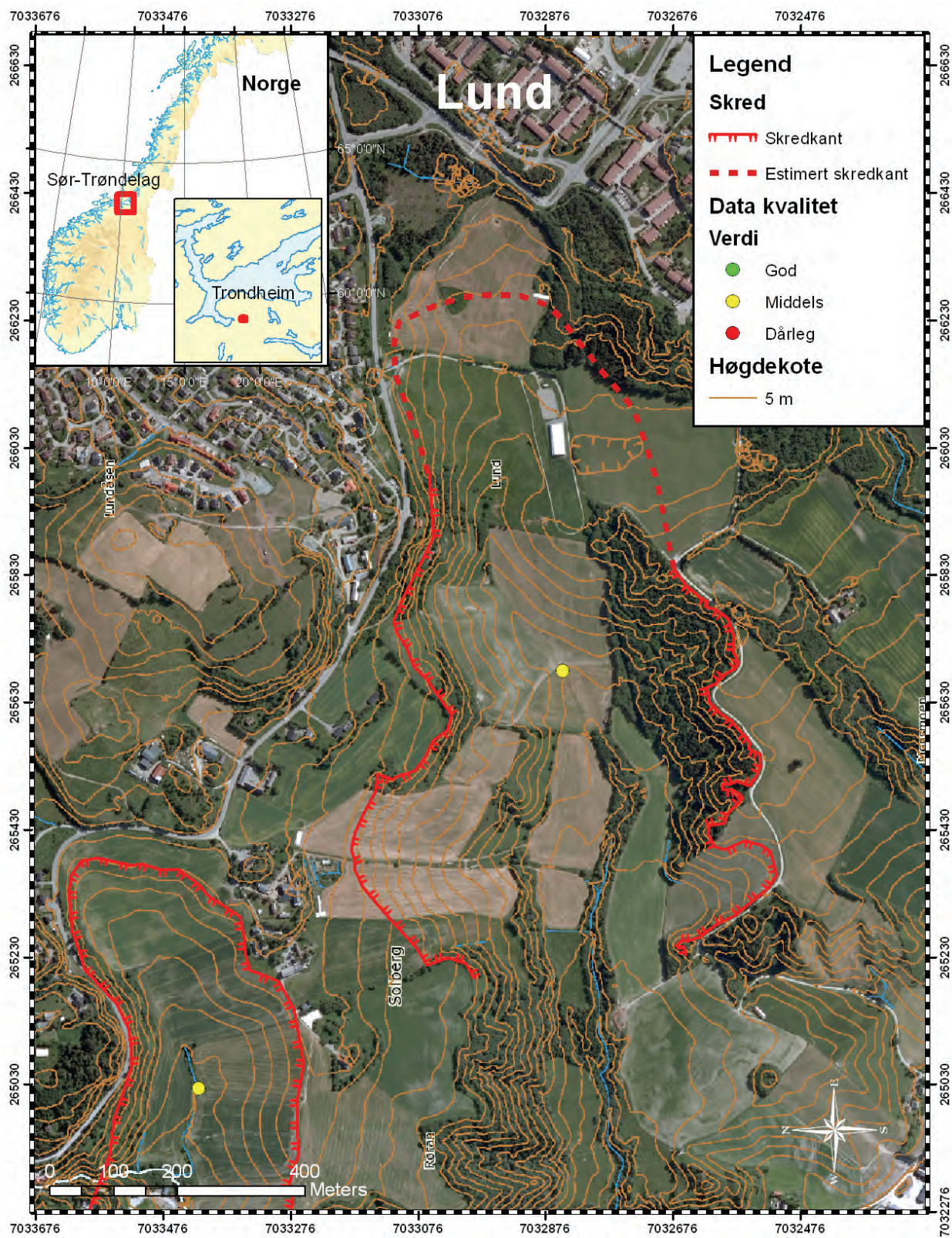


Lund	
Fylke: Sør-Trøndelag	Data kvalitet: 2
Kommune: Trondheim	Skrednett ID: ingen
Dato: Forhistorisk	Koordinatar (UTM33N)
Omkomne: ukjent	X: 265680 Y: 7032848
Lausmassar: Hav- og fjordavsetninger	Fjell: Nei
Skredtype: Flow	Areal (m ²): 460 000 Volum (m ³): 4 600 000

Kommentar:

Lite informasjon om skredet finnes, men skredet er avmerka på kart (Reite et al, 1999) og vist i NGU (2011).

Den innteikna skredkanten er basert på skredkanten i NGU (2011), men flyttet inntil terrenget der det oppstod usemjefall mellom innteikna skredkant og høgdekoter. Det er jordbruksaktivitet i skredområde og det må antas at dette har viska bort opphavlege trekk. Volumanslaget er basert på innteikna skredkant i ArcMap.



Olderdalen

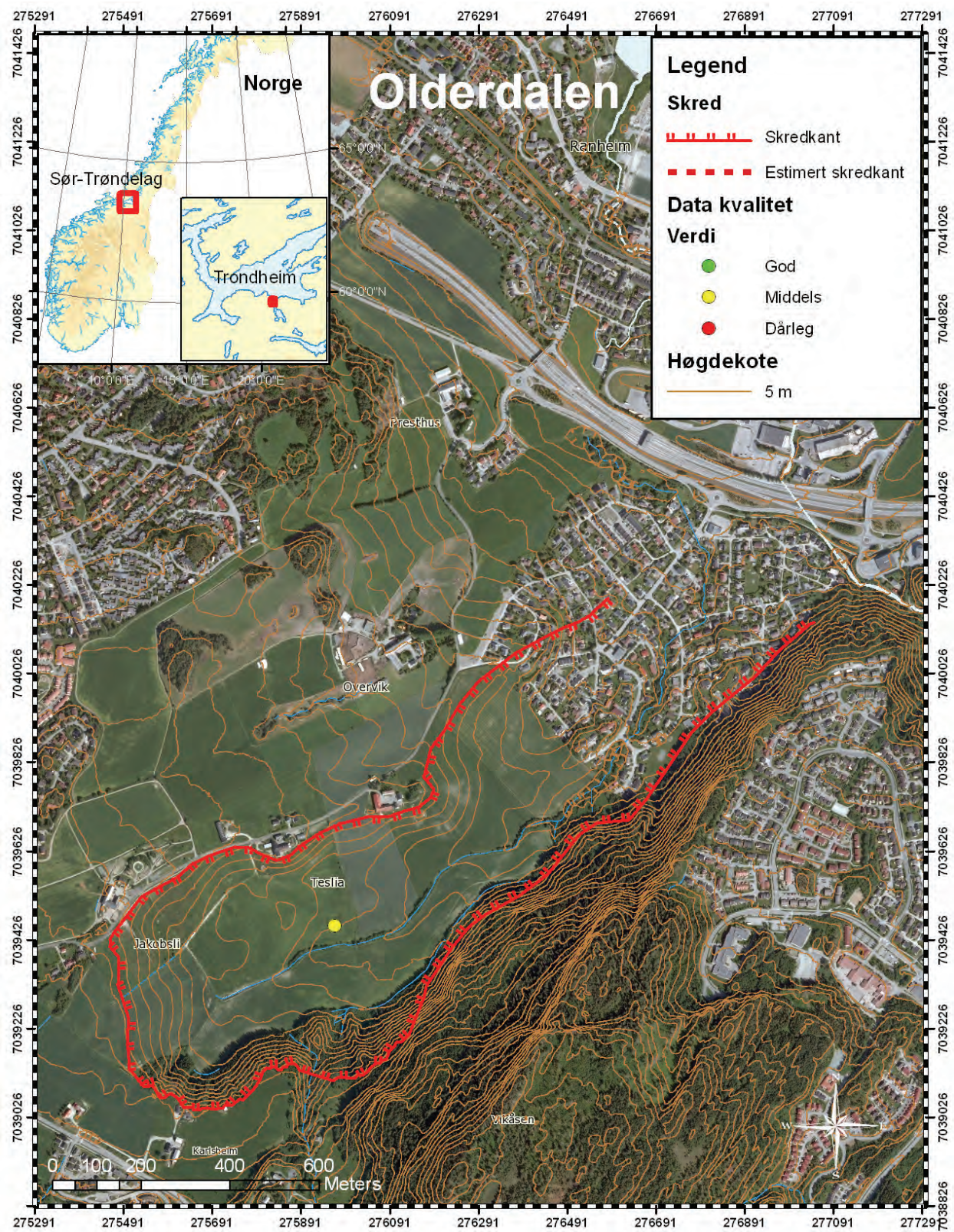
Fylke: Sør-Trøndelag	Data kvalitet: 2
Kommune: Trondheim	Skrednett ID: 36159
Dato: Forhistorisk	Koordinatar (UTM33N)
Omkomne: ukjent	X: 275966 Y: 7039457
Lausmassar: Hav- og fjordavsetninger	Fjell: Ja, langs kanten i sør aust
Skredtype: Flow	Areal (m ²): 600 000 Volum (m ³): 25 000 000

Kommentar:

Lite informasjon om skredet finnes, men skredet er avmerka på kart (Reite et al, 1999) og vist i NGU (2011).

Skredgropa er framleis godt synleg sjølv om skredet er forhistorisk. Den estimerte skredkanten er den same som den innteikna skredkanten i NGU (2011), men modifisert etter høgdekotene for å unngå unormal kryssing av desse.

Skredet har fleire likskapar med Rissaraset og då særleg skredforma. Ved Rissa vart det påvist ei lomme med kvikk leire nær fjellet. Tilsvarande kvikkeleiredanning kan ha skjedd i Olderdalen på grunn av den relativt like fjellkontakten.



Othilienborg	
Fylke: Sør-Trøndelag	Data kvalitet: 3
Kommune: Trondheim	Skrednett ID: ingen
Dato: Forhistorisk	Koordinatar (UTM33N)
Omkomne: ukjent	X: 271873 Y: 7038763
Lausmassar: Hav- og fjordavsetninger	Fjell: Ja, i sør aust
Skredtype: Flow	Areal (m ²): 2 330 000 Volum (m ³): 70 000 000

Info:

I Othilienborg i Trondheim gjekk det i forhistorisk tid eit stort kvikkleireskred. Nidelva sitt meanderande elvelauv har skjert seg ned i terrenget og att står elveterrassar som vitnar om korleis landskapet såg ut for mange år sidan.

Erosjon i skråningsfoten ein vanleg utløysningsfaktor for kvikkleireskred, og Nidelva sin erosjonsaktivitet har difor heilt sikkert redusert stabiliteten til skredområdet. Skredmassane blei frakta bort med elva.

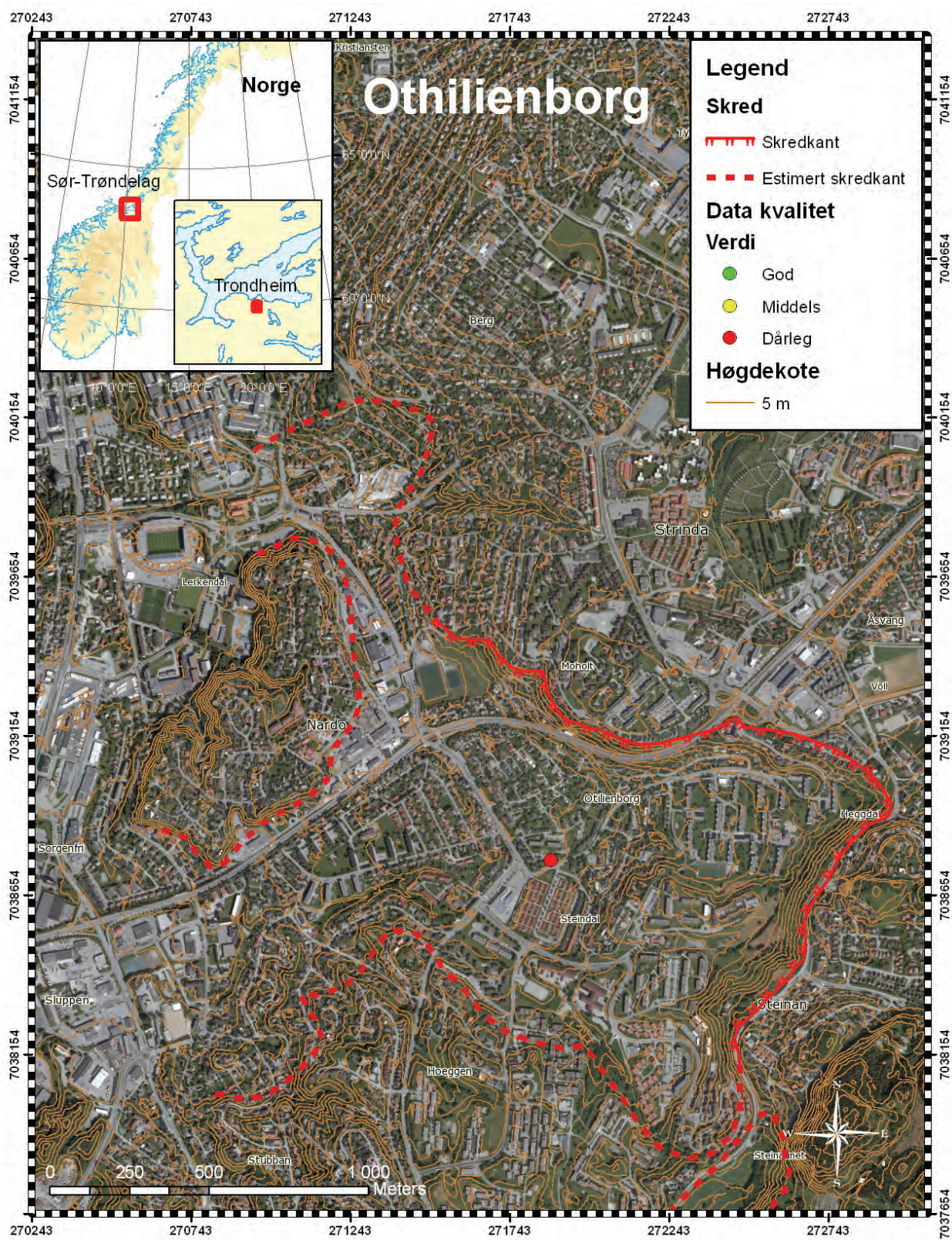
Grunnundersøkingar nord for skredgropa fortel om leirmektigheitar større enn 30 m, mens inne i gropa, ikkje langt frå Steindal, er det registrert leirmektigheitar på 6 m.

Kommentar:

Store deler av skredgropa er framleis godt definert, slik som kanten i aust og deler av kanten i nord. Desse er funnet mha. "FKB høgdekurver 5m". Som vanleg finnes det område der det ikkje er mogleg å finne skredkanten. Her er den imteikna estimerte skredkanten den same som skredkanten i NGU (2011).

Skredgropa er noko utypisk, slik at målingar av " W_0 " og " W_m " er av mindre verdi. Det kan nemnast at " W_0 " er målt på den smalast breidda og " W_m " er målt innerst i skredgropa.

Skråninga i nord er nytta til å definere parametrane, men det er likevel vanskeleg å anta korrekt plassering av crest. På grunn av usikkerheita om parametrane, og at skredkanten i stor grad er estimert, er datakvaliteten vurdert til dårlig.



Rissa 1

Fylke: Sør-Trøndelag	Data kvalitet: 1
Kommune: Rissa	Skrednett ID: 36151
Dato: 29.04.1978	Koordinatar (UTM33N)
Omkomne: 0	X: 249566 Y: 7057735
Lausmassar: Hav- og fjordavsetninger	Fjell: Ja, i aust
Skredtype: Flake and flow	Areal (m ²): 30 000 Volum (m ³): 150 000

Rissa 2

Fylke: Sør-Trøndelag	Data kvalitet: 1
Kommune: Rissa	Skrednett ID: 36151
Dato: 29.04.1978	Koordinatar (UTM33N)
Omkomne: 1	X: 248899 Y: 7057302
Lausmassar: Hav- og fjordavsetninger	Fjell: Ja, i aust
Skredtype: Flake and flow	Areal (m ²): 330 000 Volum (m ³): 5 000 000

Info:

Rissa ligg mellom Trondheimsfjorden og brakkvannssjøen Botnen. Område består av 20-30 m med leiravsetninger, avsett oppå ein randås som blei danna når isrørsla var frå nordaust mot sørvest. Kvartærgeologien er skildra i detalj av Løfdali et al (1981). Skredmassane hadde ein hastigheit på 30-40 km/t (Gregersen, 1981) og forårsaka ei flodbølgje med høgd på 1-7 m (Larsen & Lied, 1978).

700 m³ jord vart tatt ut i forbindelse med utbygging av ein fjøs og plassert langs strandkanten til Botnen (Gregersen, 1981). Fjellet i sør og ikkje sensitiv leire i vestleg skredkant, er årsaka til den noko spesielle forma til skredet. Glidelaget falt delvis saman med opphavleg lagdeling. Løfdali et al (1981) nemner at artesisk grunnvatn frå den bratte fjellsida i sør aust, hadde utvaska leira og dermed gjort den sensitiv.

Rissa 1

Den nordlegaste grøne prikken representerer "Rissa 1". Skredet vart utløyst to dagar etter at fyllmassane vart lagd på strandkanten, og dette er nok den utløysande årsaka. Gregersen (1981) fortel at 70-90 m av strandkanten sklei ut i Botnen, inkludert halvparten av den nye fyllinga. Skredkantar var 5-6 m høg og strakte seg 15-25 m innover land. Dei neste 40 minuttane utvikla skredet seg retrogressivt 450 m mot sørvest, fig.3.

Rissa 2

Den sørlegaste, grøne prikken (data kvalitet), representerer "Rissa 2". Fig.3 viser korleis skredet utvikla seg. Eit stort flak, B, lausna og sklei ut i Botnen. Flaket hadde ein fart på 10-20 km/t. Deretter lausna eit anna stort flak, C, med retning parallelt med fjellet. Huset som stod på flak C, vart filma medan det segler på omrørt kvikkleire mot Botnen med ein fart 30-40 km/t. Til sist gjekk det ei rekke små skred som forplanta seg langs fjellryggen og opp til punkt D.

Kommentar:

Skredkanten er basert på skredkanten som er registrert i NGU (2011). Fordi område i dag er planert ut og nyttet til jordbruk, er det ingen spor etter skredet. Nøyaktig plassering er derfor funnet ved å studere Aftenposten sitt bilde av skredgropa (Aftenposten, 2008).

Gravimetriske målinger i Botnen (L'Heureux et al,2011) i kombinasjon med mykje litteratur om skredet gjer at skredet er svært godt dokumentert og datakvaliteten blir god.

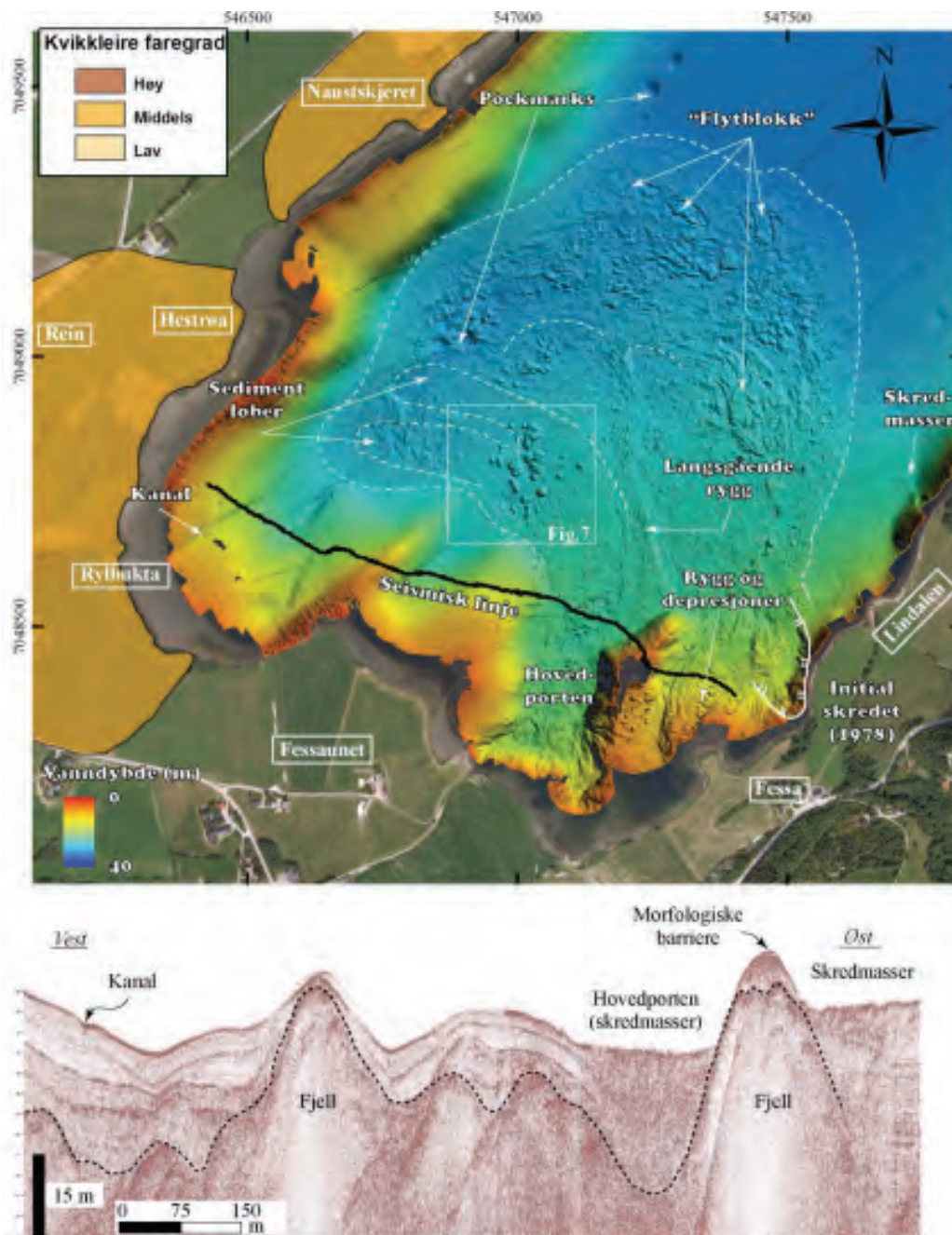
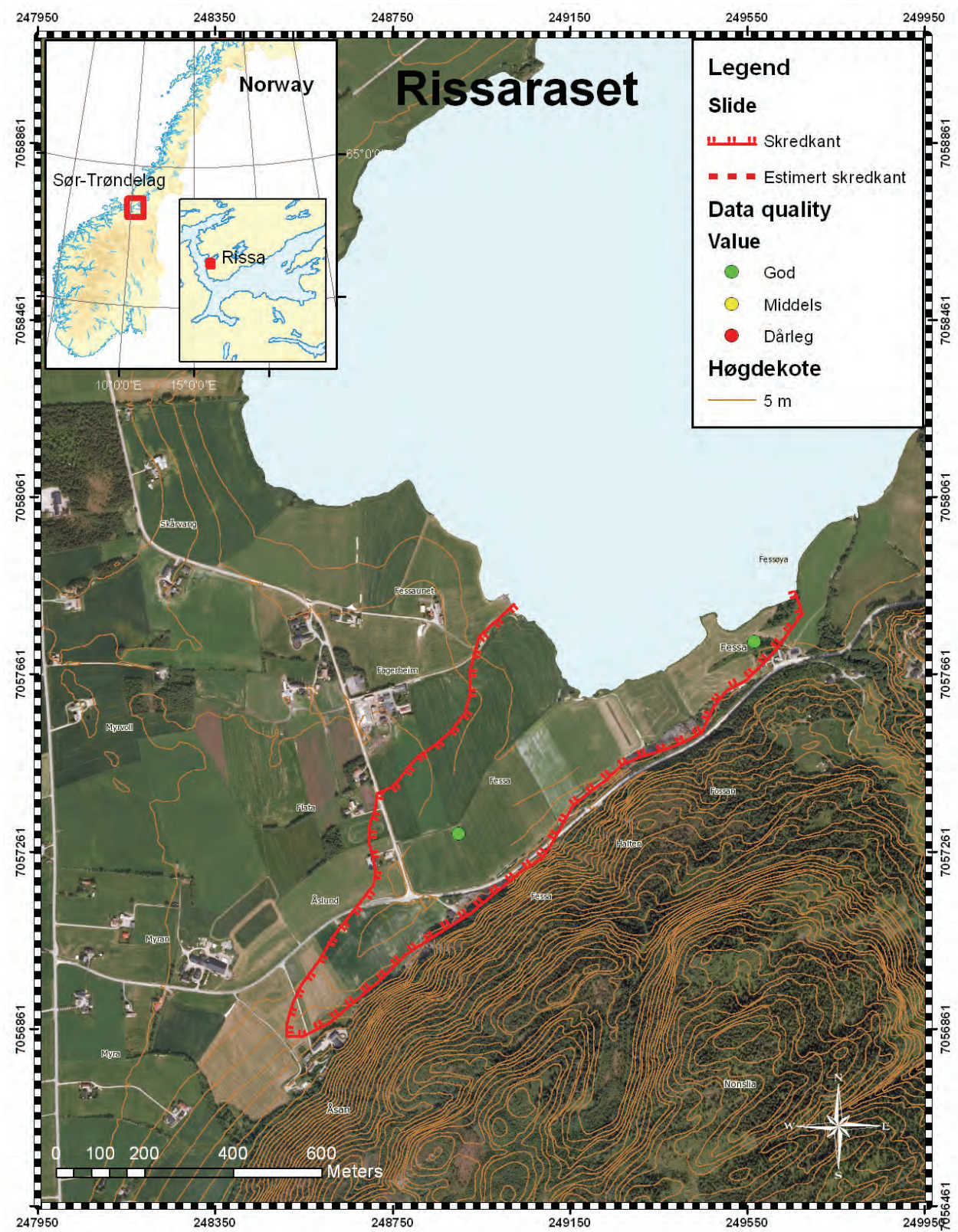


Fig. 1. Øvst: Detaljert morfologi av sjøbotnen i sørleg del av Botn. Skredmassane frå Rissa er svært synleg. Nedst: Profil av sjøbotnen i sørleg del av Botn som viser fjelltopografien saman med skredavsetninga frå Rissaraset (L'Heureux et al. 2011).



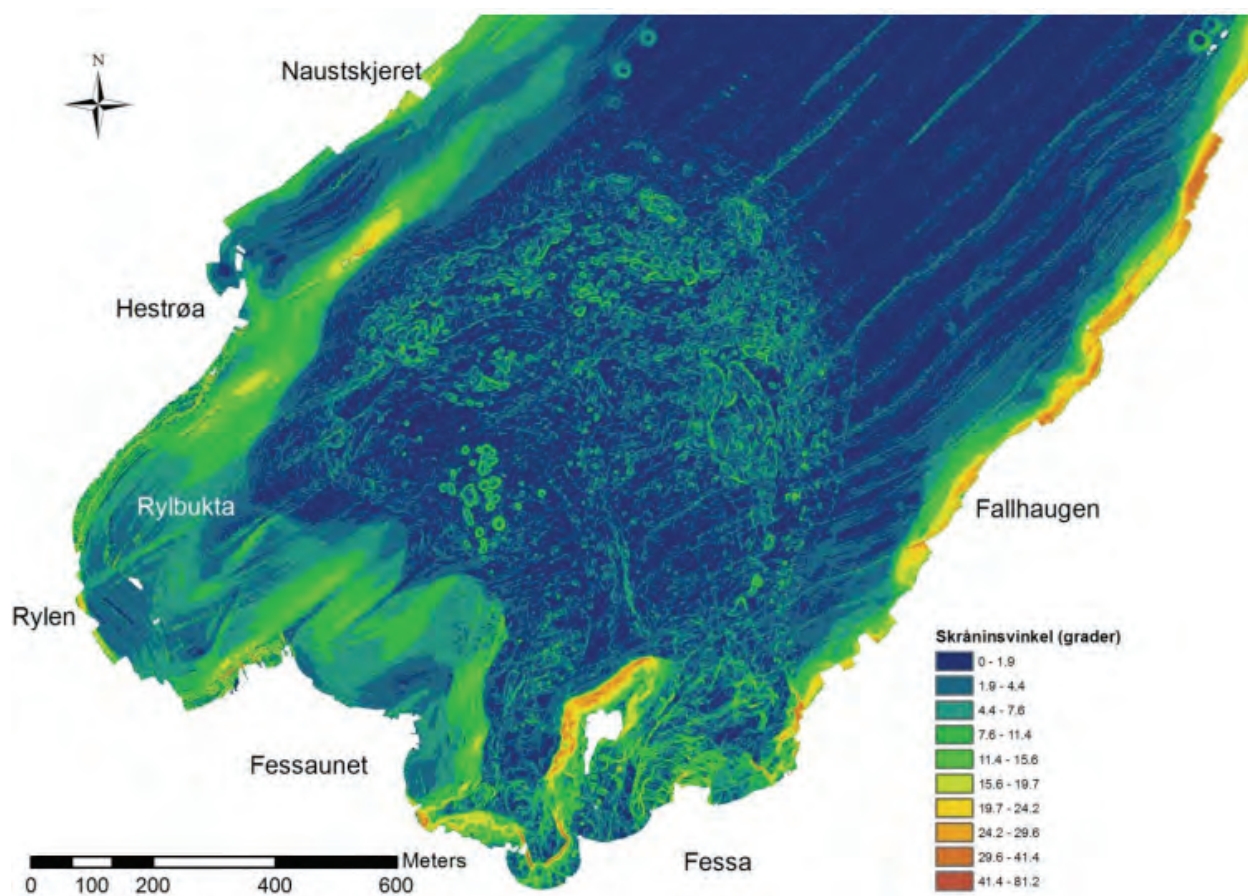


Fig. 2. Kart over sørleg del av Botn som viser skråningsvinkel (L'Heureux et al. 2011).

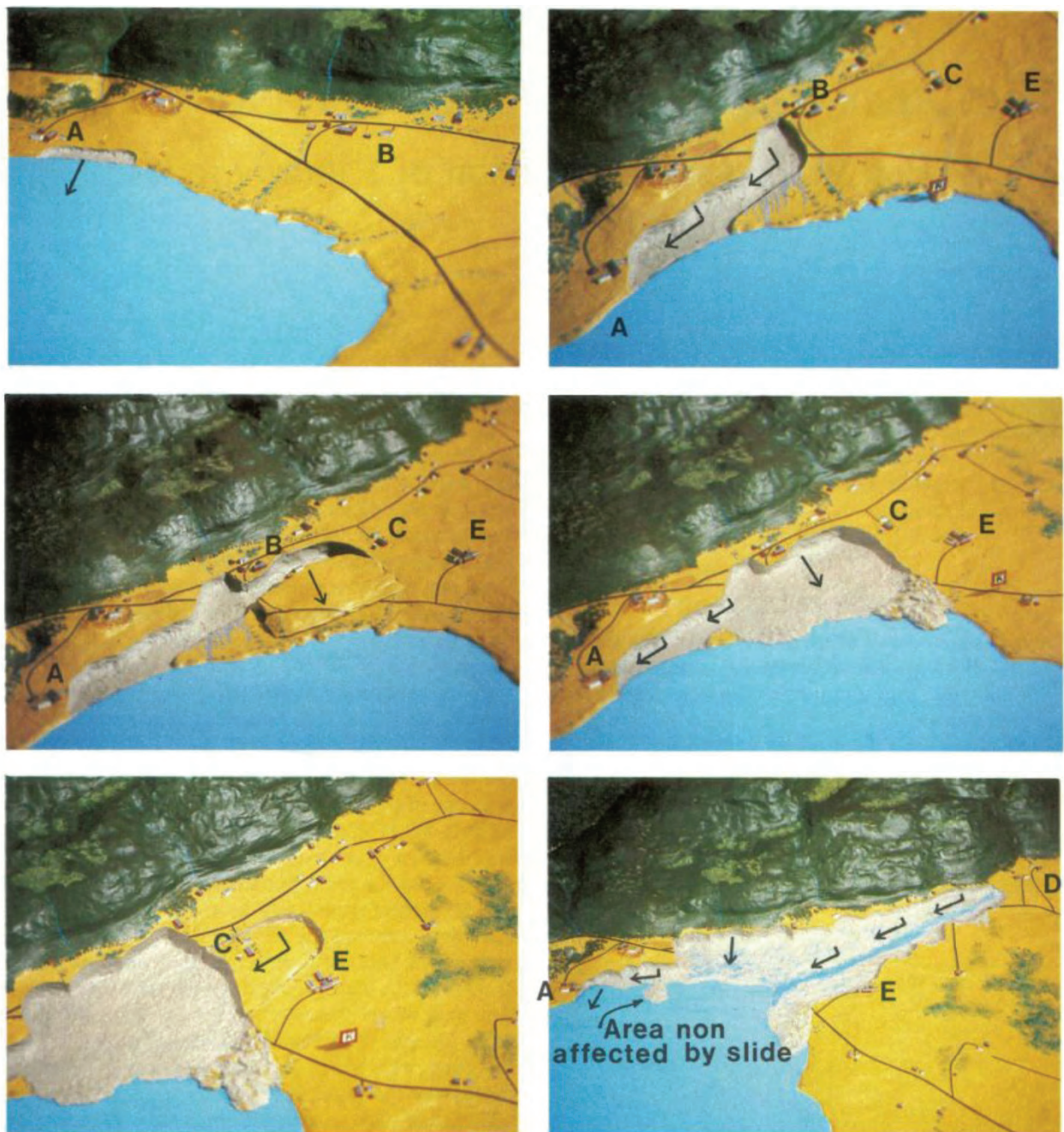


Fig. 3. Hendelsesforløpet til Rissaraset (Gregersen 1981).

Rørdal	
Fylke: Sør-Trøndelag	Data kvalitet: 2
Kommune: Trondheim	Skrednett ID: ingen
Dato: Forhistorisk	Koordinatar (UTM33N)
Omkomne: ukjent	X: 265024 Y: 7033420
Lausmassar: Hav- og fjordavsetninger	Fjell: Ja
Skredtype: ?	Areal (m ²): 270 000 Volum (m ³): 3 300 000

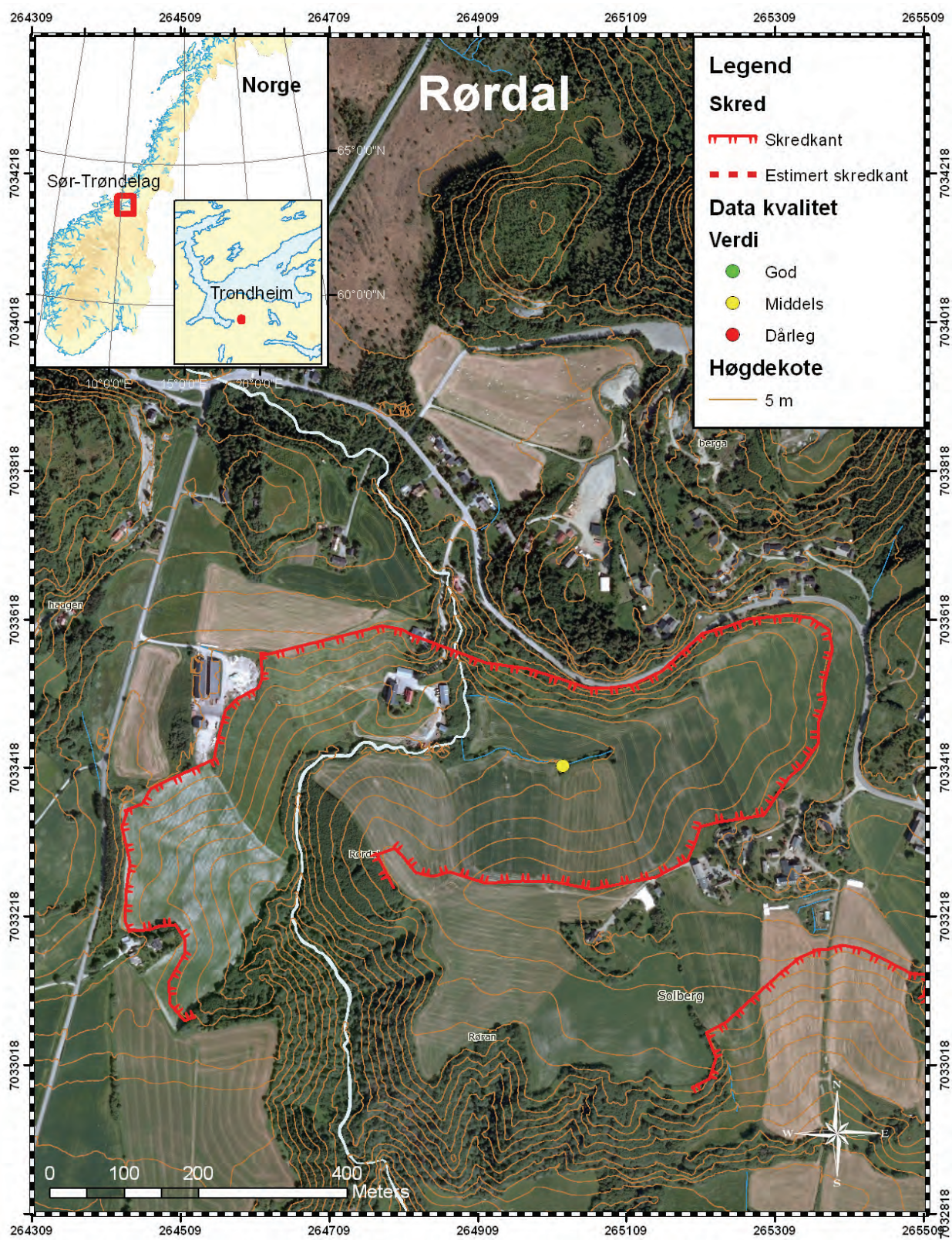
Kommentar:

Lite informasjon om skredet finnes, men skredet er avmerka på kart (Reite et al, 1999) og vist i NGU (2011).

Skredgropa er godt synleg, men fordi område er i dag nytta til jordbruk, det er lenge si skredet gjekk og det finnes fleire vegar i område, er skredkanten blitt utjamna.

Den innteikna skredkanten er i stor grad basert på skredkanten i NGU (2011), men den er flytta litt til slik at den føl terrenget og ikkje kryssar høgdekoter på ein unaturleg måte.

Alle parametrar er funnet i ArcMap, men på grunn av usikkerheita rundt skredkanten er parametrane vurdert til middels god kvalitet.



Selnes	
Fylke: Nord-Trøndelag	Data kvalitet: 1
Kommune: Namsos	Skrednett ID: 36301
Dato: 18.04.1965	Koordinatar (UTM33N)
Omkomne: 0	X: 328134 Y: 7149511
Lausmassar: Hav- og fjordavsetninger	Fjell: Ja, langs bakkanten i sørvest
Skredtype: Flow	Areal (m ²): 18 000 Volum (m ³): 140 000

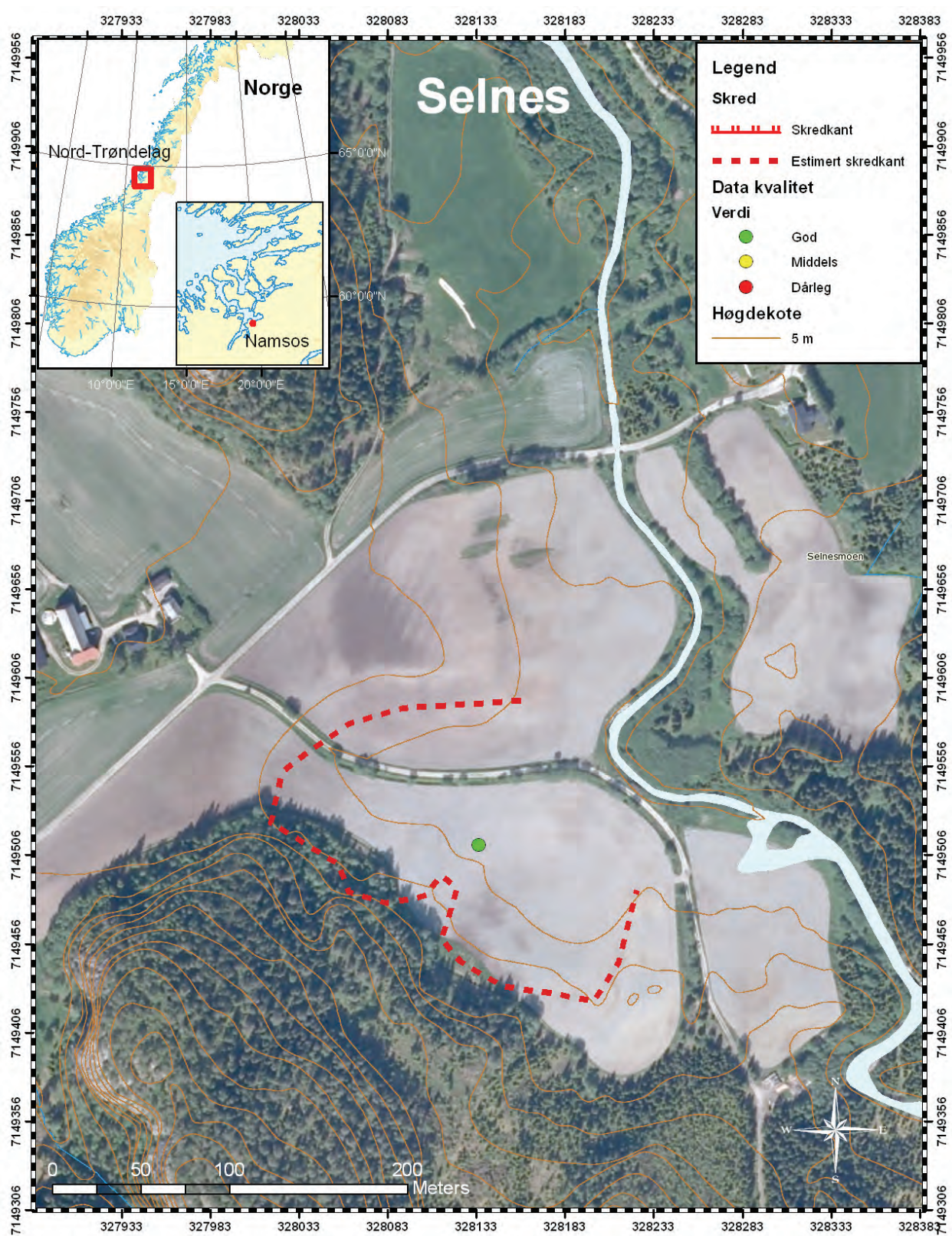
Kommentar:

I slutten av mars vart det oppdaga sprekker i snøen (20 m lange og 2-3 tommar breie). Når skredet vart utløyst den 18.april, var det dette partiet som raste først, sjå figur 1. Deretter utvikla Selnesskredet seg retrogressivt bakover og til begge sider og deretter vidare mot skrånninga til Johan Selnes sin gard, sjå figur 1. Til sist gjekk skredet retrogressivt mot uthuset til Johan Selnes. Heile hendinga tok kun få minutt (Rolfsen, 1966).

Det finnes så godt som ingen spor etter skredet og skredkantane er for lengst viska ut. Skredkanten er forsøkt likevel innteikna med hjelp av teikningar av Rolfsen (1966). Dette er for visualiseringa si del og det bør ikkje utførast målingar på den estimerte skredkanten.

"Trend I" viser i dette tilfellet retninga til initialskredet og "Trend R" viser retninga til skredet når det bevegde seg retrogressivt mot garden til Johan Selnes.

Dølabekken buktet seg inntil skråningsfoten til skredområde og erosjon i foten kan dermed ha vore det som utløyste skredet.



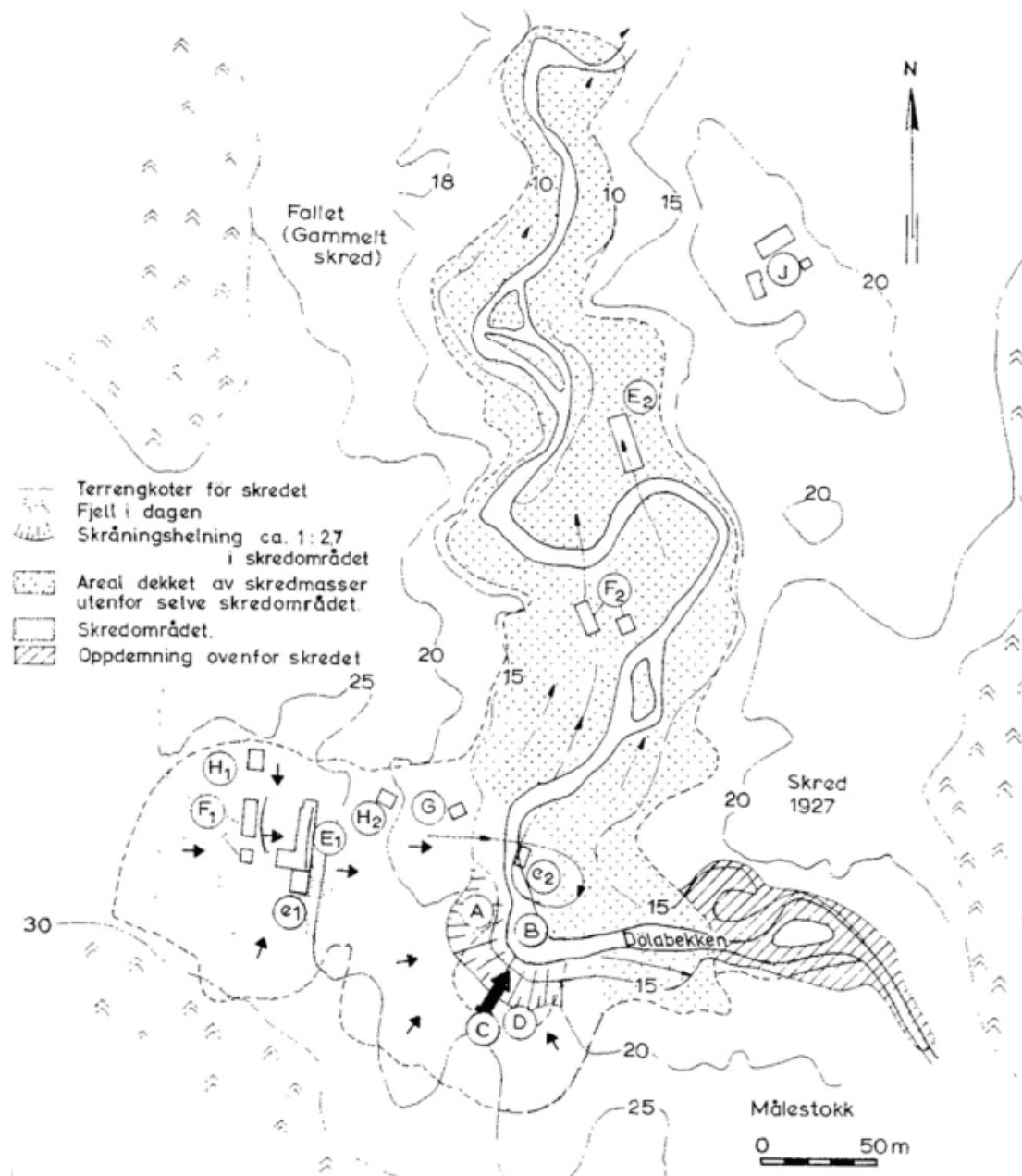


Fig. 1a. Oversiktskart over skredområdet. A. Utgliding i 1959. B. Skredmasser frå 1959, grove vekk av bekken i tida fram til 1965. C. Sprekk danna før skredet i 1965. D. Primærskredet. E-K. Husa til Johan Selnes sin gard. (E1 før og E2 etter skredet)- E. Uthus. F. Hovudbygg og stabbur. G. Sommarfjøs. H. Kårstue. J. Garden til Olai Selnes. Pilene angjev rørsleretninga til skredmassane (Rølfson 1966).



Fig. 1b. Flyfoto av skredområde, teke den 27.april 1965 (Rolfsen1966).

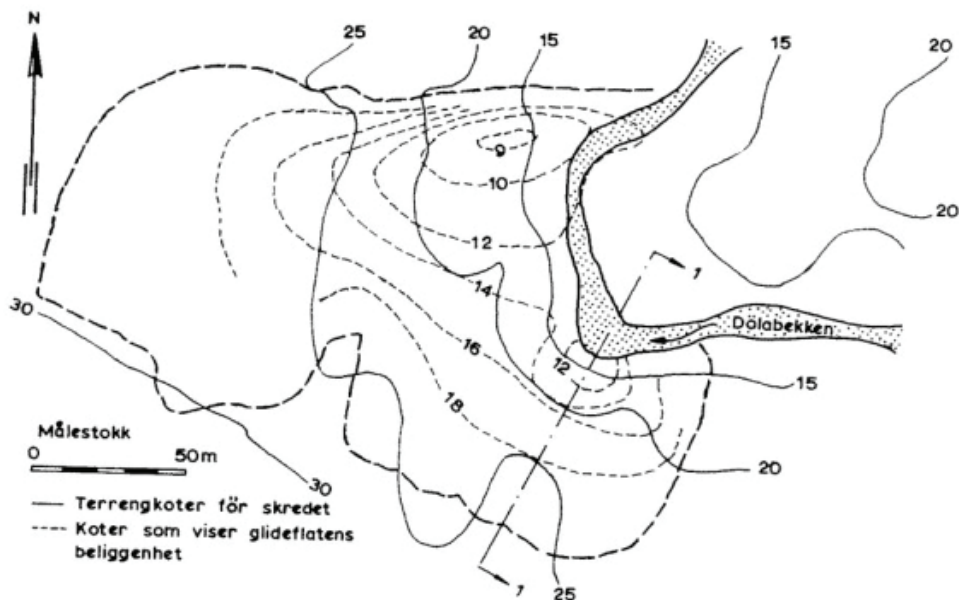


Fig. 1c. Kartet viser plassering og forma til glideflater eller grenseflater mellom skredmassar og intakt kvikkleire. Viser også plassering til registrert profil 1-1 (fig. 1d) (Rølfsen 1966).

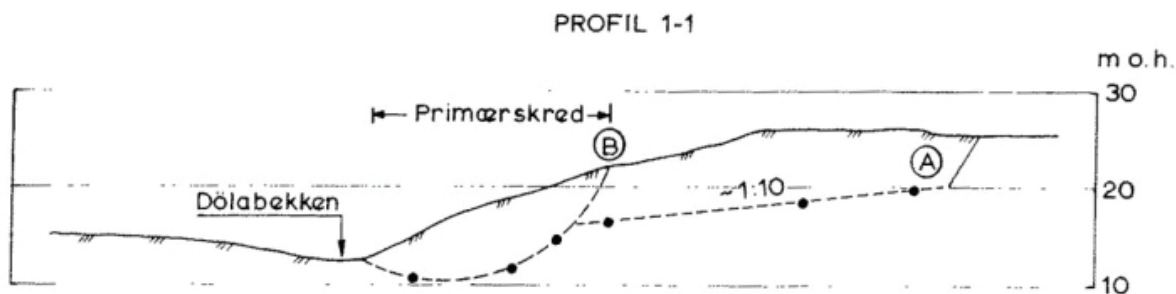


Fig. 1d. Profil 1-1 viser den registrerte glideflata i område kor initialskredet gjekk. Første glideflate var sirkulærsylindrisk. B viser antatt plassering til den observerte sprekken før skredet gjekk, mens A viser den plane glideflata kor skredet innanfor gjekk. Punkta angjev kor glideflata vart målt (Rølfsen 1966).

Sjetnemarka	
Fylke: Sør-Trøndelag	Data kvalitet: 2
Kommune: Trondheim	Skrednett ID: ingen
Dato: Forhistorisk	Koordinatar (UTM33N)
Omkomne: ukjent	X: 270109 Y: 7034849
Lausmassar: Hav- og fjordavsetninger	Fjell: Nei
Skredtype: Flow	Areal (m ²): 910 000 Volum (m ³): 30 000 000

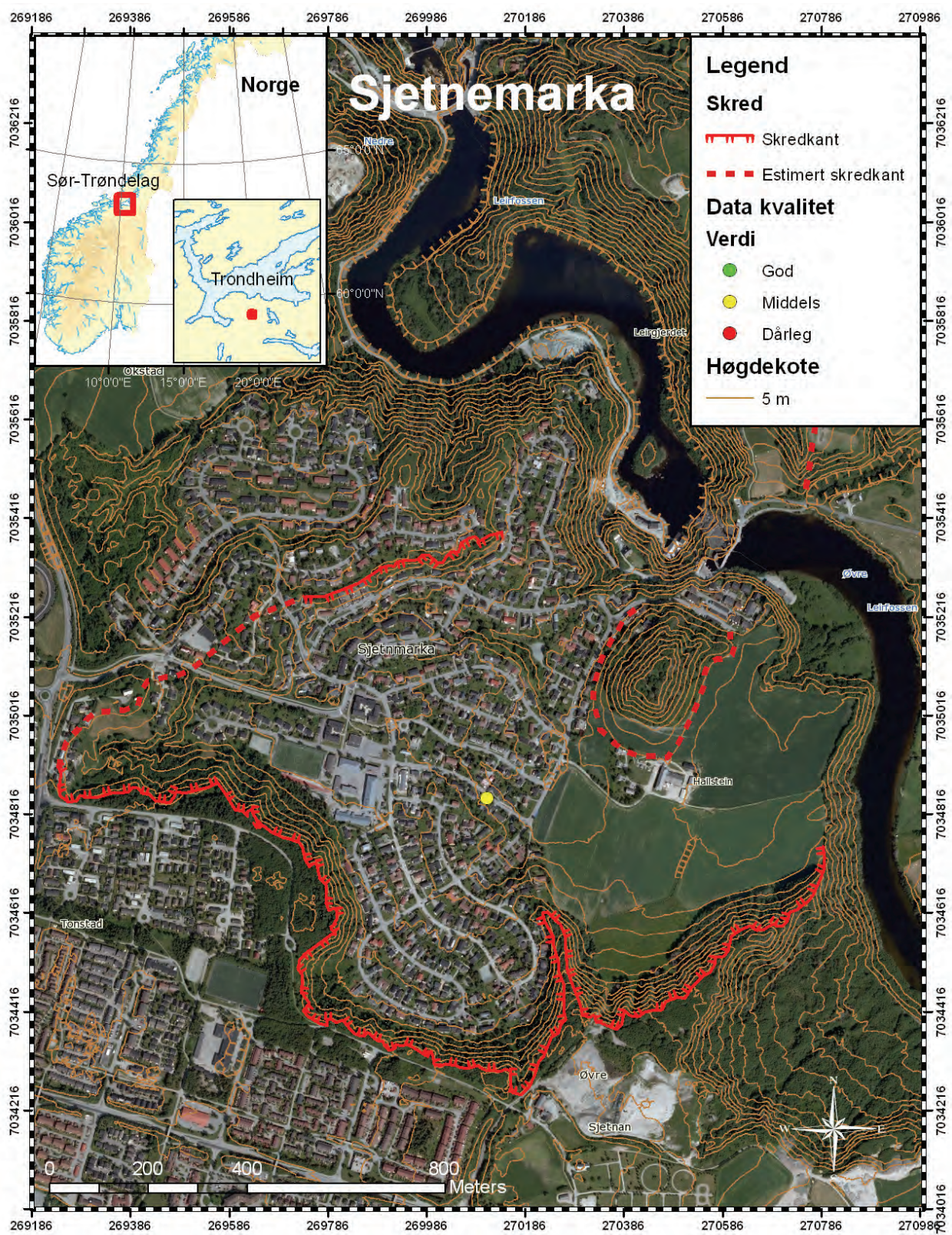
Kommentar:

Lite informasjon om skredet finnes, men skredet er avmerka på kart (Reite et al, 1999) og vist i NGU (2011).

Skredgropa er framleis godt synleg sjølv om skredet er gammalt. Der det var nødvendig å estimere skredkanten er den estimerte skredkanten den same som skredkanten i NGU (2011). Skredmassane er frakta bort med Nidelva.

Nidelva sin eroderande evne, har nok også i dette tilfellet fjerna stabiliserende masser i skråningsfoten og dermed vore med på å utløyse skredet.

Sjølv om det finnes lite informasjon om skredet, er datakvaliteten likevel vurdert til middels basert på den relativt intakte skredforma.



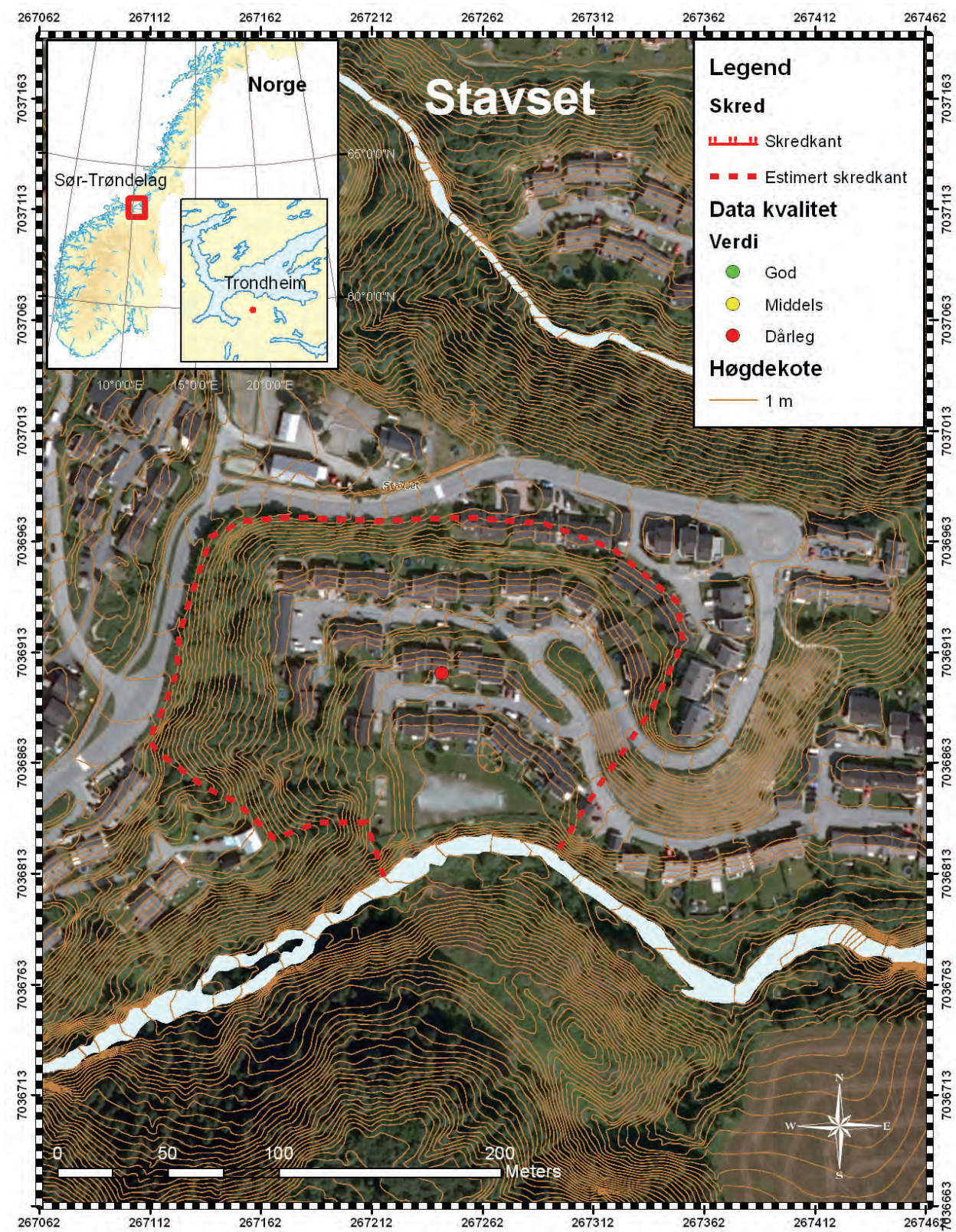
Stavset	
Fylke: Sør-Trøndelag	Data kvalitet: 3
Kommune: Trondheim	Skrednett ID: ingen
Dato: Forhistorisk	Koordinatar (UTM33N)
Omkomne: ukjent	X: 267243 Y: 7036904
Lausmassar: Hav- og fjordavsetninger	Fjell: Ja, i vest
Skredtype: Flow	Areal (m ²): 29 000 Volum (m ³): 800 000

Kommentar:

Lite informasjon om skredet finnes, men skredet er avmerka på kart (Reite et al, 1999) og vist i NGU (2011). Denne blei nytta når den skredkanten blei teikna i ArcMap.

Skredgropa er sterkt prega av antropogen aktivitet (mange hus og veger). Skredkantane er bratt og når opp til toppen av opphavleg skråning.

Data kvaliteten er vurdert til dårlig på grunn av lite informasjon og antropogen aktivitet. Skredet er likevel tatt med fordi skredkantane er bratt (ikkje skavet ned) og fordi dei har omtrent same høgd som når skredet gjekk. Derved blir parametrane av tilfredstillende kvalitet.



Tillerfallet	
Fylke: Sør-Trøndelag	Data kvalitet: 2
Kommune: Trondheim	Skrednett ID: 36104
Dato: 07.03.1816	Koordinatar (UTM33N)
Omkomne: 15	X: 271321 Y: 7032500
Lausmassar: Hav- og fjordavsetninger	Fjell: Nei
Skredtype: Flow	Areal (m ²): 290 000 Volum (m ³): 550 000

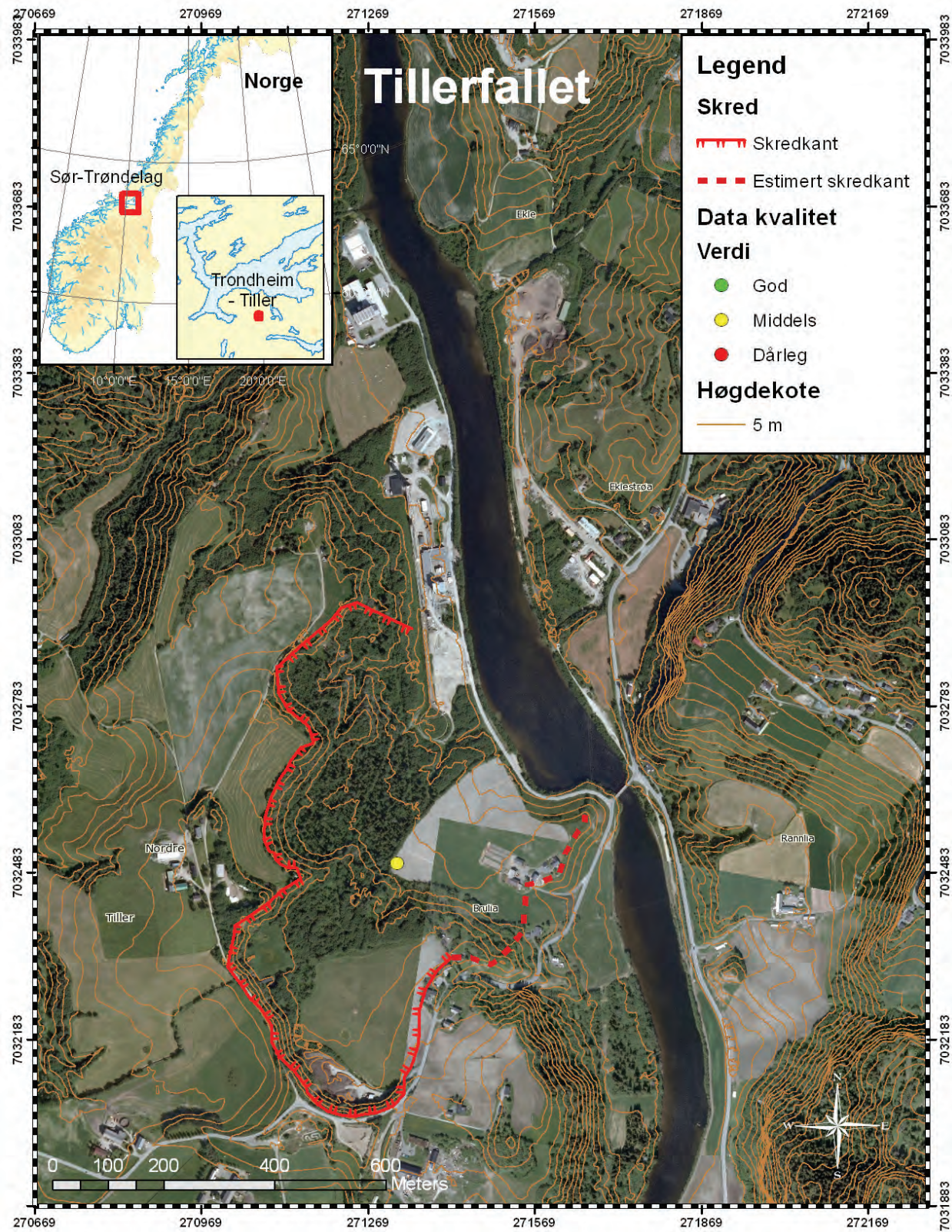
Kommentar:

Skredet på Tiller glei ut med eit voldsamt smell kl.17.30 og skredmassane for opp over elvebreidda på andre side og demma opp elva. Skredmassane øydela mange hus, fleire bruer, sagbruk, møller og til og med nye Tiller kyrkje (Furseth, 2006).

Den innteikna skredkanten er av god kvalitet og er funnet ved hjelp av "FKB høgdekurver 1m", men i søraust var det nødvendig å estimere ein del av skredkanten.

Volumanslaget er henta Furseth (2006). Når arealet blei estimert vart det antatt at elva låg lengre mot vest når skredet gjekk enn kva den gjør i dag. Det er antatt ein forskjell på ca. 70 m.

Skråninga i sør er antatt å representere opphavleg skråning på ein tilfredstillande måte. Målingar av " W_0 " og " W_m " er av redusert nytte på grunn av skredforma. " W_m " er registrert på det breiaste punktet ytst i skredgropa. Målingar av H_B er utført ved bakkanten i sør for å unngå graveaktiviteten innerst i skredgropa.



Ullensaker	
Fylke: Akershus	Data kvalitet: 1
Kommune: Ullensaker	Skrednett ID: 33148
Dato: 23.12.1953	Koordinatar (UTM33N)
Omkomne: 1	X: 288848 Y: 6668388
Lausmassar: Hav- og fjordavsetninger	Fjell: Nei
Skredtype: Flow	Areal (m ²): 20 000 Volum (m ³): 200 000

Info:

Eigaren av garden oppdaga eit lite lokalt skred i skråninga ned mot bekken og evakuerte familien. Dagen etter var heile garden vekke. Rester etter garden vart funne 1,5 km nedstrøms, frakta på 5 m tjukke tørrskorpeflak som flaut på skredmassane. Leirmassane stoppa opp då dei møtte ein voll. Skredmassane vart her demma opp og det oppstod ein innsjø av leire.

Skredet var eit typisk kvikkleireskred med sirkulær skredkant og smal skredport, sjå flyfoto figur 1. Undersøkingar av skredgropa viser at det framleis er kvikk leire lenger ned og hadde elvenedskjeringa vore djupare ville også dette partiet sklidd ut. Det er dermed fare for nye skred dersom elveerosjonen fortsett (Longva, 1987).

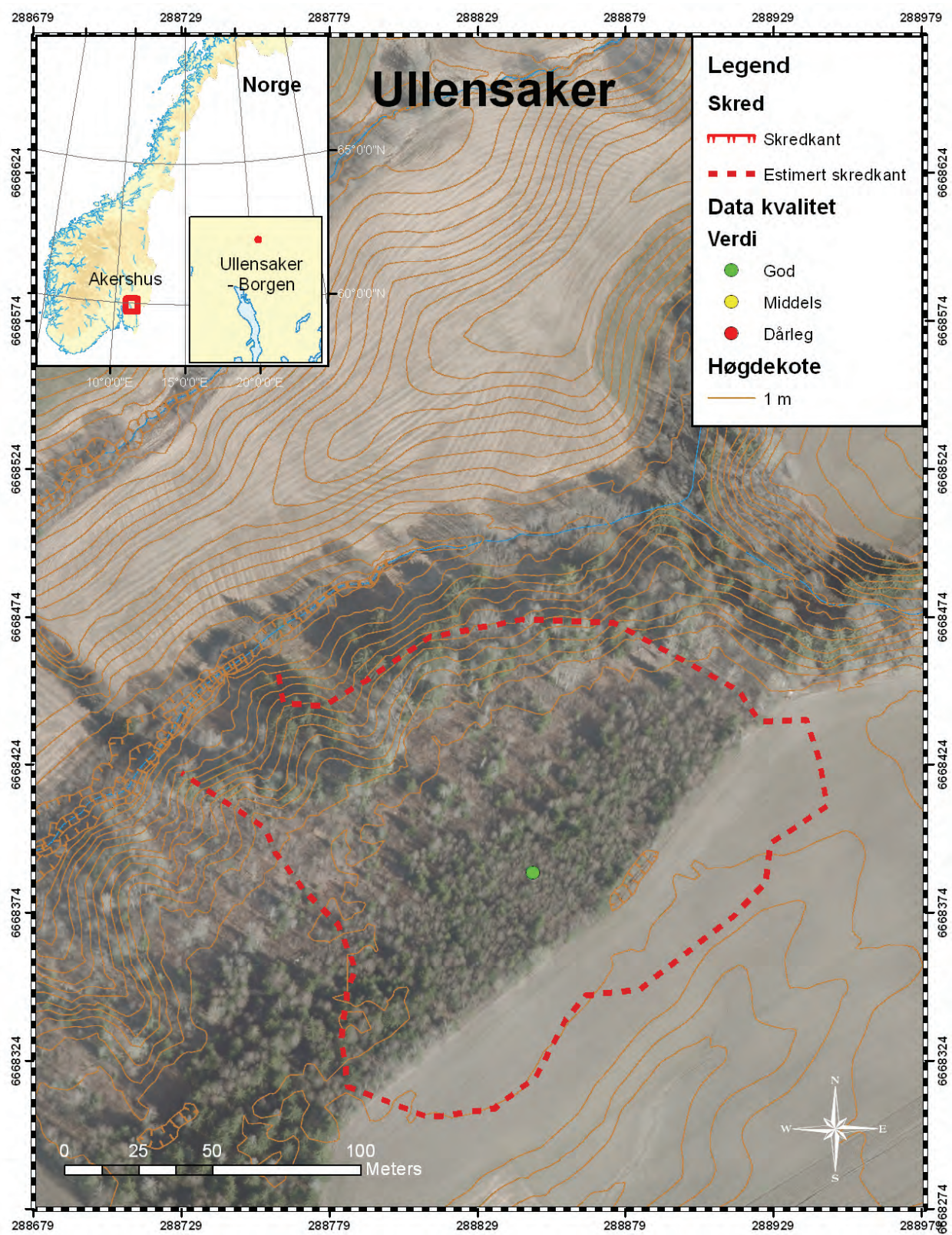
Skredet gjekk i eit skredutsett område på Romerike. Område vart havfritt for ca. 9 000 - 10 000 år sidan og ligg ca. 165 moh. Opphavleg var område flatt, men i dag er det prega av elve- og bekkenedskjeringar. Typisk for den marine leira er vekslande lag av sand-, silt- og leire. Store mektigheitar med leire er registrert, opp til 60 m er ikkje uvanleg. Skred i fleire etasjar er påvist (Longva, 1987).

Kommentar:

Skredet er godt dokumentert i litteratur. Nøyaktig posisjon til skredet er oppgitt av Longva (1987). Fordi området er blitt planert, finnes det ingen spor att. Den innteikna skredkanten vart funnet mha. Bjerrum (1955) der avstanden til elva og den gamle hovudvegen var viktig.

Den typiske sirkulære skredforma med smal skredport gjev gode målingar av " W_0 " og " W_m ". Kalkulerte verdiar i ArcMap av "R", " W_0 ", " W_m " og "Trend R", samsvarar med verdiar funne i Jørstad (1968), Bjerrum (1955) og Longva (1987). Sjølv om innteikna skredkant i ArcMap tilsynelatande stemmer overeins med parametrane målt på figur 1, må det nyttast varsemd dersom inntekina skredkant skal nyttast.

Skredet er eit godt døme på at forskjellige personar kartlegg skred ulikt. Følgjande verdiar er registrert for volum (V) og areal (A) til Ullensakerskredet: - Jørstad (1968): A = 20 000 m² og V = 160 000 m³. - Quinn (2009): A = 50 000 m² og V = 200 000 m³. - Bjerrum (1955): V = 200 000 m³. Kven som har rett, må tolkast ut frå skjønn. Dessutan kan ulike kriteriar også ligge til grunn for kartlegginga.



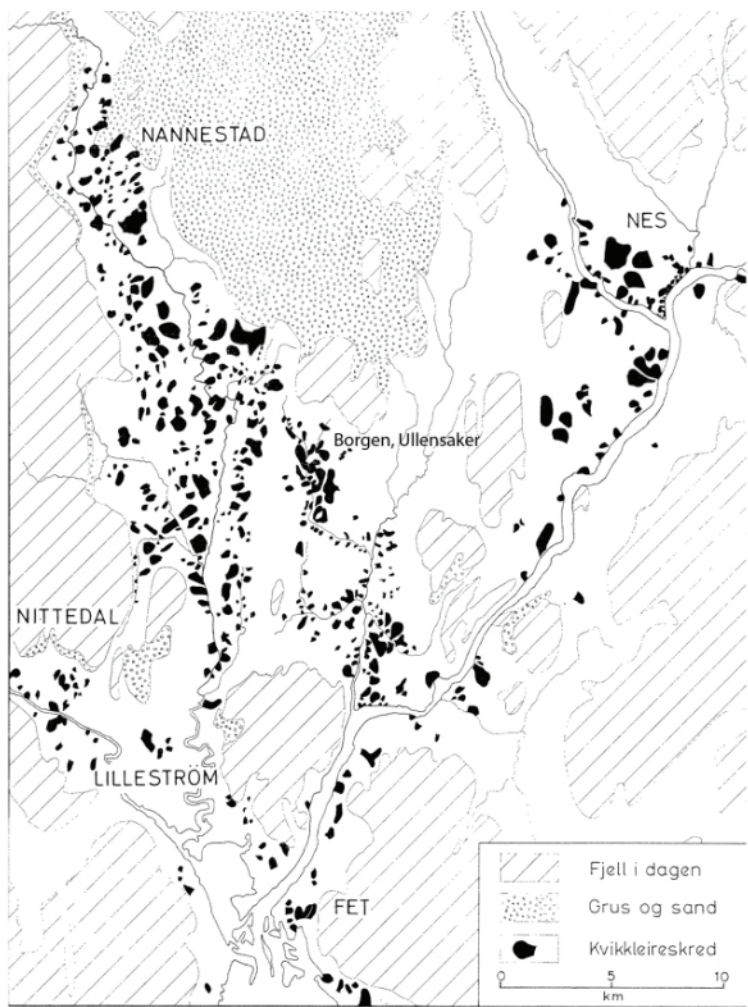


Fig. 1a. Skredkart over Romerike som også viser plassering til skredet på Ullensaker (Bjerrum 1971).

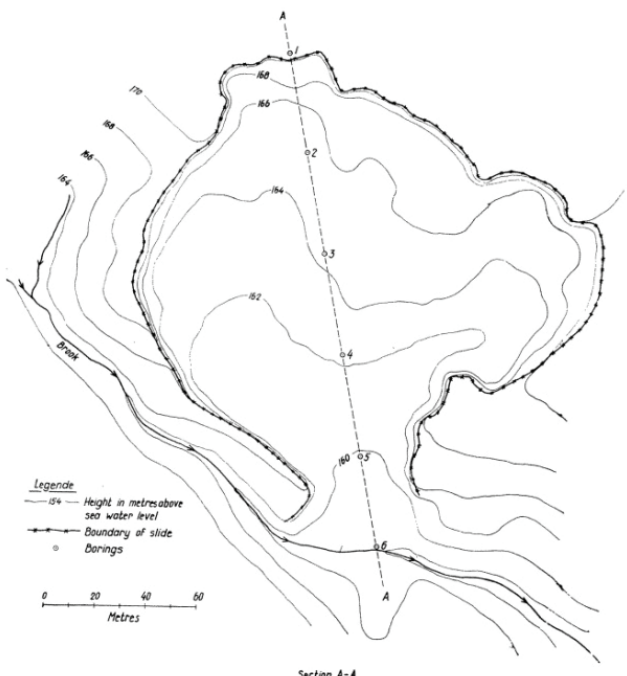




Fig. 1c. Foto fra Fjellanger/ Widerøe, mai 1954, mot sør aust.

Verdalsraset

Fylke: Nord-Trøndelag	Data kvalitet: 1
Kommune: Verdal	Skrednett ID: 36288
Dato: 19.05.1893	Koordinatar (UTM33N)
Omkomne: 116	X: 333503 Y: 7077845
Lausmassar: Hav- og fjordavsetninger	Fjell: Ja, i nordaust
Skredtype: Flow	Areal (m^2): 3 100 000 Volum (m^3): 65 000 000

Info:

Verdalsraset er den nest største skredulykka i Noreg etter talet på omkomne. Skredet var svært stort og massane demma opp elva slik at heile 9 km^2 vart flauma. Innsjøen som oppstod fekk namnet Vukusjøen. Søket etter overlevande strekte seg frå Melbyberget i aust til Øra ved fjorden, 8 km i luftlinje (Furseth, 2006; Sveian, 1991).

Kvartærgeologien til Verdal er godt kjent (Sveian, 1991). Marin grense i område er 180 moh. og marin leire er avsett i heile område. Mo-Uglen terrassen, vest i skredgropa, er ca. 7000-8000 år gammal og bygd opp til havnivå der Verdalselva møtte havet. Strandvoller finnes oppå terrassen.

Ein skildring i Helland (1909) fortel om skredutviklinga: "Efter en beretning gik skredet i tre afdelinger. Først gik et mindre skred som tog gaarden Kraag straks østenfor Mo. Denne første del af skredet tog retning paa skraa opover dalen. En ganske kort stund etter gik et nyt skred, der tog med seg Follogrænden. Dette var større end det første og satte tvers over dalen og sprøitede høit op gjennom lierne paa den modsatte dalside, hvorefter den bløde masse seg ned gjennem dalen. Endelig gik den siste del af skredet. Det var den største og voldsomste. Det var Gjermstadgrænden eller den østligste del som gik. Denne del tog retning paa skraa nedover dalen og gjorde den største skade paa gaardene i dalbunden..."

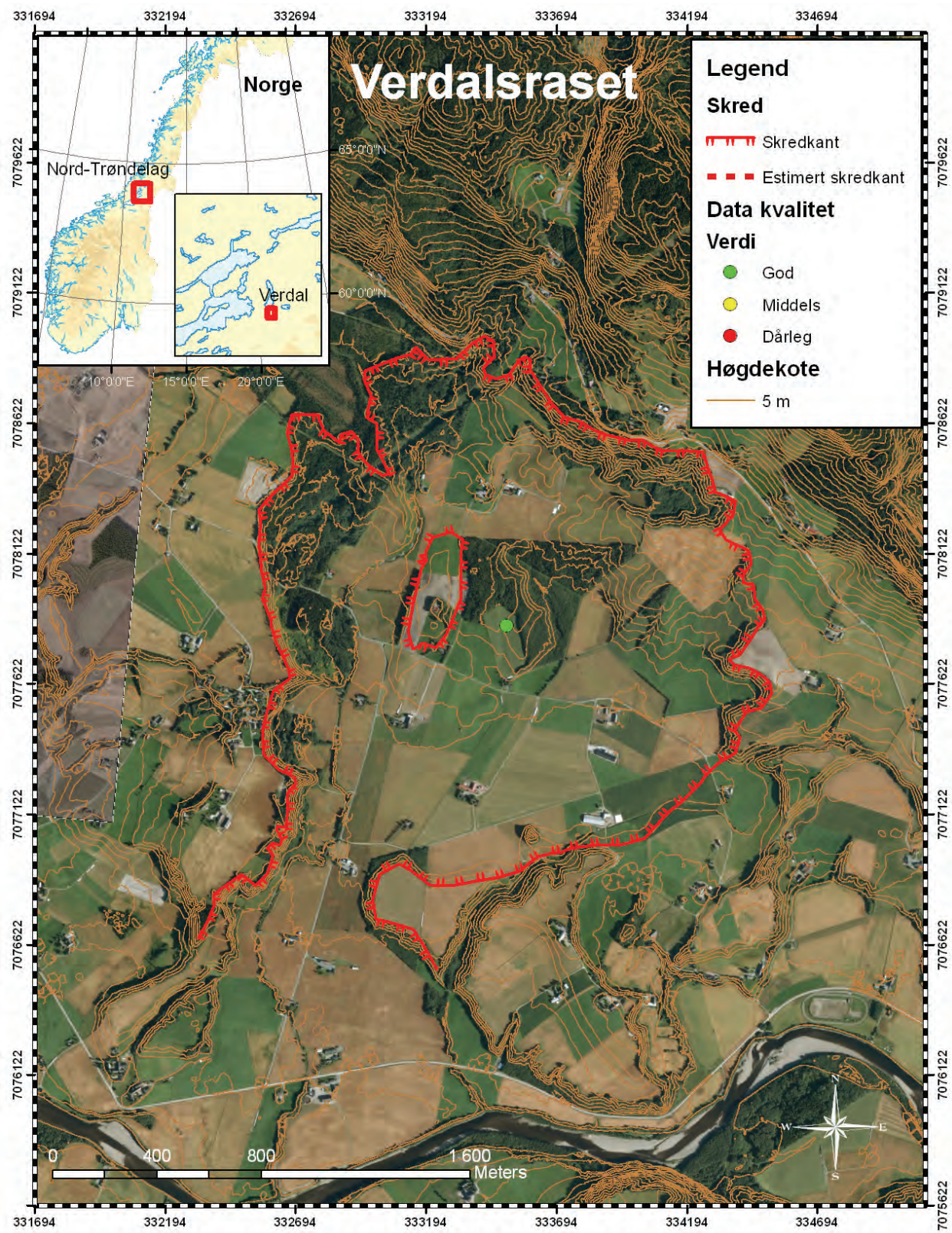
Årsakar til skredet er ein kombinasjon av fleire faktorar. Det rant ein bekk midt gjennom skredområde, Follobekken. Denne hadde skore seg djupt ned i terrenget og kom ut akkurat der Verdalselva svinga inntil skråningsfoten, figur 1. Furseth (2006) nemnar at store mengder snø kom om vinteren og både hausten og våren hadde vore nedbørsrik. Sjølv om det var fint vér i mai, var jorda framleis metta av vatn.

Kommentar:

Den innteikna skredkanten er funnet mha. skredkanten i NGU (2011) og "FKB høgdekurver 1m".

Skredet har den typisk pæreforma og gjev derfor gode målingar av " W_0 " og " W_m ". Volumet er frå Furseth (2006). Furseth skriv også at skredmassane hadde fleire meters tjukkleik. Dersom heile skredvolumet vert fordelt utover det totale skredmassearealet vert gjennomsnitt tjukkleik 5 m (Sveian, 1991). Anslår h_D 5 m. Det kan diskuterast om verdien i det heile bør registrerast i dette tilfellet.

Mo- Uglen terrassen vert antatt å atterspegle opphavleg skrånning godt. I store skredgropene varier målte parametrar stort. H_B varierte mellom 60 m - 25 m, der 50 m blei vald til å representere område godt. Bakkanten i nordaust vart tillagt størst vekt, fordi denne i minst grad var påverka av jordbruksaktivitet.



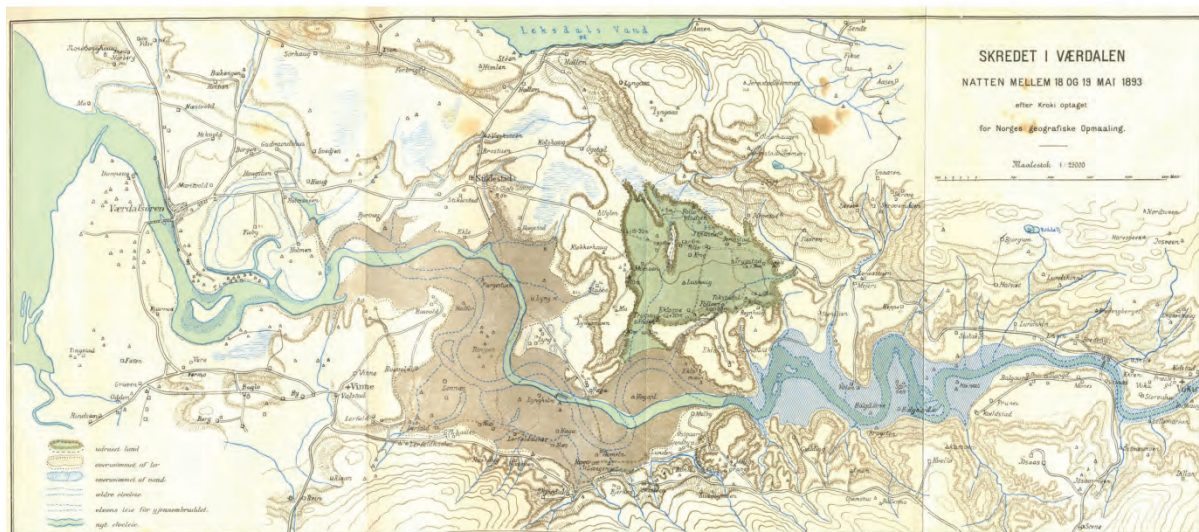


Fig. 1. Øvst til venstre: Skredkant ved Uglen. Foto: E. Olsen/NGU. Øvst til høgre: Foto frå NGU som viser parti av utglidninga i elva. Nedst: Gammalt skredkart som viser skredgropa, elveleiet før og etter hendinga og område som vart flauma.

Vibstad	
Fylke: Nord-Trøndelag	Data kvalitet: 1
Kommune: Overhalla	Skrednett ID: 158
Dato: 22.02.1959	Koordinatar (UTM33N)
Omkomne: ukjent	X: 351883 Y: 7153678
Lausmassar: Hav- og fjordavsetninger	Fjell: Nei
Skredtype: Spread	Areal (m ²): 70 000 Volum (m ³): 1 400 000

Kommentar:

Vibstadskredet gjekk i ei allereie eksisterande skredgrop som var ca. 5 000-6 000 år gammal. Ingen såg når skredet gjekk kl.22.30, men det er likevel funnet at massane glei med ofseleg kraft og skredmassar vart funne fleire meter opp på elvebreidda midt imot. Denne krafta skapte ei flodbølgje som kasta ein båt 4 m opp på elvebreidda, så flodbølgja var minst 4 m høg. Namsen vart demma opp og fordi ein frykta konsekvensane av eit mogleg damprot forsøkte ein å sprengje opning. Sprenginga var ikkje vellykka, men 23. og 24. februar klarte vatnet forsiktig å erodere veg. Vibstadkanalen var stengt heilt fram til flommen i september, då vart det ein delvis opning (Hutchinson, 1965).

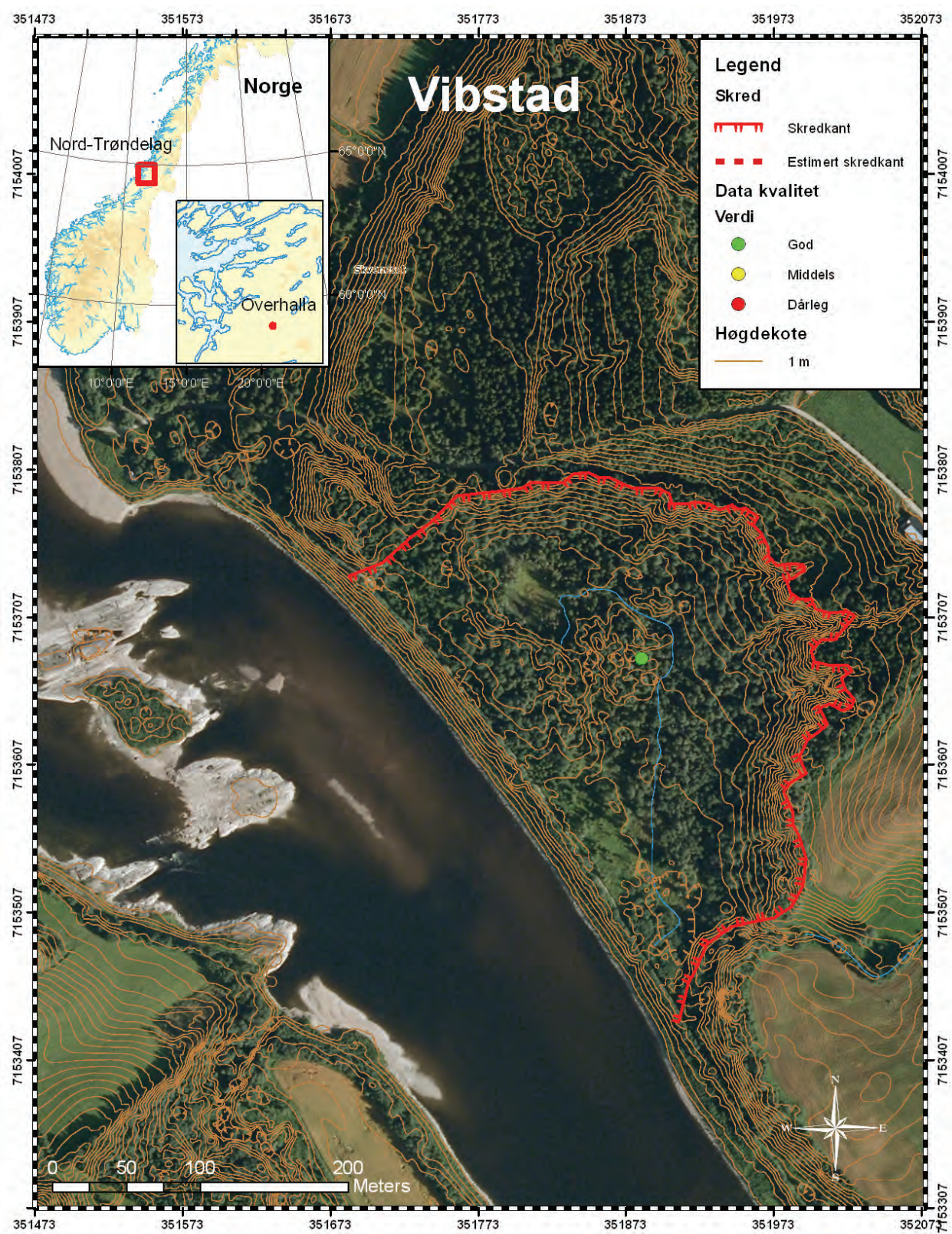
Glideplanet bestod av lett overkonsolidert, kvikkaktig leirig silt. Glideflata til skredet falt saman med overgangen frå ein post-glacial mikropaleontologisk sone. Den same sona var involvert i skreda på Furre og Horka, to andre skred i Namdalens analysert av Hutchinson (1965).

Elva Namsen er den 4. største elva i Noreg. Elva er kjent for å ha stor erosjonsevne og elvebreidda er kjent for å vera lett eroderbar. Dette har utan tvil påverka heile området langs Namsen og dermed også Vibstad. Det er dermed grunn til å anta at erosjon i skråningsfoten er den utløsende årsaka til skredet.

Heknesskjæra delte Namsen i to ved Vibstad. Fordi fjell var blottlagt under Øysvollkanalen, blei vassføringa større gjennom kanalen nærmast Vibstad. Vinteren 1959 var nedbørsrik slik at vasstanden auka og ytterlegare meir vatn strøyma gjennom kanalen mot Vibstad. Erosjonen auka og siste rest av sikkerheit forsvann. Utløysingsårsaka til Vibstadskredet er dermed antatt å vera erosjonen i skråningsfoten på grunn av den auka vasstanden.



Fig. 1. Flyfoto av skredområdet på Vibstad. Foto: Widerøe.



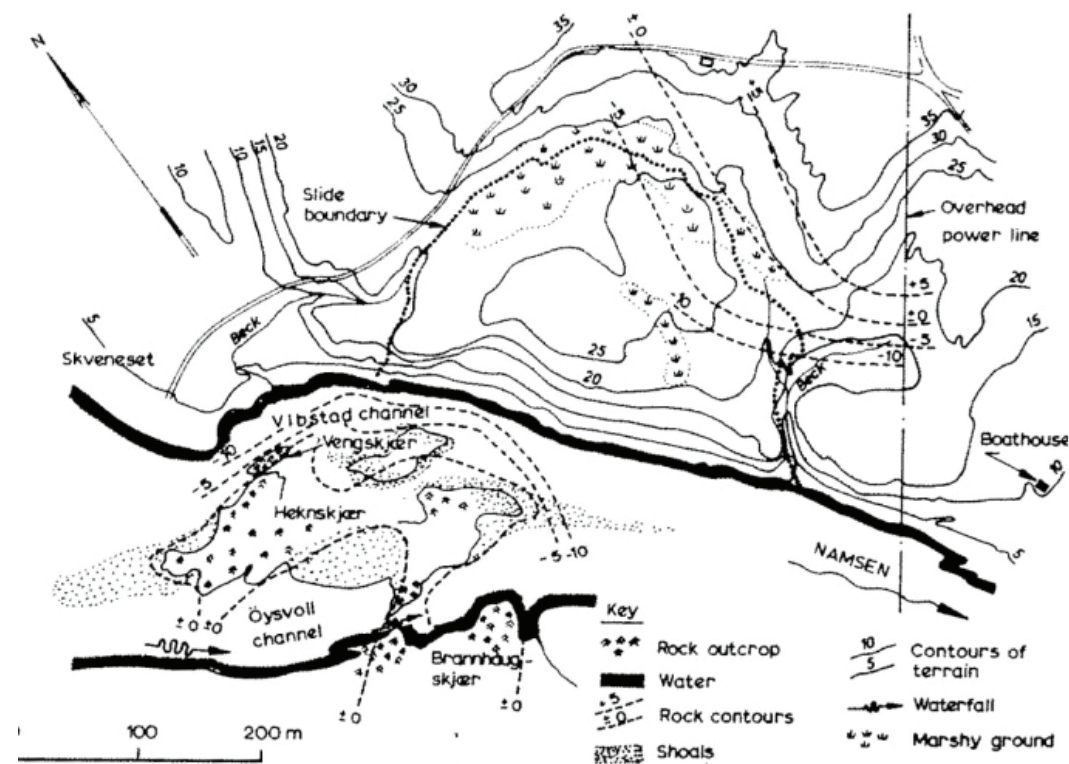


Fig. 2a. Vibstad før skredet (Hutchinson 1965).

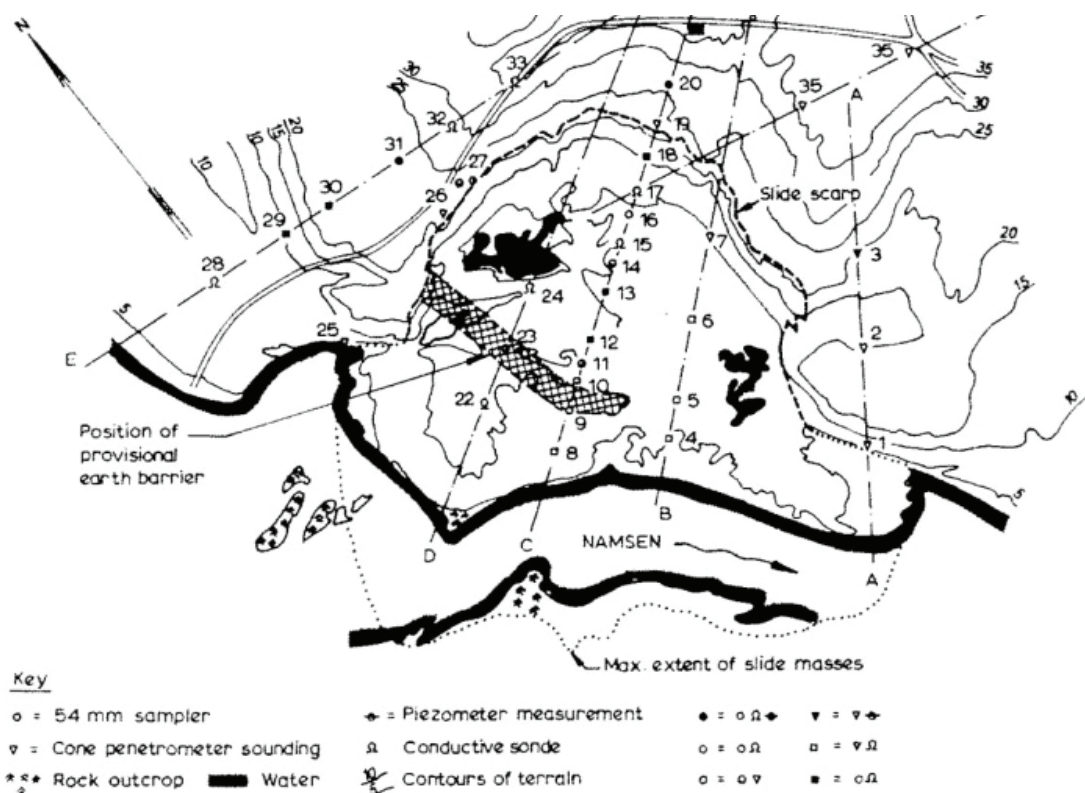


Fig. 2b. Vibstad etter skredet (Hutchinson 1965).

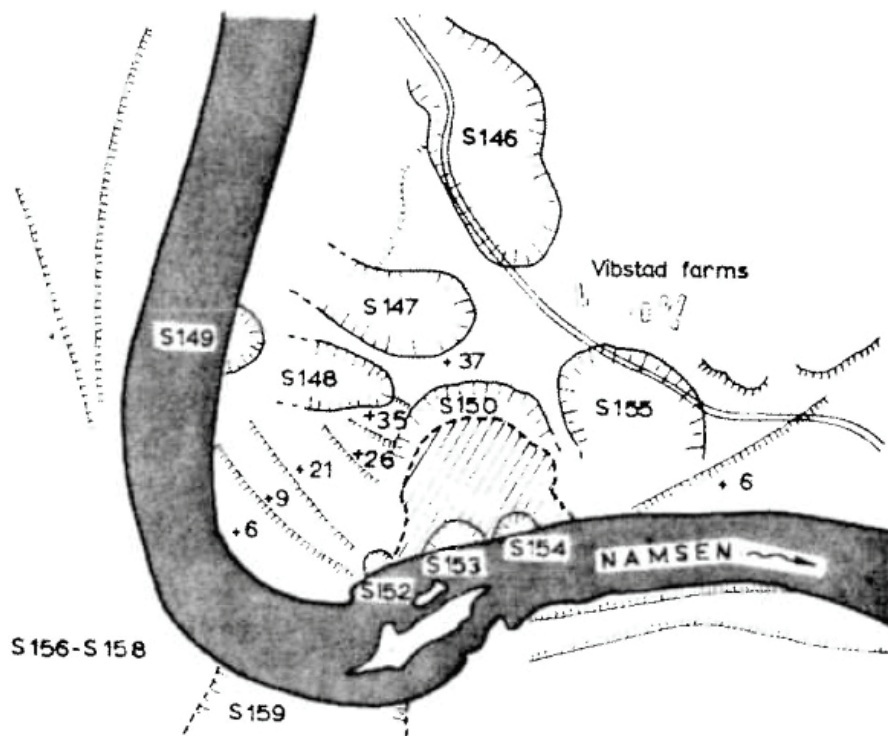


Fig. 2c. Oversikt over skredgropene i området (Hutchinson 1965).

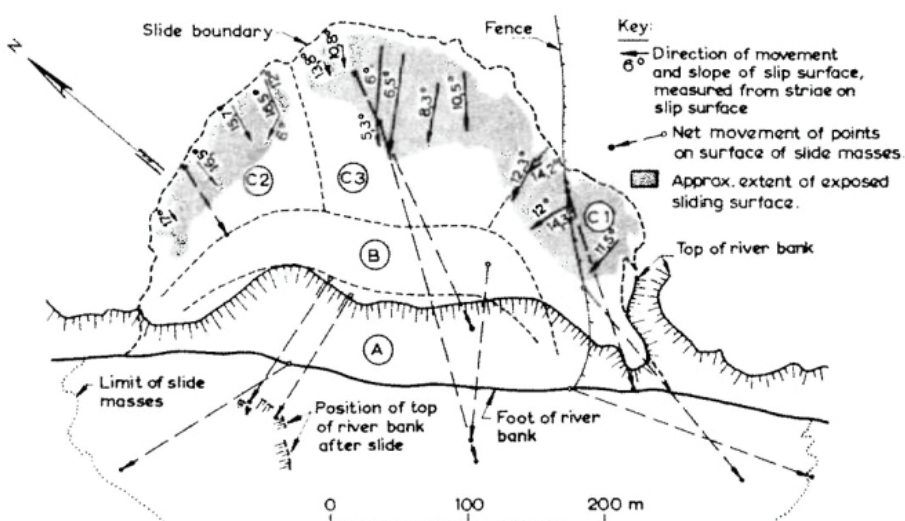


Fig. 2d. Piler viser skredrørslene. A, B og C er hovedtrinna i skredutviklinga, medan C1, C2 og C3 er mindre inndelingar (Hutchinson 1965).

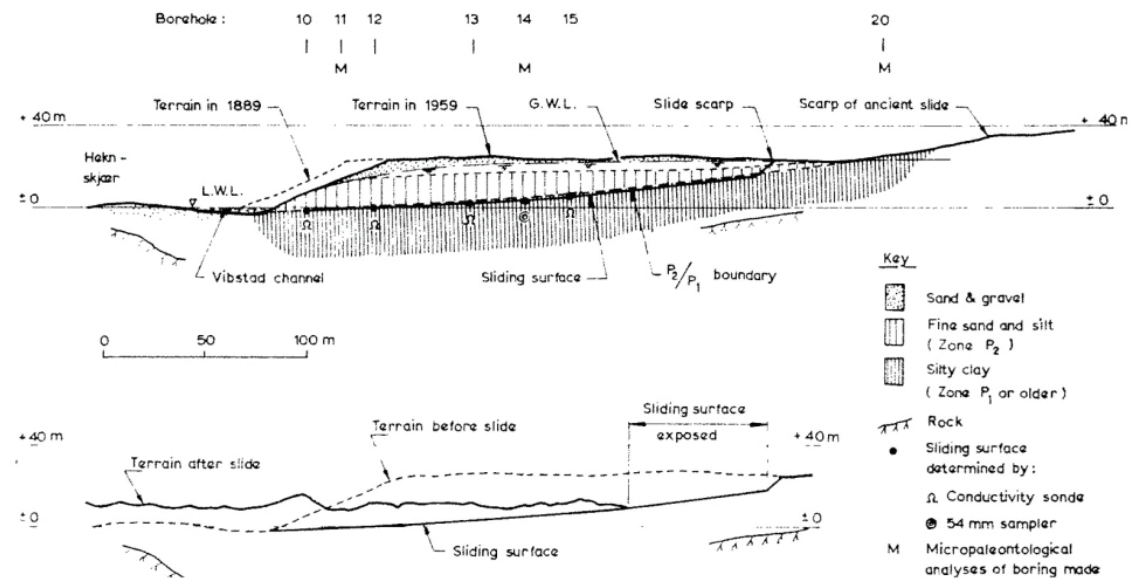


Fig. 2e. Profil C-C i skredgropa (fig. 2b) (Hutchinson 1965).

Utgitt i Rapportserien i 2013

- Nr. 1 Roller i det nasjonale arbeidet med håndtering av naturfarer for tre samarbeidende direktorat
- Nr. 2 Norwegian Hydrological Reference Dataset for Climate Change Studies. Anne K. Fleig (Ed.)
- Nr. 3 Anlegging av regnbed. En billedkavalkade over 4 anlagte regnbed
- Nr. 4 Faresonekart skred Odda kommune
- Nr. 5 Faresonekart skred Årdal kommune
- Nr. 6 Sammenfatning av planlagte investeringer i sentral- og regionalnettet for perioden 2012-2021
- Nr. 7 Vandringshindere i Gaula, Namsen og Stjørdalselva
- Nr. 8 Kvartalsrapport for kraftmarknaden. Ellen Skaansar (red.)
- Nr. 9 Energibruk i kontorbygg – trender og drivere
- Nr. 10 Flomsonekart Delprosjekt Levanger. Kjartan Orvedal, Julio Pereira
- Nr. 11 Årsrapport for tilsyn 2012
- Nr. 12 Report from field trip, Ethiopia. Preparation for ADCP testing (14-21.08.2012)
- Nr. 13 Vindkraft - produksjon i 2012
- Nr. 14 Statistikk over nettleie i regional- og distribusjonsnettet 2013. Inger Sætrang
- Nr. 15 Klimatilpasning i energiforsyningen- status 2012. Hvor står vi nå?
- Nr. 16 Energy consumption 2012. Household energy consumption
- Nr. 17 Bioenergipotensialet i industrielt avfall
- Nr. 18 Utvikling i nøkkeltall for strømnettselskapene
- Nr. 19 NVEs årsmelding
- Nr. 20 Oversikt over vedtak og utvalgte saker. Tariffer og vilkår for overføring av kraft i 2012
- Nr. 21 Naturfareprosjektet: Delprosjekt Kvikkleire. Utstrekning og utløpsdistanse for kvikkleireskred basert på katalog over skredhendelser i Norge



Norges
vassdrags- og
energidirektorat



Norges vassdrags- og energidirektorat

Middelthunsgate 29
Postboks 5091 Majorstuen
0301 Oslo

Telefon: 09575
Internett: www.nve.no